



НАЦІОНАЛЬНИЙ СТАНДАРТ УКРАЇНИ

**РОЗРАХУНОК
НА ВАНТАЖУВАЛЬНОЇ ЗДАТНОСТІ
ЦИЛІНДРИЧНИХ ПРЯМОЗУБИХ
І КОСОЗУБИХ ПЕРЕДАЧ**

**Частина 3. Розрахунок на міцність зубців при вигині
(ISO 6336-3:1996, IDT)**

ДСТУ ISO 6336-3:2005

Видання офіційне



Київ
ДЕРЖСПОЖИВСТАНДАРТ УКРАЇНИ
2007

ПЕРЕДМОВА

1 ВНЕСЕНО: Технічний комітет «Механічні приводи» (ТК 47); Акціонерне товариство закритого типу «Науково-дослідний інститут “Редуктор”» (АТЗТ «НДІ “Редуктор”»)

ПЕРЕКЛАД І НАУКОВО-ТЕХНІЧНЕ РЕДАГУВАННЯ: О. Висоцький; В. Власенко, канд. техн. наук; В. Галушко; В. Фей (науковий керівник)

2 НАДАНО ЧИННОСТІ: наказ Держспоживстандарту України від 25 травня 2005 р. № 128 з 2006–10–01

3 Національний стандарт відповідає ISO 6336-3:1996 Calculation of load capacity of spur and helical gears — Part 3: Calculation of tooth bending strength (Розрахунок навантажувальної здатності циліндричних прямозубих і косозубих передач. Частина 3. Розрахунок на міцність зубців при вигині) з Cor. 1:1999

Ступінь відповідності — ідентичний (IDT)

Переклад з англійської (en)

4 УВЕДЕНО ВПЕРШЕ

Право власності на цей документ належить державі.

Відтворювати, тиражувати та розповсюджувати його повністю чи частково
на будь-яких носіях інформації без офіційного дозволу заборонено.

Стосовно врегулювання прав власності треба звертатися до Держспоживстандарту України

ЗМІСТ

	С.
Національний вступ	IV
Вступ	V
1 Сфера застосування.....	1
2 Нормативні посилання	1
3 Злом зуба й коефіцієнти безпеки	2
4 Основні формули	2
5 Коефіцієнти, що враховують вплив форми зуба і концентрацію напружень Y_F і Y_{Fa}	
Коефіцієнт вершини зуба Y_{Fs}	10
6 Поправкові коефіцієнти напружень Y_s і Y_{sa}	35
7 Коефіцієнт, що враховує вплив перекриття зубців Y_e	45
8 Коефіцієнт, що враховує вплив нахилу лінії зуба Y_β	46
9 Базове напруження згинання	47
10 Коефіцієнт довговічності Y_{NT}	47
11 Коефіцієнти чутливості Y_δ, $Y_{\delta T}$, $Y_{\delta k}$ і відносні коефіцієнти чутливості до надрізу $Y_{\delta rel T}$, $Y_{\delta rel k}$	49
12 Коефіцієнти поверхні Y_R, Y_{RT}, Y_{Rk} і відносні коефіцієнти поверхні $Y_{R rel T}$ та $Y_{R rel k}$	59
13 Розмірний коефіцієнт Y_x	63
Додаток А Бібліографія	65

НАЦІОНАЛЬНИЙ ВСТУП

Цей стандарт є тотожний переклад ISO 6336-3:1996 Calculation of load capacity of spur and helical gears — Part 3: Calculation of tooth bending strength (Розрахунок навантажувальної здатності циліндричних прямозубих і косозубих передач. Частина 3. Розрахунок на міцність зубців при вигині) з Cor. 1:1999.

У стандарті враховано Технічну поправку (Cor. 1:1999). Змінений нею текст виділено в основному тексті стандарту подвійною рискою (||).

Міжнародний стандарт ISO 6336-3 розробив Технічний комітет ISO/TC60, Gear (Зубчасті передачі), Підкомітет SC2, Gear capacity calculation (*Розрахування навантажувальної здатності зубчастих передач*).

Технічний комітет, відповідальний за цей державний стандарт, — ТК 47 «Механічні приводи».

ISO 6336 містить наступні частини, під загальною назвою «Розрахування навантажувальної здатності циліндричних прямозубих і косозубих передач»:

- Частина 1. Основні принципи, вступна частина і загальні коефіцієнти впливу;
- Частина 2. Розрахунок на міцність активної поверхні зубців;
- Частина 3. Розрахунок на міцність зубців при вигині;
- Частина 5. Міцність і якість матеріалів.

Додаток А цієї частини стандарту довідковий.

З міжнародними стандартами, на які є посилки в цій частині стандарту, можна ознайомитися в Головному фонду нормативних документів.

До стандарту внесено такі редакційні зміни:

— до розділу 2 «Нормативні посилання» додучено «Національне пояснення», яке в тексті виділено рамкою;

— вислови «ISO 6336» та «ISO 6336-3» замінено висловами «цей стандарт» і «ция частина стандарту» відповідно;

— структурні елементи цього стандарту: «Титульний аркуш», «Передмову», «Зміст», «Національний вступ», «Бібліографічні дані» — оформлено відповідно до вимог комплексу стандартів «Національна стандартизація»;

— виправлено друкарську помилку в п. 11.3.2.1: посилку на формулу (50) замінено на посилку на формулу (58).

На цей час в Україні впроваджено такі міжнародні стандарти, на які є посилки в цій частині стандарту:

— ДСТУ ISO 6336-1:2005 Розрахунок навантажувальної здатності циліндричних прямозубих і косозубих передач. Частина 1. Основні принципи, вступна частина і загальні коефіцієнти впливу (ISO 6336-1:1996, IDT);

— ДСТУ ISO 6336-5:2005 Розрахунок навантажувальної здатності циліндричних прямозубих і косозубих передач. Частина 5. Міцність і якість матеріалів (ISO 6336-5:1996, IDT).

ВСТУП

Максимальне розтягувальне напруження в ніжці зуба (у напрямі висоти зуба), яке не може перевищувати допустиме напруження згинання для матеріалу, є базисом для оцінення міцності під час згинання зубців передачі. Напруження виникає в «розтягнених перехідних кривих» робочих поверхонь зуба. Якщо тріщини, спричинені навантаженням, сформувалися, то перша з них часто з'являється в перехідних кривих, де утворилося стискувальне напруження, тобто в «стиснутих перехідних кривих» на неробочих поверхнях зуба. Коли навантаження одностороннє і зубці мають обумовлену форму, то ці тріщини рідко призводять до відмови. Поширення тріщин, що закінчуються відмовою, найімовірніше виникає від тріщин, що почалися в розтягнених перехідних кривих.

Допустиме навантаження зубців, навантажуваних реверсивно протягом кожного оберту, таких як «паразитні колеса», є меншим від допустимого для навантажених односторонньо. Повний діапазон напруження за таких обставин є більшим ніж удвічі від напруження розтягування, яке виникає в перехідних кривих ніжки навантажених поверхонь зуба. Це враховано у визначені допустимих напружень (див. ISO 6336-5).

Коли ободи зубчастого вінця тонкі й западини між зубцями, суміжними до поверхні ніжки, вузькі (обставини, що можуть бути, зокрема, в деяких колесах із внутрішніми зубцями), то початкові тріщини звичайно виникають у стиснутій перехідній кривій. Через те що за таких обставин самі ободи зубчастого вінця можуть зазнати злому від утоми, то необхідні спеціальні дослідження. Див. розділ 1 і підпункти 5.2.2 і 5.3.2.

Було схвалено декілька методів розрахування критичного напруження ніжки зуба й оцінювання деяких коефіцієнтів (див. ISO 6336-1).

НАЦІОНАЛЬНИЙ СТАНДАРТ УКРАЇНИ

РОЗРАХУНОК НАВАНТАЖУВАЛЬНОЇ ЗДАТНОСТІ
ЦИЛІНДРИЧНИХ ПРЯМОЗУБИХ І КОСОЗУБИХ ПЕРЕДАЧ

Частина 3. Розрахунок на міцність зубців при вигині

РАСЧЕТ НАГРУЗОЧНОЙ СПОСОБНОСТИ
ЦИЛИНДРИЧЕСКИХ ПРЯМОЗУБЫХ И КОСОЗУБЫХ ПЕРЕДАЧ

Часть 3. Расчет на прочность зубьев при изгибе

CALCULATION OF LOAD CAPACITY
OF SPUR AND HELICAL GEARS

Part 3. Calculation of tooth bending strength

Чинний від 2006-10-01

1 СФЕРА ЗАСТОСУВАННЯ

Ця частина стандарту встановлює основні формулі для використання в розрахунках напружені під час згинання для евольвентних внутрішніх і зовнішніх, прямозубих та косозубих передач з мінімальною товщиною обода під ніжкою зуба $s_R > 3,5 m_n$. Охоплено всі впливи навантаження на напруження зуба, оскільки вони є результатом навантажень, переданих зубчастою передачею, і їх можна оцінити кількісно (див. 4.1.1).

Наведені формулі чинні для прямозубих і косозубих передач з профілями зуба згідно з вихідним контуром, стандартизованим в ISO 53 (див. «Вступ»). Їх можна також використовувати для зубців, сполучених за іншими вихідними контурами, якщо еквівалентний коефіцієнт перекриття менший від $\epsilon_{ap} = 2,5$.

Примітка 1. Див. 4.1.1 с) і 5.3 щодо застережень для методу С.

Навантажувальну здатність, визначену на основі допустимого напруження згинання, називають «міцністю на згинання зубців». Результати добре узгоджуються з іншими методами для діапазону, зазначеного в ISO 6336-1.

Користувача цієї частини стандарту попереджають, що коли встановлений метод використовується для великих кутів нахилу лінії зуба і великих кутів профілю, то результати розрахунку повинні бути підтвердженні досвідом, як за методом А.

2 НОРМАТИВНІ ПОСИЛАННЯ

Нижченаведені стандарти містять положення, які через посилки в цьому тексті становлять положення цієї частини стандарту. На час опублікування зазначені видання були чинні. Всі стандарти підлягають перегляду, і сторонам угод, що ґрунтуються на цій частині стандарту, пропонують дослідити можливість застосування останніх видань стандартів, зазначених нижче. Члени IEC та ISO впорядковують каталоги чинних міжнародних стандартів.

ISO 53:1974 Cylindrical gears for general and heavy engineering — Basic rack

ISO 6336-1:1996 Calculation of load capacity of spur and helical cylindrical gears — Part 1: Basic principles, introduction and general influence factors

ISO 6336-5:1996 Calculation of load capacity of cylindrical gears — Part 5: Strength and quality of materials.

НАЦІОНАЛЬНЕ ПОЯСНЕННЯ

ISO 53:1974 Циліндричні зубчасті передачі для загального і важкого машинобудування. Вихідний контур

ISO 6336-1:1996 Розрахунок навантажувальної здатності циліндричних прямозубих і косозубих передач. Частина 1. Основні принципи, вступна частина і загальні коефіцієнти впливу

ISO 6336-5:1996 Розрахунок навантажувальної здатності циліндричних прямозубих і косозубих передач. Частина 5. Міцність і якість матеріалів.

3 ЗЛОМ ЗУБА Й КОЕФІЦІЕНТИ БЕЗПЕКИ

Злом зуба звичайно припиняє строк служби передачі. Інколи руйнування всіх зубчастих коліс може бути наслідком злому одного зуба. У деяких випадках процес передачі між вихідним і вихідним валами порушується. Як наслідок, вибране значення коефіцієнта безпеки S_F проти злому зуба повинне бути більшим від коефіцієнта безпеки проти пітингу.

Загальні положення щодо вибору мінімального коефіцієнта безпеки містяться в ISO 6336-1, підпункт 4.1.3. Рекомендовано, щоб виробник і замовник домовились про мінімальне значення коефіцієнта безпеки.

Цю частину стандарту не застосовують, якщо рівень напруження перевищує допустимі для 10^3 циклів через те, що напруження в цьому діапазоні можуть перевищити границю пружності зуба зубчастого колеса.

4 ОСНОВНІ ФОРМУЛИ

Примітка 2. Всі позначення, терміни й одиниці вимірю визначено в ISO 6336-1.

Дійсне напруження згинання σ_F і допустиме напруження згинання σ_{FP} повинні розраховуватися окремо для шестерні і колеса, σ_F повинно бути меншим від σ_{FP} .

4.1 Напруження згинання σ_F

4.1.1 Методи визначення напруження згинання σ_F : принципи, припущення і застосування

Згідно з цією частиною стандарту місцеве напруження згинання визначають як добуток нормального напруження згинання і поправкового коефіцієнта напружень (методи В і С¹⁾).

а) Метод А

Зазвичай максимальне розтягувальне напруження можна визначити будь-яким відповідним методом (наприклад, аналізом кінцевих елементів, інтегральними рівняннями, методами конформного відображення або експериментально фотопружним аналізом напруження, вимірюванням деформацій тощо). Щоб визначити максимальне напруження згинання, треба розглянути впливи розподілу навантаження на два або більше зачеплених зубці і зміни напруження зі змінами фази зачеплення.

Треба відмітити, що розтягувальне напруження згинання доречне до плосконапруженого стану. Це важливо при порівнянні результатів фотопружних оцінок (методи В і С) з допустимими напруженнями.

Метод А використовують тільки у спеціальних випадках, у яких він виправданий через значні зусилля.

¹⁾ Напруження, спричинені посадженими в гарячому стані ободами зубчастих коліс, які накладаються на напруження внаслідок навантаження зубців, треба враховувати, розраховуючи напруження згинання σ_F або допустиме напруження згинання σ_{FP} .

b) Метод В

Цей метод передбачає припущення, що визначальне напруження згинання виникає під час прикладання навантаження у зовнішній точці однопарного зачеплення зубців циліндричних прямозубих передач або еквівалентних прямозубих передач для косозубих передач. Проте в останньому випадку «тангенційне навантаження» повинно бути замінене на «нормальне навантаження», прикладене по ширині зубчастого вінця розглядуваної зубчастої передачі.

Для зубчастих передач, що мають еквівалентні коефіцієнти перекриття в діапазоні $2 \leq \varepsilon_{ap} < 3$, припущене, що визначальне напруження виникає під час прикладання навантаження у внутрішній точці двопарного зачеплення зубців. Формули наведені, щоб розраховувати відповідні коефіцієнти форми Y_β для номінального напруження і Y_S для поправкових коефіцієнтів напруження. У випадку косозубих передач коефіцієнт Y_β враховує відхили від цих припущень.

Метод В придатний для більш детальних розрахунків; він також підходить для комп'ютерного програмування і для аналізу випробувань пульсатором (із заданою точкою прикладання навантаження).

c) Метод С

Цей спрощений метод розрахування виведений із методу В. Спочатку розраховують місцеве напруження для прикладеного навантаження на вершині зуба (з коефіцієнтами Y_{Fa} і Y_{Sa}), а потім перетворюють, щоб наблизити відповідне значення, придатне до контакту в зовнішній точці однопарного зачеплення, використовуючи коефіцієнт Y_e .

Коефіцієнт форми Y_{Fa} для номінального напруження і поправковий коефіцієнт напружень Y_{Sa} задані серією графіків для множини профілів вихідного контуру.

Метод С придатний тільки для зубчастих передач, коли $\varepsilon_{ap} < 2$; він також корисний, коли комп'ютерна програма недоступна. Метод достатньо точний для більшості випадків і взагалі дає трохи вищі значення напруження, ніж метод В.

4.1.2 Напруження згинання σ_F : методи В і С

Повне тангенційне навантаження у випадку зубчастих передач з багатопоточною передачею (планетарні механізми, зубчасті передачі з розгалуженими потоками) не зовсім рівномірно розподілене по індивідуальним зачепленням (залежно від конструкції, тангенційної швидкості і точності виготовлення). Це треба враховувати введенням коефіцієнта розподілу K_y після K_A в формулу (1), щоб відрегулювати, за потреби, середнє навантаження на зачеплення.

$$\sigma_F = \sigma_{F0} K_A K_v K_{FB} K_{Fa} \leq \sigma_{FP}, \quad (1)$$

де σ_{F0} — номінальне напруження згинання, яке є максимальним місцевим розтягувальним напруженням, що виникає в ніжці зуба, коли позбавлена від помилок зубчаста пара навантажена статичним номінальним крутним моментом;

σ_{FP} — допустиме напруження згинання (див. 4.2);

K_A — коефіцієнт зовнішнього динамічного навантаження (див. ISO 6336-1). Він враховує збільшення навантаження внаслідок змін вхідного крутного моменту або вихідного крутного моменту від зовнішнього впливу;

K_v — динамічний коефіцієнт (див. ISO 6336-1). Він враховує збільшення навантаження внаслідок внутрішніх динамічних впливів;

K_{FB} — коефіцієнт розподілу навантаження по довжині контактних ліній для напружень згинання (див. ISO 6336-1). Він враховує нерівномірний розподіл навантаження по ширині зубчастого вінця внаслідок зміщення зачеплення, спричиненого неточностями виготовлення, пружними деформаціями тощо;

K_{Fa} — коефіцієнт розподілу навантаження між зубцями для напружень згинання (див. ISO 6336-1). Він враховує нерівномірний розподіл навантаження в поперечному напрямі, наприклад, в результаті відхилень кроку.

Примітка 3. Див. ISO 6336-1, підпункт 4.1.8, про послідовність, з якою розраховують коефіцієнти K_A , K_v , K_{FB} і K_{Fa} .

4.1.3 Номінальне напруження згинання σ_{F0-B} : метод В

$$\sigma_{F0-B} = \frac{F_t}{bm_n} Y_F Y_S Y_\beta, \quad (2)$$

де F_t — номінальне тангенційне навантаження, тангенційне навантаження, дотичне до дільнього циліндра²⁾ (див. ISO 6336-1);

b — ширина вінця зубчастого колеса (для шевронних зубчастих передач $b = 2 b_B$). Значення b зачеплених зубчастих коліс є шириною вінця на колі западин, ігноруючи будь-які наявні торцеві фаски або скруглення кінця зуба. Якщо ширина зубчастих вінців шестерні і колеса не рівні, то припускають, що ширина прикладення навантаження на ширшому вінці дорівнює меншій ширині зубчастого вінця плюс таке розширення ширшого вінця, що не перевищує одного модуля з кожного боку;

m_n — нормальний модуль;

Y_F — коефіцієнт форми (див. розділ 5). Він враховує вплив на номінальне напруження згинання форми зуба з навантаженням, прикладеним у зовнішній точці однопарного зачеплення;

Y_S — поправковий коефіцієнт напруження (див. розділ 6). Він враховує перетворення номінального напруження згинання, визначеного для прикладення навантаження в зовнішній точці однопарного зачеплення до місцевого напруження згинання. Таким чином, за допомогою Y_S враховують наступне:

а) напруження, що підсилює вплив зміни перерізу ніжки зуба; та

б) що оцінення справжньої системи напружень у критичному перерізі ніжки зуба є складніше, ніж представлена проста система оцінення;

Y_β — коефіцієнт кута нахилу лінії зуба (див. розділ 8). Він компенсує явище, що інтенсивність моменту згинання в ніжці зуба косозубих передач внаслідок навскісних ліній контакту менша від відповідних значень для еквівалентних прямоузубих передач, що використовуються як основа для розрахунку.

4.1.4 Номінальне напруження згинання σ_{F0-C} : метод С

$$\sigma_{F0-C} = \frac{F_t}{bm_n} Y_{Fa} Y_{Sa} Y_e Y_\beta = \frac{F_t}{bm_n} Y_{FS} Y_e Y_\beta, \quad (3)$$

де Y_{Fa} — коефіцієнт форми (див. розділ 5). Він враховує вплив на номінальне напруження згинання форми зуба від навантаження, прикладеного на вершині зуба;

Y_{Sa} — поправковий коефіцієнт напруження (див. розділ 6). Він враховує перетворення номінального напруження згинання, визначеного для прикладення навантаження на вершині зуба до місцевого напруження згинання. Таким чином, за допомогою Y_{Sa} враховується наступне:

а) напруження, що підсилює вплив зміни перерізу ніжки зуба; та

б) що оцінення справжньої системи напруження в критичному перерізі ніжки зуба є складне, ніж представлена проста система оцінення, але проігнорований вплив плеча моменту згинання;

Y_e — коефіцієнт, що враховує вплив перекриття зубців (див. розділ 7). Він враховує перетворення місцевого напруження, визначеного для прикладення навантаження на вершині зуба, щоб апроксимувати значення, відповідне до прикладення навантаження в зовнішній точці однопарного зачеплення. Цим коефіцієнтом враховується вплив на поправковий коефіцієнт напруження розподілу навантаження по декількох точках контакту і такого самого моменту згинання зуба;

Y_{FS} — коефіцієнт вершини, дорівнює ($Y_{Fa} Y_{Sa}$) (див. розділ 5). Цей коефіцієнт враховує всі впливи, охоплені Y_{Fa} і Y_{Sa} . Діаграми, з яких можна визначити Y_{FS} , можуть бути побудовані для евольвентних зубчастих передач, сполучених будь-яким відповідним вихідним контуром. Інші відповідні терміни і позначення зазначені в 4.1.3.

²⁾ За умови, що обід зубчастого колеса під ніжкою зуба достатньо товстий, тобто що товщина ободу $s_R \geq 3,5 m_n$ (див. «Сферу застосування»). У всіх випадках, навіть коли $\epsilon_{an} > 2$, необхідно підставити дoreчне повне тангенційне навантаження як F_t . Мотиви для вибору прикладення навантаження на дільниці циліндрі наведено в 5.5.

Див. 4.2 ISO 6336-1 за визначенням F_t і коментарі відносно особливих характеристик шевронної зубчастої передачі.

4.2 Допустиме напруження згинання σ_{FP}

Граничні значення напружень згинання (див. розділ 9) повинні переважно отримуватися із випробовувань матеріалів, використовуючи зубчасті колеса як зразки для випробовування, тому що в такий спосіб впливи геометрії зразка для випробовування, наприклад вплив перехідної кривої ніжок зуба, включаються в результати. Методи розрахування надають установлени емпіричні способи для порівняння напружень у зубчастих колесах різних розмірів з експериментальними результатами. Чим подібніші випробовувані зубчасті передачі та умови випробовування мають подібність до експлуатованих зубчастих передач і умов експлуатації, тим менший буде вплив неточностей у формулуванні розрахункових виразів.

4.2.1 Методи визначення допустимого напруження згинання σ_{FP} : принципи, припущення і застосування

Прийняті декілька методик визначення допустимих напружень згинання. Прийнятий метод повинен бути затверджений після виконання ретельних порівняльних досліджень добре задокументованих описів експлуатації великої кількості зубчастих передач.

a) Метод А

За цим методом величини σ_{FP} «допустимого напруження згинання» або σ_{FG} «граничного напруження згинання» отримані за формулами (1) і (2) із кривої S—N або кривої пошкоджень, що виведена із результатів випробувань зразків дійсної зубчастої пари за відповідних умов експлуатації.

Видатки, потрібні для цього методу, можуть бути виправдані тільки у разі розроблення нових виробів, відмова яких мала б серйозні наслідки (наприклад, для космічних польотів з людиною).

Так само згідно з цим методом значення допустимого напруження можуть бути виведені з розгляду розмірів, умов експлуатації і характеристик реально перевірених еталонних зубчастих передач.

b) Метод В

Криві пошкоджень, що характеризуються значенням номінальних напружень (згинання) $\sigma_{F,lim}$ і коефіцієнтом Y_{NT} , були визначені для множини загальних матеріалів зубчастих коліс і термічних обробок із результатів випробувань зубчастих коліс під навантаженням або випробування пульсатором стандартних еталонних зубчастих коліс. Таким чином, визначені значення матеріалів перетворені, щоб задовільнити розміри розглядуваних зубчастих передач, використовуючи відносні коефіцієнти впливу для чутливості надрізу $Y_{\delta rel,T}$, шорсткості поверхні $Y_{R rel,T}$ і розміру Y_X .

Метод В рекомендується для розрахунку відносно точних характеристик зубчастої передачі кожного разу, коли значення напружень згинання доступні із випробувань зубчастої передачі, зі спеціальних випробувань, або якщо матеріал подібний до зазначеного в ISO 6336-5.

c) Методи С і D

У цих методах, які виведені з методу В, коефіцієнти впливу $Y_{\delta rel,T}$, $Y_{R rel,T}$ і Y_X визначаються, використовуючи спрощені методики. Ці методи легше і швидше застосовуються, ніж такі самі з методу В. Отримані результати мають тенденцію помилки в бік безпеки. Експериментальна методика визначення значень міцності така, як описана в методі В.

d) Методи B_k , C_k і D_k

Допустиме напруження згинання повинно бути виведене із добутку значень напружень згинання $\sigma_{k,lim}$ і коефіцієнта довговічності Y_{Nk} , звичайно представлених кривими S—N, або пошкоджень для втомних випробувань пульсатором плоских зразків з надрізом. Як і у випадку для метода В, дані випробувань повинні бути перетворені, щоб відповідали розглядуваним зубчастим колесам, використовуючи коефіцієнти впливу, відповідні до методу і випробуваного зразка: $Y_{\delta rel,k}$ для чутливості до надрізу, $Y_{R rel,k}$ для шорсткості поверхні і розмірний коефіцієнт Y_X згідно з методом В.

Коефіцієнти впливу, прийняті для методів C_k і D_k , визначаються простішими формулами, ніж ті, що з методу B_k .

Ці методи можуть бути застосовані, коли значення, отримані з випробувань зубчастих коліс, не доступні. Ці методи особливо придатні для відносного оцінення порівняльних значень напружень згинання для різних матеріалів.

е) Методи В_р, С_р і D_р

Допустимі напруження згинання повинні бути виведені з добутку значення напруження згинання $\sigma_{F\lim}$ і коефіцієнта довговічності Y_{Np} , звичайно представлених як криві S—N або пошкоджень, втомним випробуванням пульсатором плоских зразків з надрізом. Як і у випадку для методу В, дані випробовування повинні бути перетворені, щоб відповідали розглядуваним зубчастим колесам, використовуючи (абсолютні) коефіцієнти впливу, відповідні до методу і випробовуваного зразка: Y_δ для чутливості до надрізу, Y_R для шорсткості поверхні і розмірний коефіцієнт Y_X згідно з методом В.

Ці методи можуть бути застосовані, коли значення, отримані з зубчастих передач або випробувальних зразків з надрізом, не доступні. Ці методи особливо придатні для оцінення, одне відносно одного, значень напруження згинання для різних матеріалів.

4.2.2 Допустиме напруження згинання σ_{FP} : методи В, С, і D

За умови застережень, наведених в 4.2.2 а) і б), для цієї мети можна використовувати формулу (4):

$$\sigma_{FP} = \frac{\sigma_{F\lim} Y_{ST} Y_{NT}}{S_{F\min}} Y_{\delta relT} Y_{R relT} Y_X = \frac{\sigma_{FE} Y_{NT}}{S_{F\min}} Y_{\delta relT} Y_{R relT} Y_X = \frac{\sigma_{FG}}{S_{F\min}}, \quad (4)$$

де $\sigma_{F\lim}$ — значення номінального напруження (згинання) з базових випробуваних зубчастих коліс (див. ISO 6336-5). Це граничне значення напруження згинання, відповідне впливам матеріалу, термічного обробляння і шорсткості переходних поверхонь ніжки зуба випробуваного зубчастого колеса;

σ_{FE} — допустиме значення напруження згинання. Номінальна міцність при згинанні зразка для випробовування без надрізу згідно з припущеннями, що стан матеріалу (включаючи термічне обробляння) повністю пружний, $\sigma_{FE} = (\sigma_{F\lim} Y_{ST})$;

Y_{ST} — поправковий коефіцієнт напружень, відповідний до розмірів базових зубчастих коліс для випробовування (див. 6.5);

Y_{NT} — коефіцієнт довговічності для напружень згинання, відповідний до розмірів базової зубчастої передачі для випробовування (див. розділ 10). Він враховує найвищу навантажувальну здатність для обмеженої кількості циклів навантаження;

σ_{FG} — граничне напруження згинання $\sigma_{FG} = (\sigma_{FP} S_{F\min})$;

$S_{F\min}$ — мінімальний необхідний коефіцієнт безпеки для напружень згинання (див. розділ 3 і 4.3);

$Y_{\delta relT}$ — відносний коефіцієнт чутливості до надрізу. Це частка від ділення коефіцієнта чутливості до надрізу розглядуваного зубчастого колеса на коефіцієнт стандартного випробуваного зубчастого колеса (див. розділ 11). Можливості впливу чутливості до надрізу матеріалу повинні бути враховані;

$Y_{R relT}$ — відносний коефіцієнт поверхні. Це частка від ділення коефіцієнта шорсткості переходних поверхонь ніжки зуба розглядуваного зубчастого колеса на коефіцієнт переходної кривої ніжки зуба стандартного випробуваного зубчастого колеса (див. розділ 12); можливості впливів відповідної шорсткості поверхні переходної кривої ніжки зуба повинні бути враховані.

Y_X — розмірний коефіцієнт, що відповідає міцності згинання (див. розділ 13), він звичайно враховує вплив розмірів зуба на міцність зуба при згинанні.

а) Допустиме напруження згинання (базове)

Допустиме напруження згинання (базове) $\sigma_{FP ref}$ виводиться з формули (4) з $Y_{NT} = 1$ і коефіцієнтами впливу $\sigma_{F\lim}$, Y_{ST} , $Y_{\delta relT}$, $Y_{R relT}$, Y_X і $S_{F\min}$, розрахованими згідно з установленим методом В, С або D.

б) Допустиме напруження згинання (статичне)

Допустиме напруження згинання (статичне) $\sigma_{FP stat}$ визначається згідно з формулою (4), з коефіцієнтами $\sigma_{F\lim}$, Y_{NT} , Y_{ST} , $Y_{\delta relT}$, $Y_{R relT}$, Y_X і $S_{F\min}$, розрахованими згідно з установленим методом В, С або D (для статичного напруження).

4.2.3 Допустиме напруження згинання σ_{FP} для обмеженої і тривалої довговічності: методи В, С і D

σ_{FP} для даної кількості циклів навантаження N_L визначається графічно або розрахунковою інтерполяцією вздовж кривої S—N між значенням, отриманим для базового напруження згідно з 4.2.2 а), і значенням, отриманим для статичного напруження згідно з 4.2.2 б). Також див. розділ 10.

4.2.3.1 Графічні значення величин

Обчисліть $\sigma_{FP\ ref}$ для базового напруження і $\sigma_{FP\ stat}$ для статичного напруження згідно з 4.2.2 і накресліть криву S—N відповідно до коефіцієнта довговічності Y_N . Див. рисунок 1 для загального пояснення. σ_{FP} для відповідної кількості циклів навантаження N_L можна взяти із цього графіка.

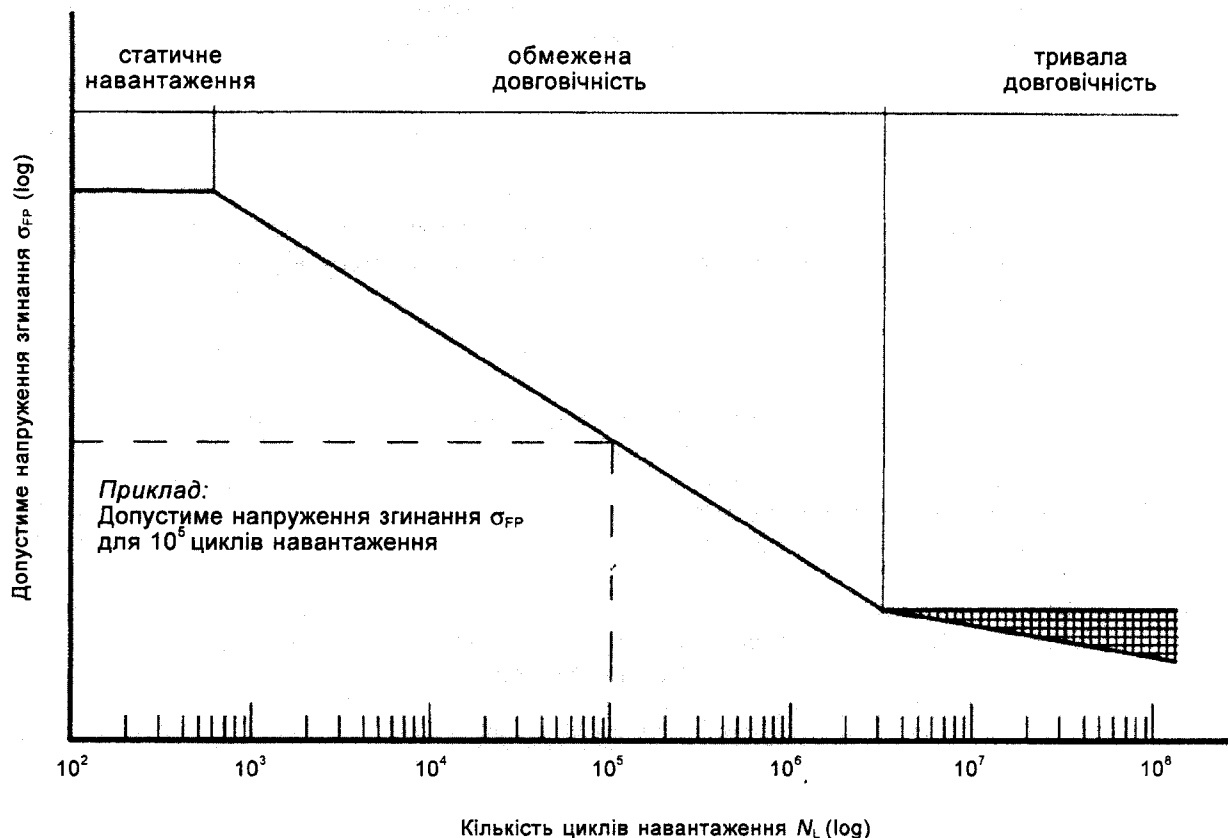


Рисунок 1 — Графічне визначення допустимого напруження згинання для обмеженої довговічності згідно з методом В

4.2.3.2 Визначення розрахуванням

Обчисліть $\sigma_{FP\ ref}$ для базового напруження і $\sigma_{FP\ stat}$ для статичного напруження згідно з 4.2.2 і, використовуючи ці результати, визначте σ_{FP} для відповідної кількості циклів навантаження N_L в діапазоні обмеженої довговічності таким чином:

$$\sigma_{FP} = \sigma_{FP\ ref} Y_N = \sigma_{FP\ ref} \left(\frac{3 \cdot 10^6}{N_L} \right)^{\exp}; \quad (5)$$

а) для конструкційних і насірізнопрогартованих сталей, перлітного або бейнітного чавуну з кулястим графітом, перлітного ковкого чавуну (діапазон обмеженої довговічності, як показано на рисунку 36: $10^4 < N_L \leq 3 \cdot 10^6$):

$$\exp = 0,4037 \log \frac{\sigma_{FP\ stat}}{\sigma_{FP\ ref}}; \quad (6)$$

b) для цементованої або поверхнево-прогартованої сталі; наскрізно-прогартованої або азотованої сталі газовим азотуванням, наскрізно-прогартованої сталі і цементованої сталі, нітроцементованої; феритний чавун з кулястим графітом або сірий чавун (діапазон обмеженої довговічності, як показано на рисунку 36: $10^3 < N_L \leq 3 \cdot 10^6$):

$$\exp = 0,2876 \log \frac{\sigma_{FPstat}}{\sigma_{FPref}}. \quad (7)$$

Відповідні розрахування можуть бути проведені для діапазону тривалої довговічності.

4.2.4 Допустиме напруження згинання σ_{FP} : методи B_k , C_k і D_k

4.2.4.1 σ_{FP} для статичного напруження і базового напруження

Дотримуючись цих методів, допустиме напруження згинання розраховують на основі міцності зразка для випробовування з надрізом із наступної формули:

$$\sigma_{FP} = \frac{\sigma_{klim} Y_{Sk} Y_{Nk}}{S_{Fmin}} Y_{\delta relk} Y_{R relk} Y_X = \frac{\sigma_{Fa}}{S_{Fmin}}, \quad (8)$$

де σ_{klim} — номінальне значення напруження прутка з надрізом (згинання). Це граничне значення напруження згинання зразка прутка з надрізом для випробовування, відповідне його матеріалу, термічному обробленню і стану поверхні, його розмірам. Треба взяти до розгляду розбіжності внаслідок умов виготовлення між властивостями термічно-оброблених матеріалів, прикладенням напружень, перерізами зразка для випробовуваного розглядуваного зубчастого колеса;

Y_{Sk} — поправковий коефіцієнт напруження, відповідний до зразка з надрізом для випробовування;

Y_{Nk} — коефіцієнт довговічності, що відповідає зразку з надрізом для випробовування. Він використовується звичайно для того, щоб урахувати найвищу навантажувальну здатність для обмеженої кількості циклів навантаження;

$Y_{\delta relk}$ — відносний коефіцієнт чутливості до надрізу. Це частка від ділення коефіцієнта чутливості до надрізу розглядуваного зубчастого колеса на коефіцієнт випробовування зразка з надрізом (див. розділ 11). Треба враховувати можливості впливу чутливості до надрізу матеріалу.

$Y_{R rel1}$ — коефіцієнт відносної шорсткості. Це частка від ділення коефіцієнта шорсткості перехідної кривої ніжки зуба розглядуваного зубчастого колеса на коефіцієнт випробовування зразка з надрізом (див. розділ 12). Треба враховувати можливості впливу шорсткості поверхні перехідної кривої ніжки зуба.

Інші відповідні терміни і позначення визначені в 4.2.2.

Значення коефіцієнтів, що стосуються випробовування зразка з надрізом (σ_{klim} , Y_{Sk} і Y_{Nk}) треба визначати випробовуваннями або брати з літератури (див. 9.2). Оцінки σ_{klim} і всі відповідні коефіцієнти впливу повинні базуватися на значеннях статичного напруження і базового напруження, відповідних випробовуваному зразку з надрізом.

Коефіцієнти впливу повинні визначатися згідно з 4.2.2 і 4.2.3, використовуючи більш докладний метод B_k або один з більш спрощених методів C_k або D_k .

4.2.4.2 σ_{FP} для обмеженої довговічності

Значення σ_{FP} треба визначати згідно з методикою, описанаю в 4.2.3.

4.2.5 Допустиме напруження згинання σ_{FP} : методи B_p , C_p і D_p

4.2.5.1 σ_{FP} для статичного напруження і базового напруження

Для цих методів допустиме напруження згинання розраховується на основі міцності простого полірованого випробовуваного зразка із наступної формули:

$$\sigma_{FP} = \frac{\sigma_{plim} Y_{Np}}{S_{Fmin}} Y_{\delta} Y_R Y_X = \frac{\sigma_{FG}}{S_{Fmin}}, \quad (9)$$

- де $\sigma_{p\lim}$ — номінальне значення напруження прямого прутка (згинання). Це граничне значення напруження згинання прямого зразка прутка для випробовування, відповідного його матеріалу і термічному обробленню та його розмірам. Треба брати до уваги, як обумовлено у випадку $\sigma_{k\lim}$ у 4.2.4, розбіжності між властивостями термічно оброблених матеріалів випробовуваного зразка і розглядуваного зубчастого колеса внаслідок умов виготовлення;
- Y_{Np} — коефіцієнт довговічності напруження ніжки зуба, відповідний плоскому полірованому випробовуваному зразку. Він використовується звичайно для того, щоб урахувати найвищу навантажувальну здатність для обмеженої кількості циклів;
- Y_s — коефіцієнт чутливості до надрізу розглядуваного зубчастого колеса стосовно плоского полірованого випробовуваного зразка (див. розділ 11). Повинні бути враховані можливості впливу чутливості до надрізу матеріалу;
- Y_R — коефіцієнт поверхні розглядуваного зубчастого колеса стосовно плоского полірованого випробовуваного зразка. Треба врахувати можливості впливів відповідної шорсткості поверхні.

Інші відповідні терміни і позначення визначені в 4.2.2.

Оцінки $\sigma_{p\lim}$ і Y_{Np} для плоских випробовуваних зразків повинні базуватися на випробуваннях або отримані з літератури (див. 9.2). Оцінки $\sigma_{p\lim}$ і всі відповідні коефіцієнти впливу повинні базуватися на значеннях статичного напруження і базового напруження.

Коефіцієнти впливу повинні визначатися згідно з 4.2.2 і 4.2.3, використовуючи більш докладний метод B_p , або один з більш спрощених методів C_p або D_p .

4.2.5.2 σ_{Fp} для обмеженої довговічності

Значення σ_{Fp} треба визначати згідно з методиками, описаними в 4.2.3 і 4.2.4.

4.3 Коефіцієнт безпеки згинання (безпека проти злому зуба) S_F

Обчислюється S_F окремо для шестерні і колеса:

$$S_F = \frac{\sigma_{FG}}{\sigma_F} \geq S_{Fmin}; \quad (10)$$

a) Метод В

Значення σ_{FG} для базового напруження і статичного напруження розраховуються згідно з 4.2.2 а) і б), використовуючи формулу (4). Для обмеженої довговічності σ_{FG} визначається згідно з 4.2.3. σ_F отримується з формул (1) і (2).

b) Методи С і D

Значення σ_{FG} для базового напруження і статичного напруження розраховуються згідно з 4.2.2 а) і б), використовуючи формулу (4). Для обмеженої довговічності σ_{FG} визначається згідно з 4.2.3. σ_F отримується із формул (1) і (3).

c) Методи B_k , C_k і D_k

Ці методики дотримуються методів, що описані в 4.3 а) або б), з σ_{FG} , розрахованим згідно з 4.2.4.

d) Методи B_p , C_p і D_p

Ці методики дотримуються методів, що описані в 4.3 а) або б), з σ_{FG} , розрахованим згідно з 4.2.5.

Кожне значення граничного напруження згинання σ_{FG} , допустимого напруження σ_{Fp} і напруження згинання σ_F можна визначити різними методами. Метод, що використовується для кожного значення, повинен бути встановлений в розрахунковому звіті.

Примітка 4. Коефіцієнти безпеки згідно з 4.3 відповідні передавальному крутному моменту. Див. ISO 6336-1, підпункт 4.1.3, щодо коментарів про числові значення для мінімального коефіцієнта безпеки і ризику пошкодження.

5 КОЕФІЦІЕНТИ, ЩО ВРАХОВУЮТЬ ВПЛИВ ФОРМИ ЗУБА І КОНЦЕНТРАЦІЮ НАПРУЖЕНЬ Y_F І Y_{Fa} . КОЕФІЦІЕНТ ВЕРШИНИ ЗУБА Y_{Fs}

5.1 Загальні положення

Y_F і Y_{Fa} — це коефіцієнти, за допомогою яких враховується вплив форми зуба на номінальне напруження згинання. Див. 4.1.1 про принципи, припущення і подrobiці використання. Y_F відповідний у разі прикладання навантаження в зовнішній точці однопарного зачеплення (метод B) і Y_{Fa} при прикладанні навантаження на вершині зуба (метод C).

Хорда між точками, в яких 30-градусні дотичні контактують з перехідними кривими ніжки, визначає переріз, що буде використовуватись як базис для розрахунку (див. рисунки 3—6).

Визначення значень Y_F , Y_S , Y_{Fs} , Y_{Fa} і Y_{Ss} базується на номінальній формі зуба з коефіцієнтом зміщення вихідного контуру x . Значення також можуть бути отримані з рисунків 9—32. Загалом, впливом зменшення товщини зуба на міцність зуба при згинанні чисто оброблених циліндрических зубчастих коліс можна знехтувати. Через те, що ніжки зуба шліфованих або шевінгованих зубців звичайно нарізаються різальним інструментом, таким як фрези, їхні форми і розміри звичайно визначені установленням глибини різання.

Через припуски матеріалу для остаточного оброблення, такого як шліфування профілю, це звичайна обставина, що установлення глибини чорнового різця відносно осі зубчастого колеса включає розмір зміщення номінального вихідного контуру x t_n плюс допуск, призначений гарантувати, щоб допуск чистового оброблення був більший від необхідного мінімуму. Внаслідок цього розрахункові значення напруження згинання звичайно мають похибку в бік безпечності.

Якщо відхиляється товщина зуба біля ніжки має в результаті зменшення товщини більше від $0,05t_n$, то це повинно враховуватися під час розрахування напруження, беручи утворюваний профіль відповідно до значення зміщення вихідного контуру t_n x_E замість номінального профілю.

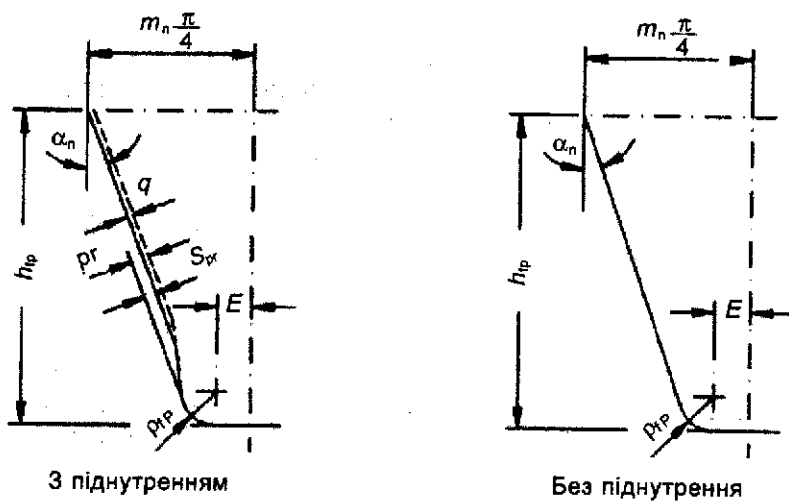


Рисунок 2 — Розміри і профіль вихідного контуру зубців (оброблений начисто профіль)

Формули в цій частині стандарту застосовують до всіх профілів вихідного контуру (див. рисунок 2) з і без піднутрення, але з такими застереженнями:

а) точка контакту 30-градусної дотичної повинна лежати на перехідній кривій ніжки зуба, створений перехідною кривою вихідного контуру;

б) профіль вихідного контуру зубчастого колеса повинен мати перехідну криву ніжки з радіусом $r_{pF} > 0$;

с) зубці повинні утворюватися, використовуючи такі інструменти як черв'ячні фрези або фрези для нарізання зубчастих рейок;

д) через те, що розрахункові параметри відносяться до форм зуба, оброблених начисто, то припусками шліфування або подібними, включаючи припуски товщини зуба, можна знехтувати. На практиці можна стверджувати, що розміри вихідного контуру інструмента такі самі, як ті, що в копії вихідного контуру зубчастої передачі.

Вищезазначені коментарі застосовують до прямозубих і косозубих передач. Значення Y_F , Y_{Fa} і Y_{Fs} визначаються для еквівалентних прямозубих коліс косозубих передач; еквівалентну кількість зубців z_n можна визначити, використовуючи формулу (19) або (20), або приблизне значення z_n можна взяти з рисунка 8. Y_F , Y_{Fa} і Y_{Fs} визначають окремо для колеса і шестерні.

5.2 Розрахунок коефіцієнта, що враховує вплив форми зуба Y_F : метод В

Визначення нормального розміру по хорді s_{Fn} критичного перерізу ніжки зуба і плеча моменту згинання h_{Fe} , що відноситься до прикладання навантаження в зовнішній точці однопарного зовнішнього зачеплення для методу В, показано на рисунку 3. Наступна формула використовує познаки, які проілюстровані на рисунку 3:

$$Y_F = \frac{\frac{6h_{Fe}}{m_n} \cos \alpha_{Fn}}{\left(\frac{s_{Fn}}{m_n} \right)^2 \cos \alpha_n}. \quad (11)$$

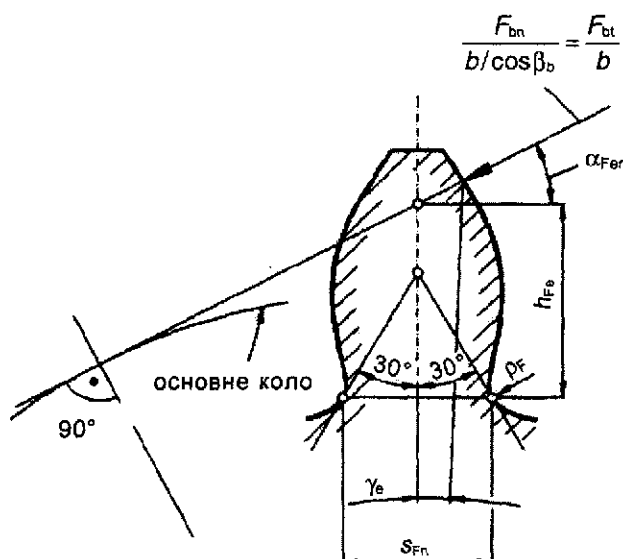


Рисунок 3 — Визначення нормального розміру по хорді в критичному перерізі ніжки зуба для методу В

Для того, щоб оцінити точні значення h_{Fe} , s_{Fn} і α_{Fn} , спочатку необхідно встановити значення θ , яке є прийнятно точним звичайно після двох або трьох ітерацій формули (15). Визначати Y_F графічним способом не рекомендується.

5.2.1 Зовнішнє зачеплення³⁾

Спочатку визначіть допоміжні значення величин для формули (11):

$$E = \frac{\pi}{4} m_n - h_{IP} \tan \alpha_n + \frac{s_{pr}}{\cos \alpha_n} - (1 - \sin \alpha_n) \frac{\rho_{IP}}{\cos \alpha_n}, \quad (12)$$

³⁾ $s_{pr} = pr - q$ (див. рисунок 2).

$s_{pr} = 0$, коли зубчасті колеса без піднутрення.

$$G = \frac{\rho_{IP}}{m_n} - \frac{h_{IP}}{m_n} + x; \quad (13)$$

³⁾ Якщо головка зуба закруглена або з фаскою, то необхідно замінити діаметр вершин зубців d_a в розрахунку на d_{nA} «ефективний діаметр вершин зубців» d_{nA} — діаметр кола біля циліндра вершин зубців, що містить границі використованих поверхонь зубців

$$H = \frac{2}{z_n} \left(\frac{\pi}{2} - \frac{E}{m_n} \right) - \frac{\pi}{3}; \quad (14)$$

$$\theta = \frac{2G}{z_n} \tan \theta - H. \quad (15)$$

Значення $\theta = \pi/6$ можна використовувати як початкове значення в ітерації трансцендентного рівняння (15). Загалом функція сходиться після двох ітерацій.

а) Нормальна хорда ніжки зуба s_{Fn} :

$$\frac{s_{Fn}}{m_n} = z_n \sin \left(\frac{\pi}{3} - \theta \right) + \sqrt{3} \left(\frac{G}{\cos \theta} - \frac{\rho_{fp}}{m_n} \right); \quad (16)$$

б) Радіус перехідної кривої ρ_F (рисунок 3):

$$\frac{\rho_F}{m_n} = \frac{\rho_{fp}}{m_n} + \frac{2G^2}{\cos \theta (z_n \cos^2 \theta - 2G)}, \quad (17)$$

с) Плече момента згинання h_{Fe} :

$$\beta_b = \arccos \sqrt{1 - (\sin \beta \cos \alpha_n)^2} = \arcsin (\sin \beta \cos \alpha_n); \quad (18)$$

$$z_n = \frac{z}{\cos^2 \beta_b \cos \beta}. \quad (19)$$

Наближення:

$$z_n = \frac{z}{\cos^3 \beta}; \quad (20)$$

$$\varepsilon_{an} = \frac{\varepsilon_\alpha}{\cos^2 \beta_b}; \quad (21)$$

$$d_n = \frac{d}{\cos^2 \beta_b} = m_n z_n; \quad (22)$$

$$p_{bn} = \pi m_n \cos \alpha_n; \quad (23)$$

$$d_{bn} = d_n \cos \alpha_n; \quad (24)$$

$$d_{an} = d_n + d_a - d; \quad (25)$$

$$d_{en} = 2 \frac{z}{|z|} \sqrt{\left[\sqrt{\left(\frac{d_{an}}{2} \right)^2 - \left(\frac{d_{bn}}{2} \right)^2} - \frac{\pi d \cos \beta \cos \alpha_n}{|z|} (\varepsilon_{an} - 1) \right]^2 + \left(\frac{d_{bn}}{2} \right)^2}. \quad (26)$$

Число z додатне для зовнішніх зубчастих коліс і від'ємне для внутрішніх зубчастих коліс.

$$\alpha_{en} = \arccos \left(\frac{d_{bn}}{d_{en}} \right); \quad (27)$$

$$\gamma_e = \frac{0,5\pi + 2 \tan \alpha_n x}{z_n} + \operatorname{inv} \alpha_n - \operatorname{inv} \alpha_{en}; \quad (28)$$

$$\alpha_{Fen} = \alpha_{en} - \gamma_e = \tan \alpha_{en} - \operatorname{inv} \alpha_n - \frac{0,5\pi + 2 \tan \alpha_n x}{z_n}; \quad (29)$$

$$\frac{h_{Fe}}{m_n} = \frac{1}{2} \left[(\cos \gamma_e - \sin \gamma_e \tan \alpha_{Fen}) \frac{d_{en}}{m_n} - z_n \cos \left(\frac{\pi}{3} - \theta \right) - \frac{G}{\cos \theta} + \frac{\rho_{fp}}{m_n} \right]. \quad (30)$$

5.2.2 Внутрішнє зачеплення ³⁾

Передбачено, що значення коефіцієнта, що враховує вплив форми зуба, для зуба спеціальної рейки можна підставити як наближене значення коефіцієнта форми зуба внутрішнього зубчастого колеса. Профіль такої рейки повинен бути версією основного вихідного контуру, який модифіковано так, що він утворює нормальний профіль, включаючи кола вершин і ніжок, точної копії колеса внутрішньої зубчастої передачі. α_n — кут напряму навантаження (див. рисунок 4). Формули, наведені нижче, слугують для визначення значень, які повинні бути підставлені в формулу (11).

а) Нормальна хорда ніжки зуба s_{Fn2} :

$$\frac{s_{Fn2}}{m_n} = 2 \left[\frac{\pi}{4} + \frac{h_{IP2} - \rho_{IP2}}{m_n} \tan \alpha_n + \frac{\rho_{IP2} - s_{pr}}{m_n \cos \alpha_n} - \frac{\rho_{IP2}}{m_n} \cos \frac{\pi}{6} \right]; \quad (31)$$

б) Плече моменту згинання h_{Fe2} :

$$\frac{h_{Fe2}}{m_n} = \frac{d_{en2} - d_{fn2}}{2m_n} - \left[\frac{\pi}{4} + \left(\frac{h_{IP2}}{m_n} - \frac{d_{en2} - d_{fn2}}{2m_n} \right) \tan \alpha_n \right] \tan \alpha_n - \frac{\rho_{IP2}}{m_n} \left(1 - \sin \frac{\pi}{6} \right), \quad (32)$$

де d_{en2} — отримано із формулі (25) з параметрами, що мають додатковий індекс 2, доданий до індексів;

d_{fn2} — походження аналогічне, як і для d_{en} (формула (25); $d_{fn2} - d_{f2} = d_{n2} - d_2$)

$$h_{IP2} = \frac{d_{n2} - d_{fn2}}{2}. \quad (33)$$

с) Радіус переходної кривої ρ_{F2}

Коли радіус переходної кривої внутрішнього зуба ρ_{F2} відомий, то він повинен використовуватися для ρ_{IP2} . Коли він невідомий, то використовують наступне наближення:

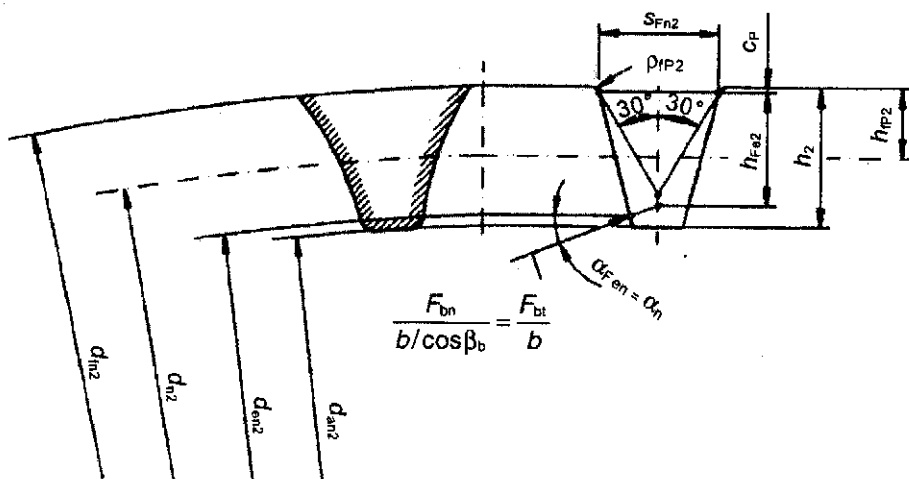


Рисунок 4 — Параметри для визначення коефіцієнта, що враховує вплив форми зуба Y_F для внутрішнього зачеплення (метод В)

$$\rho_{F2} = \rho_{IP2} = 0,15m_n. \quad (34)$$

$$\rho_{IP2} = \frac{C_P}{1 - \sin \alpha_n} = \frac{h_{n2} - h_{Nn2}}{1 - \sin \alpha} = \frac{d_{Nn2} - d_{f2}}{2(1 - \sin \alpha_n)}, \quad (35)$$

де d_{Nn2} — діаметр кола поблизу ніжок зуба, що містить межі використовуваних поверхонь внутрішнього зачеплення або більшого зовнішнього колеса зачепленої пари. У внутрішнього зачеплення діаметри мають від'ємний знак.

³⁾ Див. виноску до 5.2.1

5.3 Коефіцієнт, що враховує вплив форми зуба Y_{Fa} : метод С

Визначення нормального розміру хорди s_{Fn} критичного перерізу ніжки зуба і плеча моменту згинання h_{Fa} у разі прикладення навантаження на зовнішньому краї головки зуба для методу С показано на рисунку 5.

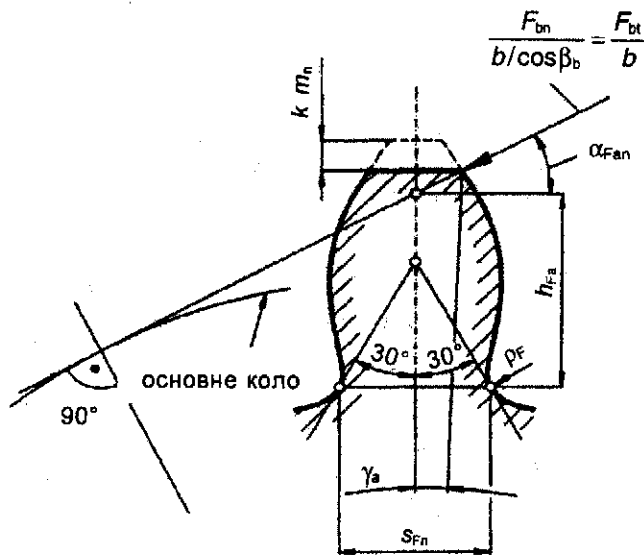


Рисунок 5 — Визначення нормального розміру хорди критичного перерізу ніжки зуба для методу С

Y_{Fa} повинно використовуватися разом з Y_e , і дійсне тільки для зачеплення, що має $\epsilon_{an} < 2$. Формула (36) використовує познаки, які проілюстровано на рисунку 5:

$$Y_{Fa} = \frac{6 \frac{h_{Fa}}{m_n} \cos \alpha_{Fan}}{\left(\frac{s_{Fn}}{m_n} \right)^2 \cos \alpha_n}. \quad (36)$$

Параметри, потрібні для обчислення Y_{Fa} , можна визначити, використовуючи ітеративний метод, пояснений у 5.2.

5.3.1 Зовнішнє зачеплення

5.3.1.1 Графічні значення величини

Коефіцієнт Y_{Fa} можна взяти із рисунків 9—16 для серій профілів загального вихідного контуру як функцію еквівалентної кількості зубців z_n і коефіцієнта зміщення вихідного контуру x . Графіки були розраховані, використовуючи формули, що наведені в 5.3.1.2. Рисунки 9—16 стосуються зубчастих коліс без зменшення висоти головки зуба і без зняття фаски на повздовжньому краю зуба. Значення плеча моменту згинання h_{Fa} для зубчастих передач, що мають зрізані головки зуба, або з притупленими повздовжніми краями зуба, трохи менші ніж ті, що використовуються для кривих. Внаслідок цього значення величини, які одержано з кривих, мають похибку в бік безпечності.

Щоб одержати графічні значення z_n , треба використовувати рисунок 8.

5.3.1.2 Визначення розрахуванням

Визначте наступні значення, що будуть підставлені в формулу (36):

- Нормальна хорда ніжки зуба s_{Fn} : отримайте із формул (16) зі значеннями із формул (12)—(15).
- Радіус переходної кривої r_F : отримайте із формул (17) зі значеннями із формул (12)—(15).
- Плече моменту згинання h_{Fa} :

$$\alpha_{an} = \arccos\left(\frac{d_{bn}}{d_{an}}\right) = \arccos\left[\frac{\cos \alpha_n}{1 + \frac{(d_a - d)}{m_n z_n}}\right], \quad (37)$$

$$\gamma_a = \frac{0,5\pi + 2\tan \alpha_n x}{z_n} + \operatorname{inv} \alpha_n - \operatorname{inv} \alpha_{an}, \quad (38)$$

$$\alpha_{Fan} = \alpha_{an} - \gamma_a = \tan \alpha_{an} - \operatorname{inv} \alpha_n - \frac{0,5\pi + 2\tan \alpha_n x}{z_n}, \quad (39)$$

$$\frac{h_{Fa}}{m_n} = \frac{1}{2} \left[(\cos \gamma_a - \sin \gamma_a \tan \alpha_{Fan}) \frac{d_{an}}{m_n} - z_n \cos\left(\frac{\pi}{3} - \theta\right) - \frac{G}{\cos \theta} + \frac{\rho_{fp}}{m_n} \right], \quad (40)$$

$$\frac{h_{Fa}}{m_n} = 0,5 z_n \left[\frac{\cos \alpha_n}{\cos \alpha_{Fan}} - \cos\left(\frac{\pi}{3} - \theta\right) \right] + 0,5 \left(\frac{\rho_{fp}}{m_n} - \frac{G}{\cos \theta} \right), \quad (41)$$

де z_n — еквівалентна кількість зубців, див. формули (19) і (20);

G — див. формулу (13);

θ — див. формулу (15);

d_{an} — див. формулу (25);

d_{bn} — див. формулу (24);

d_n — див. формулу (22).

5.3.2 Внутрішнє зачеплення

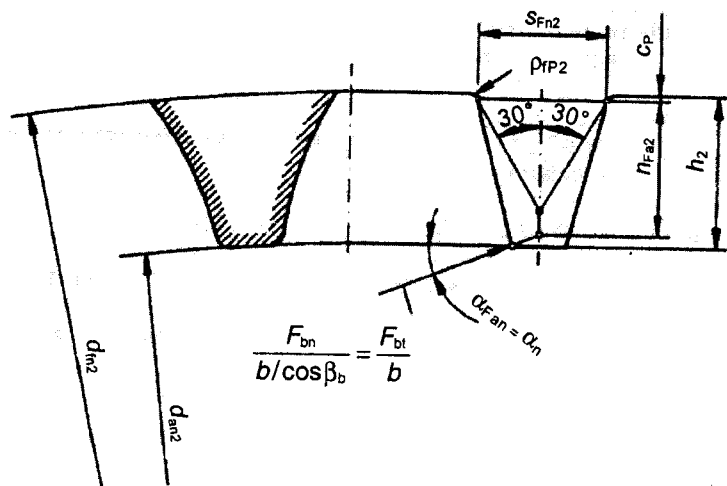


Рисунок 6 — Параметри для визначення коефіцієнта Y_F , що враховує форму зуба, для внутрішнього зачеплення (метод С)

Припущене, що значення коефіцієнта форми зуба спеціального вихідного контуру можна підставити як приблизне значення коефіцієнта форми зуба внутрішнього зачеплення. Профіль такого вихідного контуру повинен бути версією основного профілю вихідного контуру, модифікованого так, щоб він утворив нормальні профілі, включаючи кола вершин і ніжок зуба, точну копію зубчастої передачі внутрішнього зачеплення. Кут профілю краю головки зуба α_n , див. рисунок 6.

5.3.2.1 Графічні значення величин

Коефіцієнт Y_{Fa} можна взяти із рисунків 9—16, в яких наведені графіки для кількох профілів загального основного вихідного контуру як функція еквівалентної кількості зубців z_n і коефіцієнта

зміщення профілю x . Згідно з формулою (34), значення Y_{Fa} для внутрішніх зубчастих коліс наведене в кожному рисунку як наближена величина. Формула (34) у цьому випадку повинна бути підтверджена.

Числові значення величин були обчислені, використовуючи формулі в 5.3.2.2 для (немодифікованих) зубців з висотою профіля основного вихідного контуру (див. 5.3.1.1).

5.3.2.2 Визначення розрахуванням

Визначіть значення наступних величин, щоб підставити їх у формулу (36).

- Нормальна хорда ніжки зуба s_{Fn2} : вона отримується з формулі (31).
- Плече моменту згинання h_{Fa2} :

$$\frac{h_{Fa2}}{m_n} = \frac{d_{an2} - d_{fn2}}{2m_n} - \left[\frac{\pi}{4} + \left(\frac{h_{IP2}}{m_n} - \frac{d_{an2} - d_{fn2}}{2m_n} \right) \tan \alpha_n \right] \tan \alpha_n - \frac{\rho_{IP2}}{m_n} \left(1 - \sin \frac{\pi}{6} \right). \quad (42)$$

||| Отримайте h_{IP2} із формулі (33); звертайтеся до формулі (35) і відповідної інформації для ρ_{IP2} .

с) Радіус перехідної кривої ρ_{F2} ; він отримується із формулі (34). Переконайтесь, що використано правильний знак (див. 5.2.2 с)).

5.4 Графічні значення коефіцієнта вершини зуба Y_{FS} : метод С

Коефіцієнт вершини зуба Y_{FS} дорівнює добутку коефіцієнта форми зуба Y_{Fa} і поправкового коефіцієнта напружень Y_{Sa} у разі прикладення навантаження на вершині зуба.

$$Y_{FS} = Y_{Fa} Y_{Sa}. \quad (43)$$

Коефіцієнти форми зуба і поправковий коефіцієнт напружень у разі прикладення навантаження на вершині зуба розраховані, використовуючи формулі (36) і (51) згідно з розмірами, залежними тільки від тих, що в основному вихідному контурі, і значень величин z_n і x . З цієї причини Y_{FS} можна визначити для всіх основних профілів вихідного контуру систем евольвентних зубчастих передач. Значення цього коефіцієнта можна взяти як функцію еквівалентної кількості зубців z_n і коефіцієнта зміщення вихідного контуру x із рисунків 17—24, для деяких найпоширеніших основних вихідних контурів. Положення в 5.3.2.1 стосуються внутрішніх зубчастих коліс. Значення величин з графіків, подібні значенням на рисунках 9—16 і 25—32, застосовують для зубчастих передач, у яких немає зрізання головки зуба або притуплення поздовжніх країв зубців. Див. 5.3.1.1 щодо пояснювальних коментарів.

Перевірка формулі (3) виявила, що Y_{FS} — це місцеве напруження згинання, коли $F_t = 1\text{Н}$, $b = 1\text{мм}$, $m_n = 1\text{мм}$ і навантаження прикладене до краю головки зуба.

Графіки описаного типу дають можливість швидкого оцінення значень напруження. окремі графіки також наведені для Y_{Fa} і Y_{Sa} , які використовуються під час розрахування коефіцієнта чутливості Y_δ (див. розділ 11).

5.5 Виведення визначального нормального навантаження на зуб прямозубого зачеплення

Номінальне напруження вигину = $\frac{\text{момент вигину}}{\text{момент опору перерізу зуба при } s_{Fn}}$ згідно з наступною формuloю зі значеннями познак, які проілюстровані на рисунку 5.

$$\sigma = \frac{F_b \cos \alpha_{Fa}}{\frac{1}{6} (b s_{Fn}^2)} h_{Fa}; \quad (44)$$

$$F_b \frac{d_b}{2} = F_t \frac{d}{2} = F_w \frac{d_w}{2}, \quad (45)$$

де d_b — основний діаметр;

d — дільниий діаметр;

d_w — початковий діаметр;

F_t — номінальне тангенційне навантаження на дільниому циліндрі;

F_w — номінальне тангенційне навантаження на початковому циліндрі.

$$F_b = \frac{F_t}{\cos \alpha} = \frac{F_w}{\cos \alpha_w}; \quad (46)$$

$$\sigma = \left[\frac{\frac{h_{Fa}}{m} \cos \alpha_{Fa}}{1 \left[\frac{s_{Fn}}{m} \right]^2 \cos \alpha} \right] \frac{F_t}{bm} = \frac{F_t}{bm} Y_{Fa}, \quad (47)$$

де α — кут зачеплення основного профілю вихідного контуру;
 α_w — робочий кут зачеплення.

Коли σ виражене як функція F_t коефіцієнта форми зуба Y_{Fa} , що незалежний від спряжених зубчастих коліс, то воно може бути виведене із формули (47). Значення цих коефіцієнтів можна розмістити у вигляді таблиці для будь-якого основного вихідного контура евольвентних зубчастих коліс. Такі табличні величини застосовують для еквівалентних прямозубих передач, для косозубих зубчастих передач, які мають однакову ширину зубчастого вінця і зазнають одинакового тангенційного навантаження.

5.6 Коефіцієнт форми зуба Y_F і поправковий коефіцієнт напруження Y_s для глибокої форми зачеплення: метод В

Коли коефіцієнт торцевого перекриття зубчастих передач високої точності знаходиться в діапазоні $2 \leq \epsilon_{ap} < 3$, то повне навантаження на зуб передається дво- або трипарним зачепленням. Тоді коефіцієнт форми зуба буде базуватися на прикладенні навантаження у внутрішній точці двопарного зачеплення, IDP, аніж у зовнішній точці однопарного зачеплення, ESP, при $\epsilon_{ap} < 2$ або у зовнішній точці двопарного зачеплення, EDP, для $2 \leq \epsilon_{ap} < 3$. Внаслідок цього формули в 5.2, 5.3, 6.2 і 6.3 можна використовувати без модифікації для оцінення коефіцієнта форми зуба. Проте показники зубчастої передачі розраховуються з повним тангенційним навантаженням F_t , і як наслідок цього напруження мають тенденцію бути переоцінені і навантажувальна здатність має похибку в бік безпечності. Див. рисунок 7 для ілюстрації.

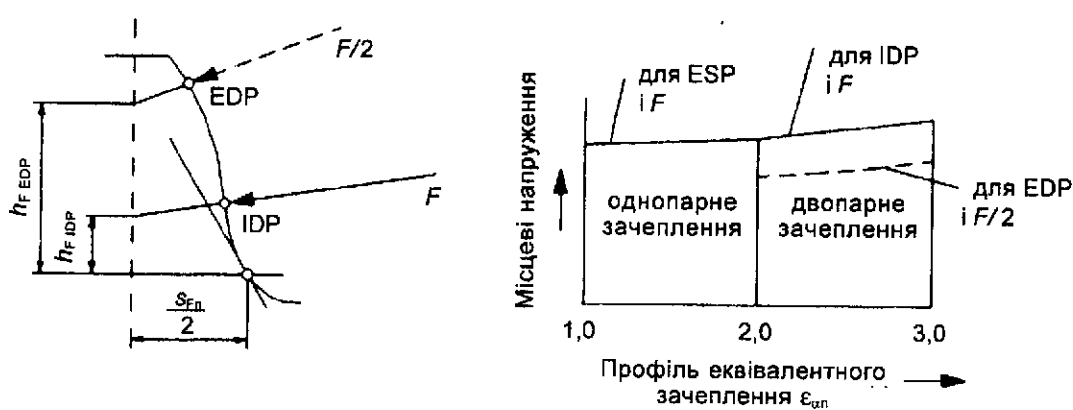


Рисунок 7 — Визначальне положення прикладання навантаження для розрахування коефіцієнта форми зуба Y_F і поправкового коефіцієнта напруження Y_s як функції еквівалентного коефіцієнта торцевого перекриття ϵ_{ap}

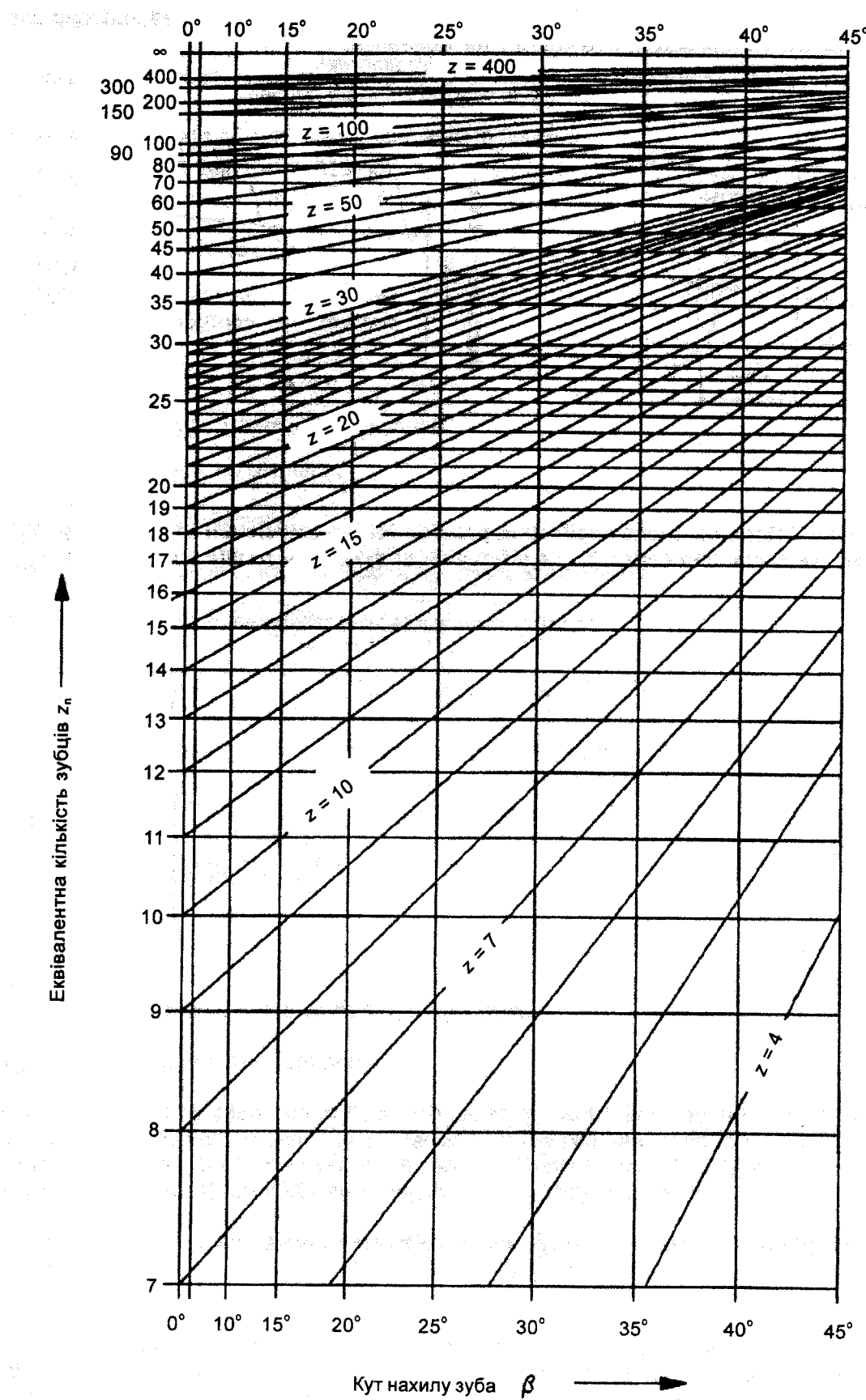
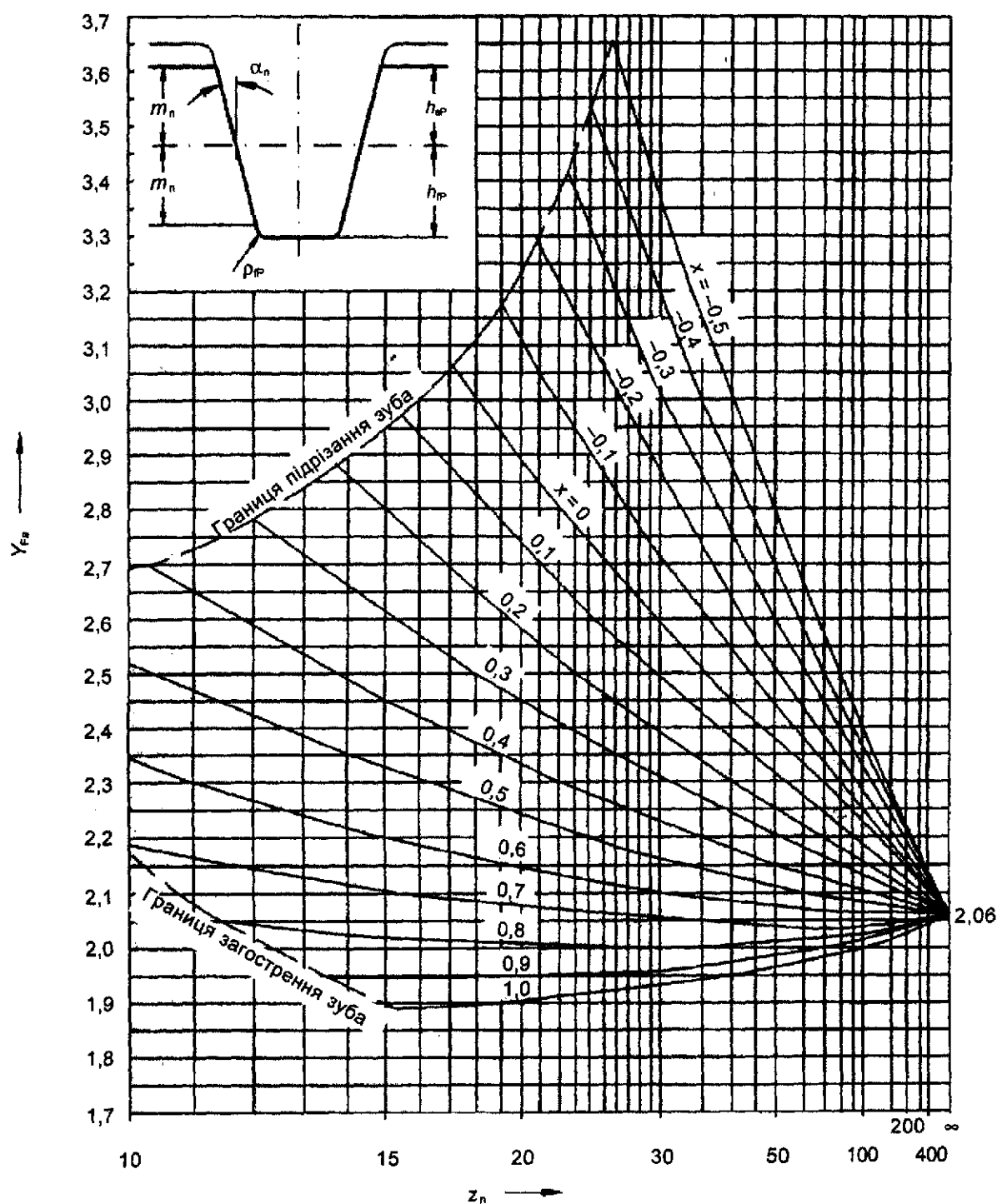
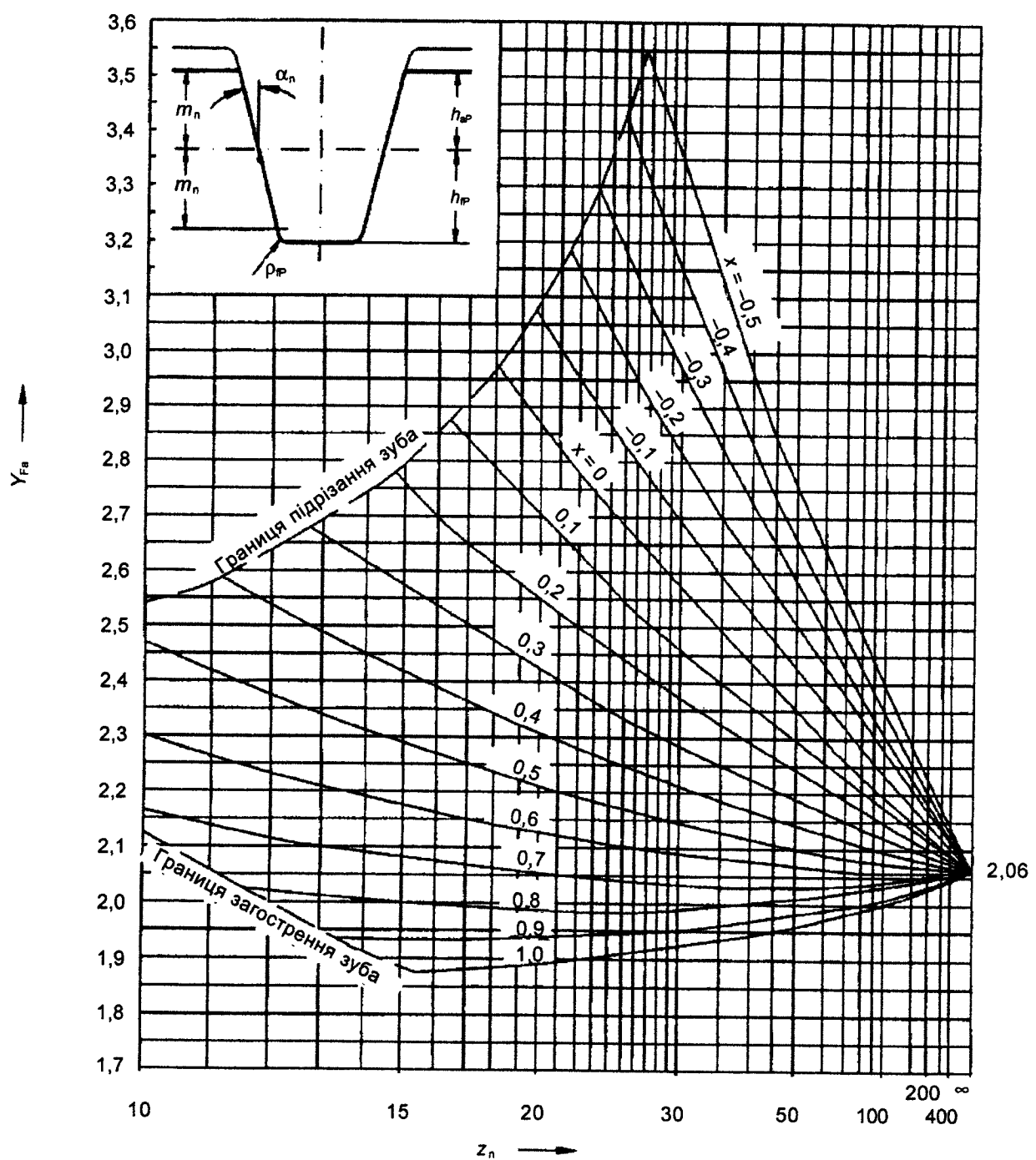


Рисунок 8 — Еквівалентна кількість зубців z_n (графік для приблизного оцінення)



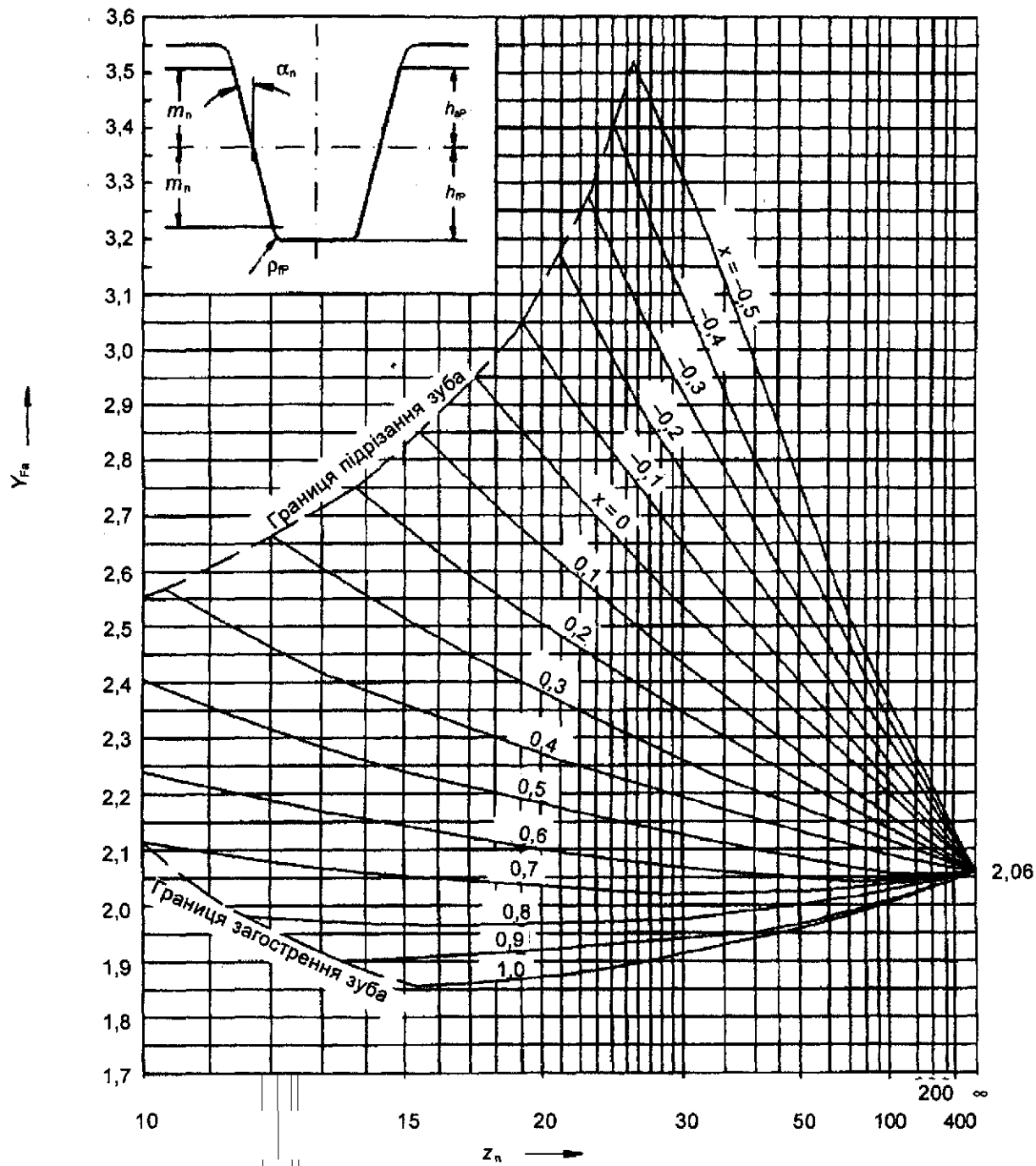
Примітка. Для внутрішнього зачеплення з $p_F = 0,15m_n$ (формула 34) і висотою зуба $h_{ip} = 1,25m_n$; $h_{ap} = 1,0m_n$; $Y_{F_s} = 2,053$.

Рисунок 9 — Коефіцієнт форми зуба Y_{F_s} для зовнішнього зачеплення з основним профілем вихідного контуру:
 $\alpha_n = 20^\circ$; $h_{ap}/m_n = 1,0$; $h_{ip}/m_n = 1,25$; $p_{ip}/m_n = 0,25$



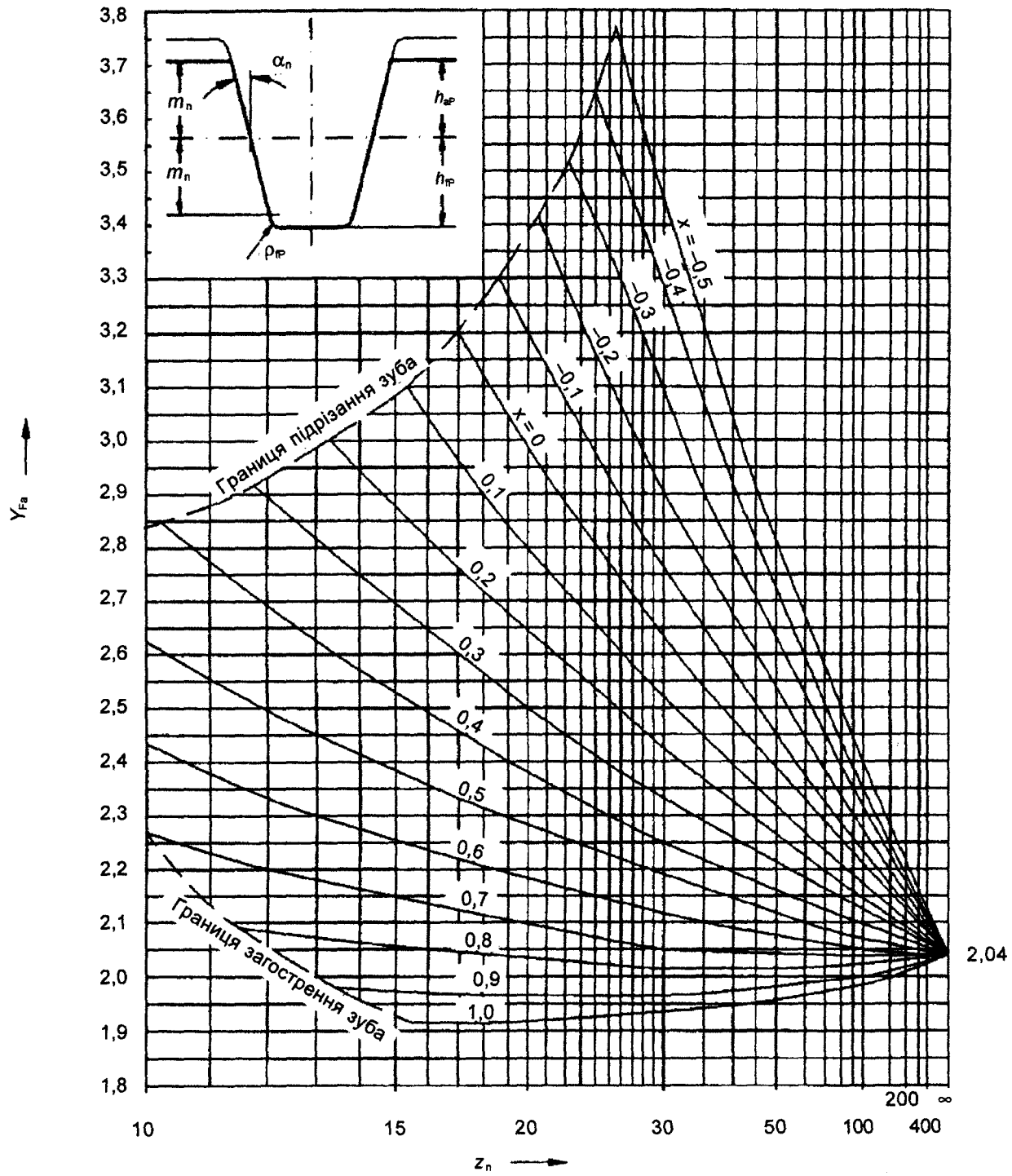
Примітка. Для внутрішнього зачеплення з $\rho_F = 0,15m_n$ (формула 34) і висотою зуба $h_{ip} = 1,25m_n$; $h_{ap} = 1,0m_n$; $Y_{Fa} = 2,053$.

Рисунок 10 — Коефіцієнт форми зуба Y_{Fa} для зовнішнього зачеплення з основним профілем вихідного контуру:
 $\alpha_n = 20^\circ$; $h_{ap}/m_n = 1,0$; $h_{ip}/m_n = 1,25$; $\rho_{ip}/m_n = 0,3$



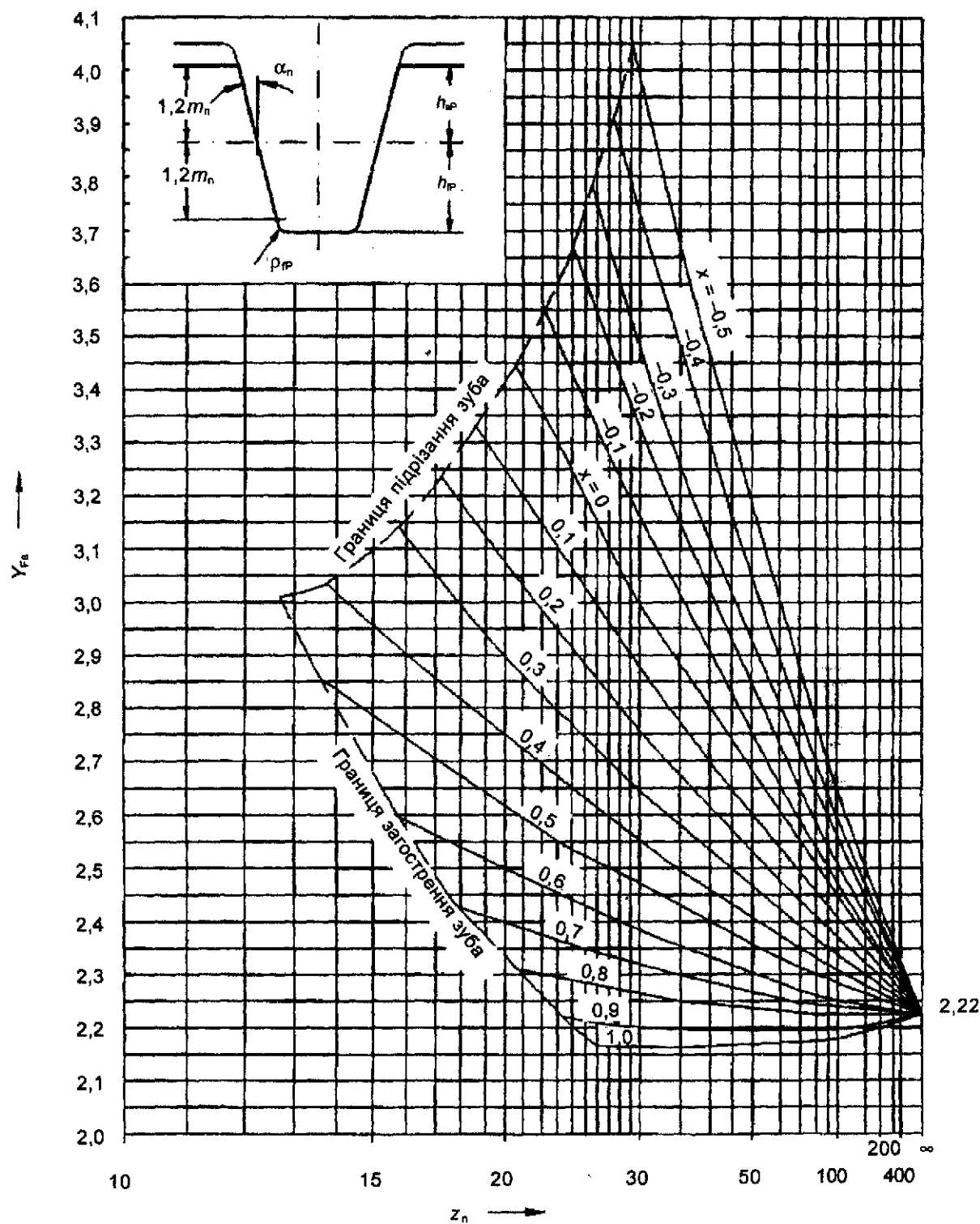
Примітка. Для внутрішнього зачеплення з $p_F = 0,15m_n$ (формула 34) і висотою зуба $h_{ip} = 1,25m_n$; $h_{sp} = 1,0m_n$; $Y_{Fa} = 2,053$.

Рисунок 11 — Коефіцієнт форми зуба Y_{Fa} для зовнішнього зачеплення з основним профілем вихідного контура:
 $\alpha_n = 20^\circ$; $h_{sp}/m_n = 1,0$; $h_{ip}/m_n = 1,25$; $p_F/m_n = 0,375$



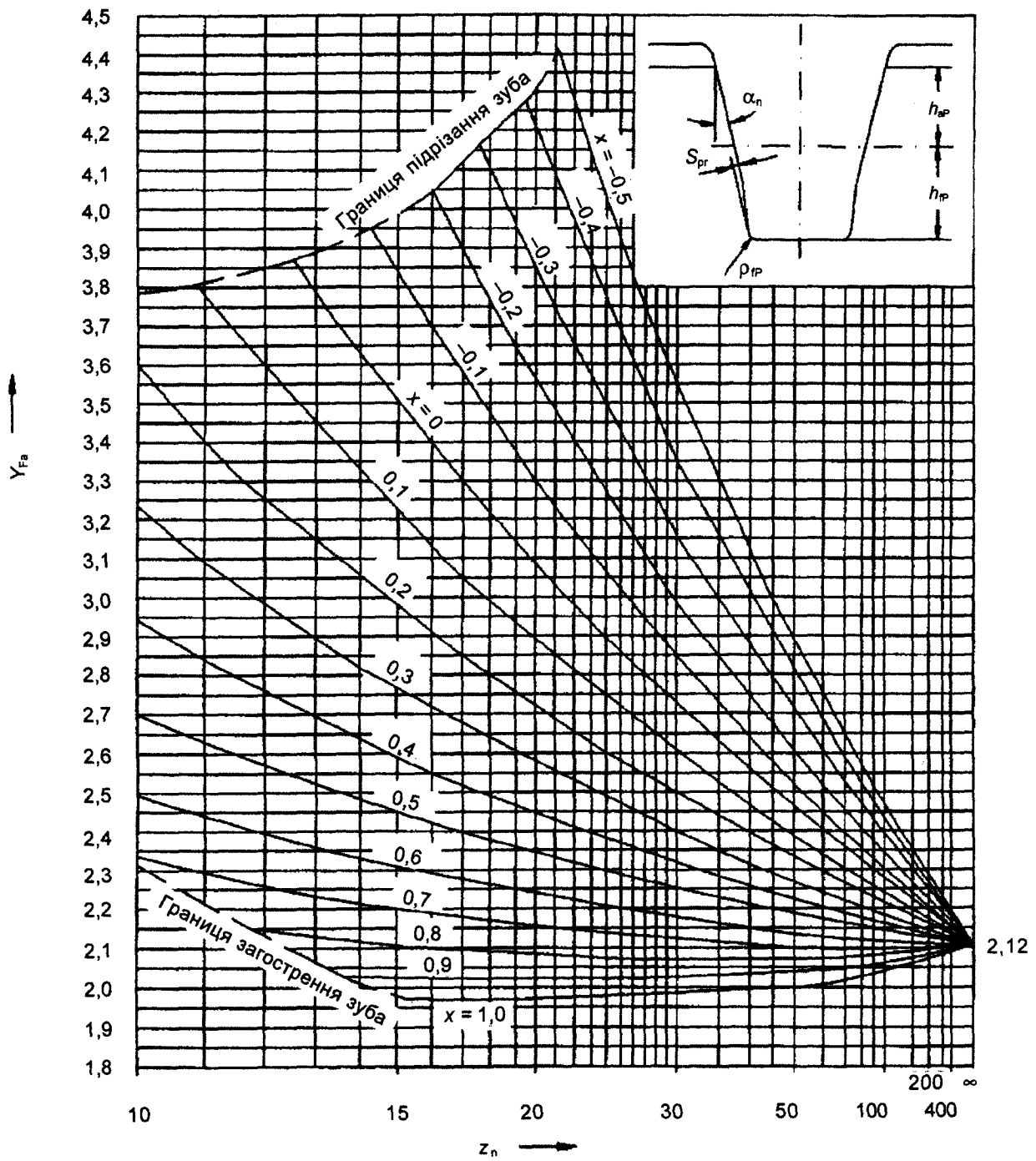
Примітка. Для внутрішнього зачеплення з $\rho_F = 0,15m_n$ (формула 34) і висотою зуба $h_{np} = 1,35m_n$; $h_{ap} = 1,0m_n$; $Y_{Fa} = 2,03$.

Рисунок 12 — Коефіцієнт форми зуба Y_{Fa} для зовнішнього зачеплення з основним профілем вихідного контуру:
 $\alpha_n = 20^\circ$; $h_{ap}/m_n = 1,0$; $h_{np}/m_n = 1,35$; $\rho_{np}/m_n = 0,3$



Примітка. Для внутрішнього зачеплення з $p_F = 0,15m_n$ (формула 34) і висотою зуба $h_{fp} = 1,5m_n$; $h_{sp} = 1,2m_n$; $Y_{Fa} = 2,2$.

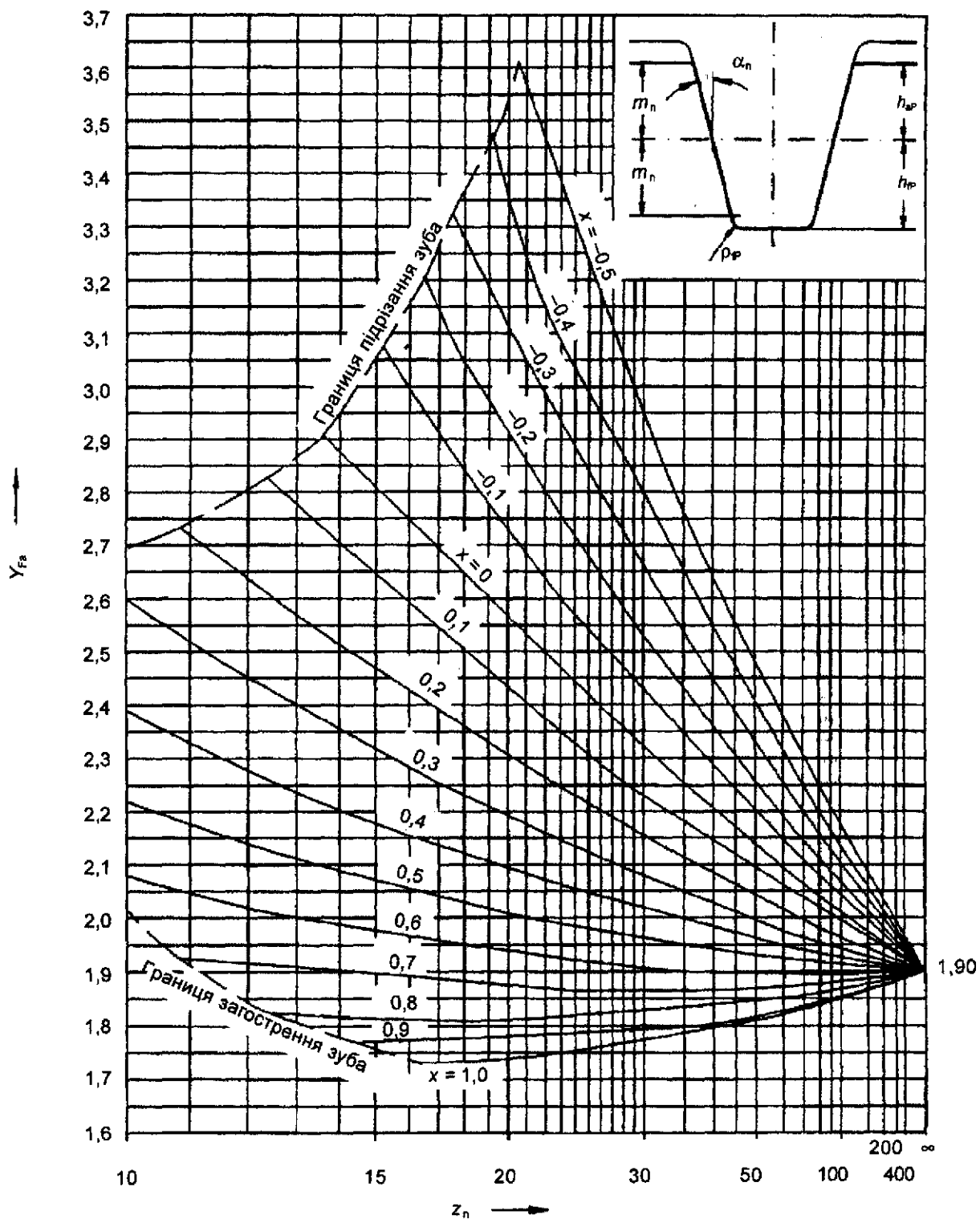
Рисунок 13 — Коефіцієнт форми зуба Y_{Fa} для зовнішнього зачеплення з основним профілем вихідного контуру:
 $\alpha_n = 20^\circ$; $h_{sp}/m_n = 1,2$; $h_{fp}/m_n = 1,5$; $p_{fp}/m_n = 0,3$



Примітка 1. Немає даних для внутрішнього зачеплення (підрізання ніжки зуба).

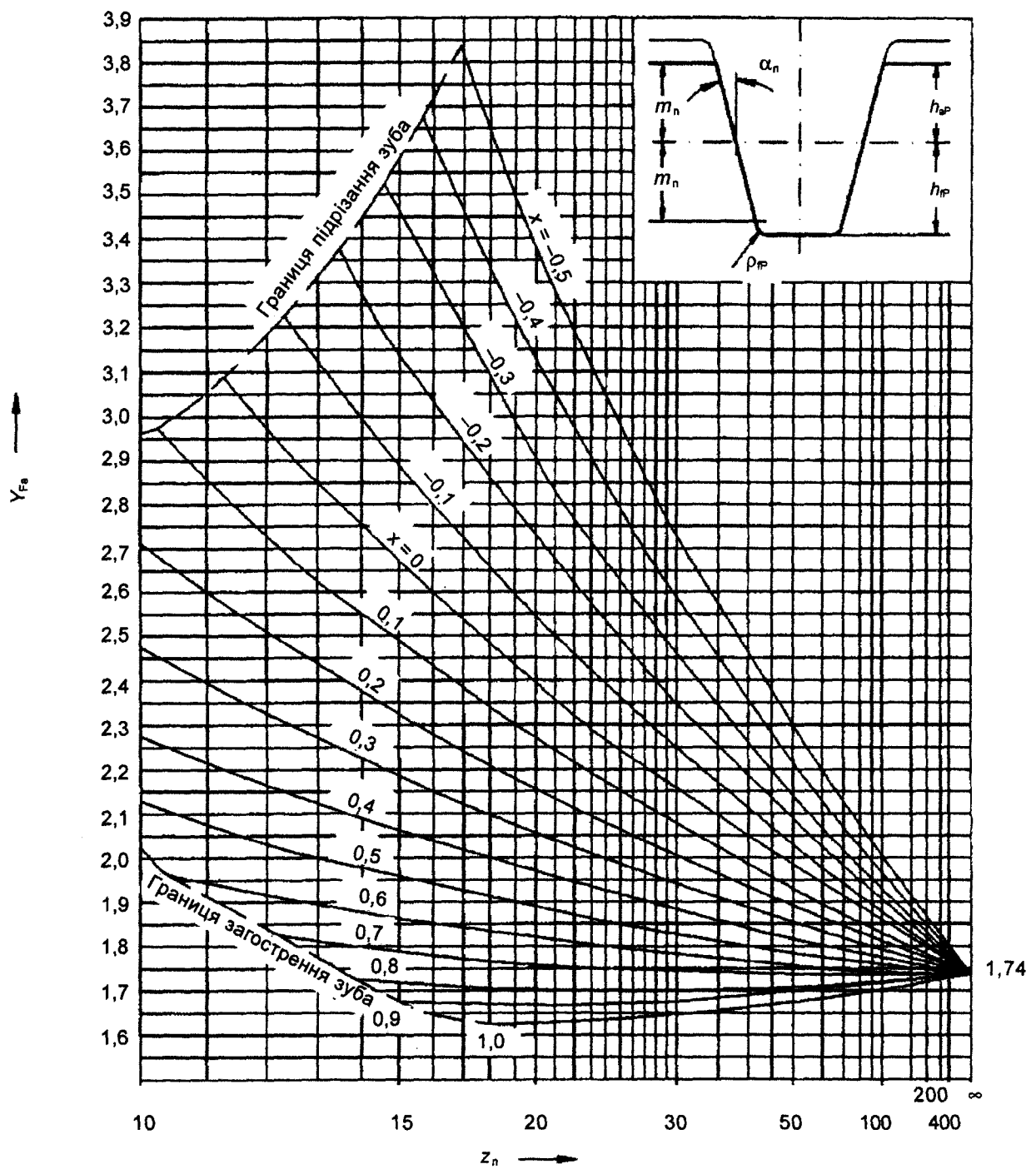
Примітка 2. Менші значення s_{pr} спільні з більшими модулями. Див. також рисунок 2.

Рисунок 14 — Коефіцієнт форми зуба Y_{Fa} для зовнішнього зачеплення з основним профілем вихідного контура:
 $\alpha_n = 20^\circ$; $h_{bp}/m_n = 1,0$; $h_{rp}/m_n = 1,4$; $\rho_{ip}/m_n = 0,4$; $s_{pr} = 0,02m_n$



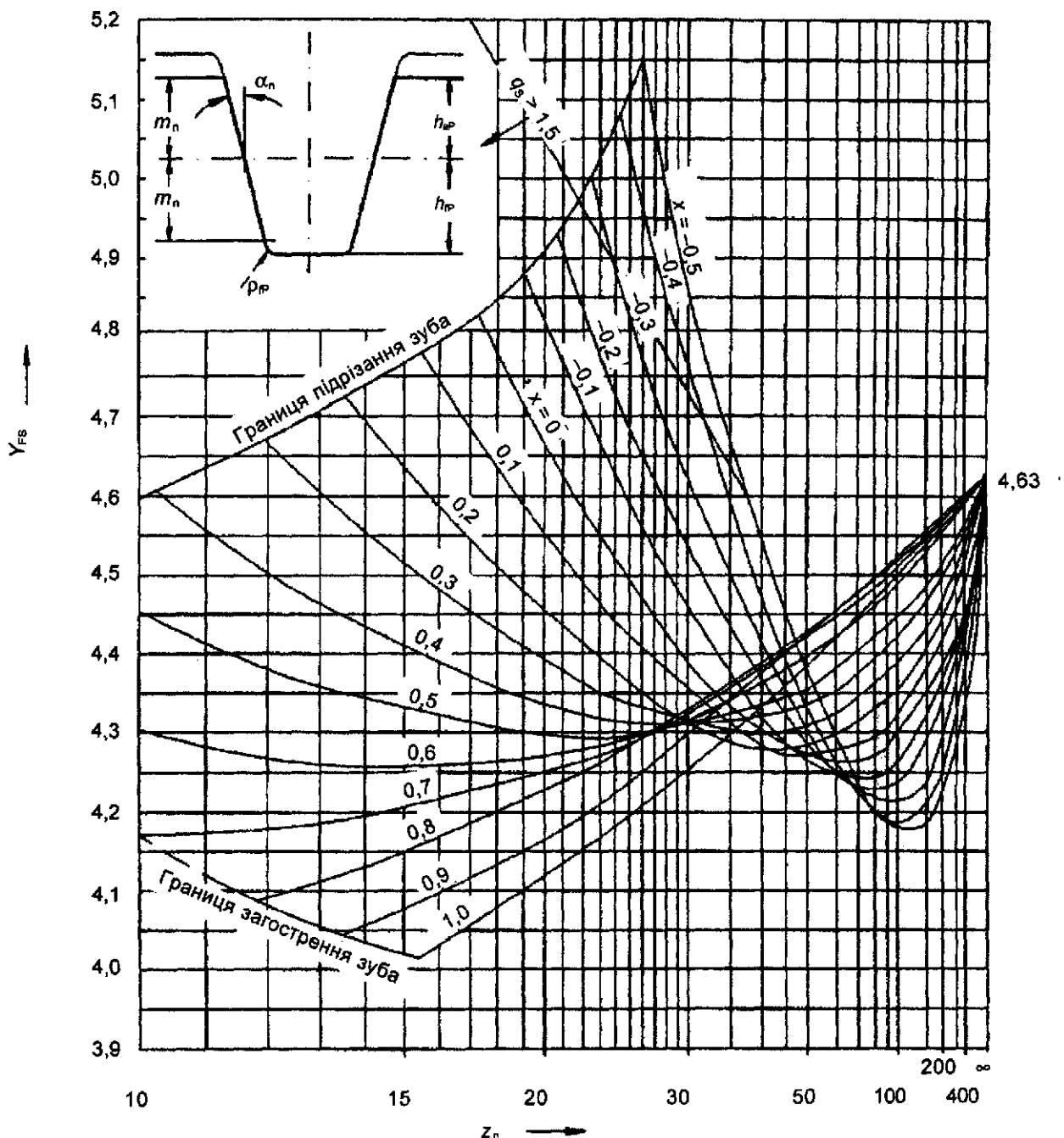
Примітка. Для внутрішнього зачеплення з $\rho_F = 0,15m_n$ (формула 34) і висотою зуба $h_{ip} = 1,25m_n$; $h_{ap} = 1,0m_n$; $Y_{Fa} = 1,87$.

Рисунок 15 — Коефіцієнт форми зуба Y_{Fa} для зовнішнього зачеплення з основним профілем вихідного контуру:
 $\alpha_n = 22,5^\circ$; $h_{ap}/m_n = 1,0$; $h_{ip}/m_n = 1,25$; $\rho_{ip}/m_n = 0,4$



Примітка. Для внутрішнього зачеплення з $p_f = 0,15m_n$ (формула 34) і висотою зуба $h_{ip} = 1,25m_n$; $h_{ap} = 1,0m_n$; $Y_{Fa} = 1,71$.

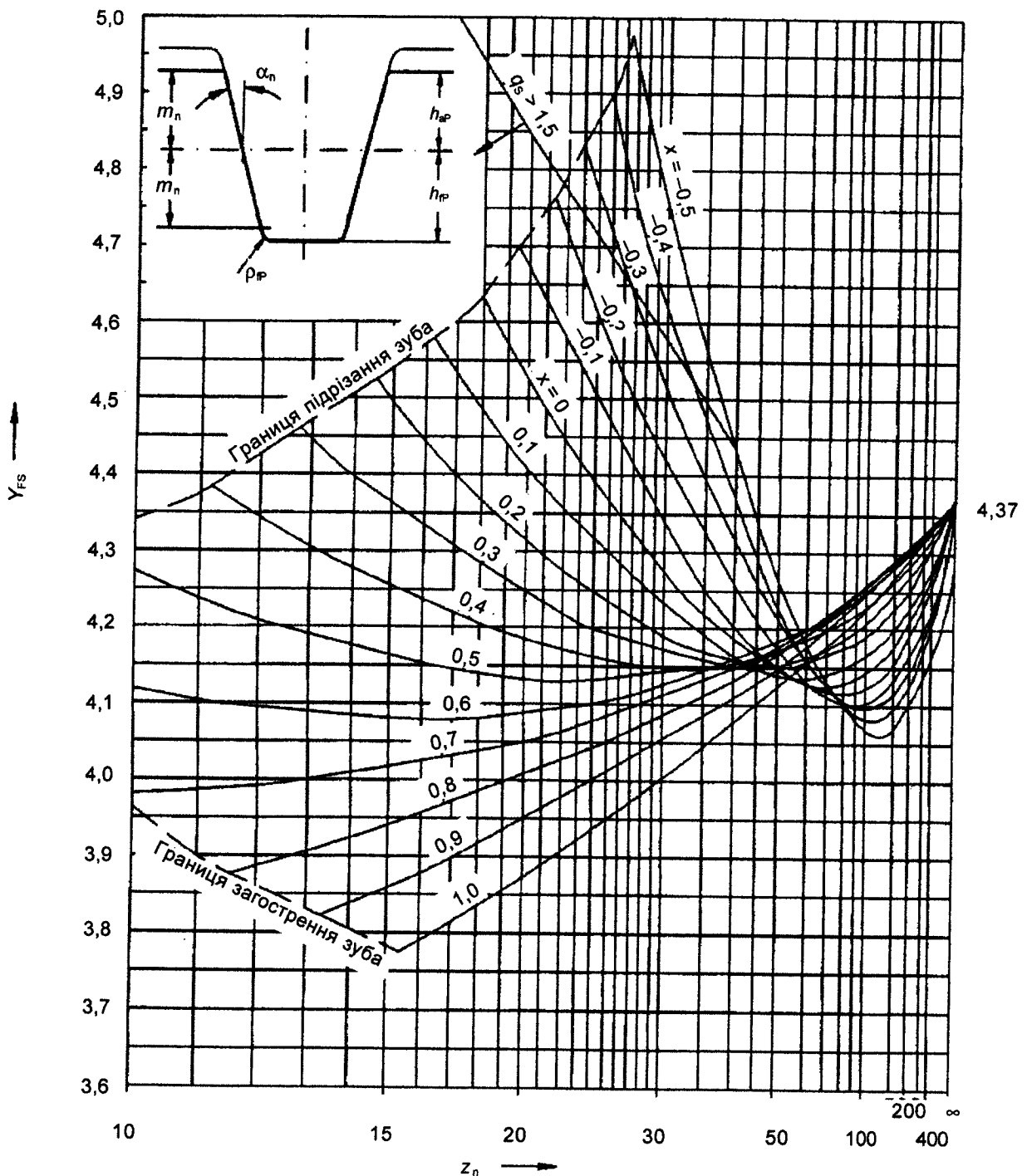
Рисунок 16 — Коефіцієнт форми зуба Y_{Fa} для зовнішнього зачеплення з основним профілем вихідного контуру:
 $\alpha_n = 25^\circ$; $h_{ap}/m_n = 1,0$; $h_{ip}/m_n = 1,25$; $p_{ip}/m_n = 0,318$



Примітка 1. Для внутрішнього зачеплення з $p_F = 0,15m_n$ (формула 34) і висотою зуба $h_{sp} = 1,25m_n$; $h_{np} = 1,0m_n$; $Y_{Fs} = 5,44$.

Примітка 2. Для граничних значень q_s див. розділ 11.

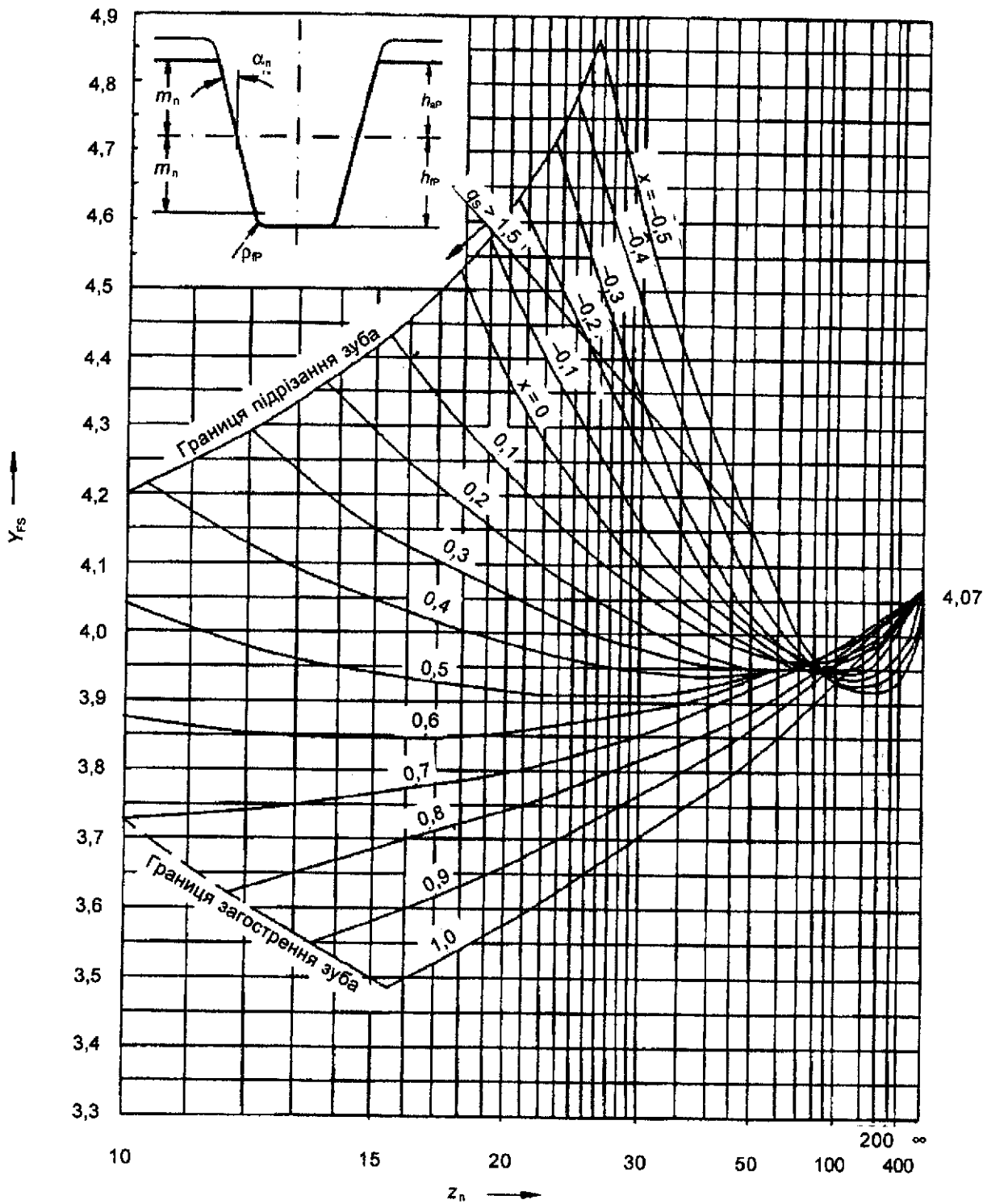
Рисунок 17 — Коефіцієнт вершини зуба Y_{Fs} ($= Y_{Fa} Y_{Sa}$) для зовнішнього зачеплення з основним профілем вихідного контуру: $\alpha_n = 20^\circ$; $h_{sp}/m_n = 1,0$; $h_{np}/m_n = 1,25$; $p_F/m_n = 0,25$



Примітка 1. Для внутрішнього зачеплення з $\rho_f = 0,15m_n$ (формула 34) і висотою зуба $h_{fp} = 1,25m_n$; $h_{ap} = 1,0m_n$; $Y_{Fs} = 5,44$.

Примітка 2. Для граничних значень q_0 див. розділ 11.

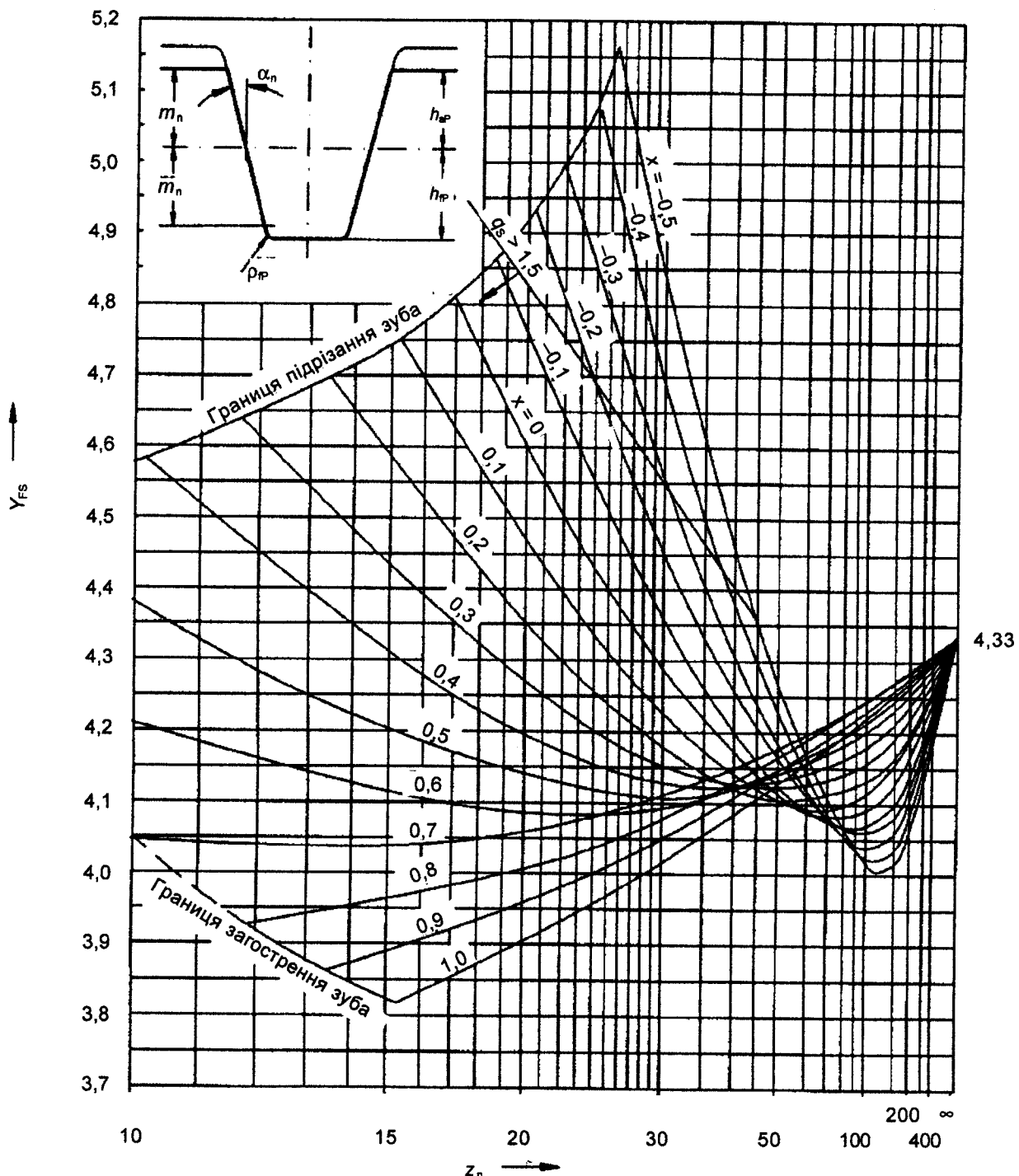
Рисунок 18 — Коефіцієнт вершини зуба Y_{Fs} ($= Y_{Fa}Y_{Sa}$) для зовнішнього зачеплення з основним профілем вихідного контуру: $\alpha_n = 20^\circ$; $h_{ap}/m_n = 1,0$; $h_{fp}/m_n = 1,25$; $\rho_{fp}/m_n = 0,3$



Примітка 1. Для внутрішнього зачеплення з $p_F = 0,15m_n$ (формула 34) і висотою зуба $h_{ip} = 1,25m_n$; $h_{ap} = 1,0m_n$; $Y_{F_b} = 5,44$.

Примітка 2. Для граничних значень q_* див. розділ 11.

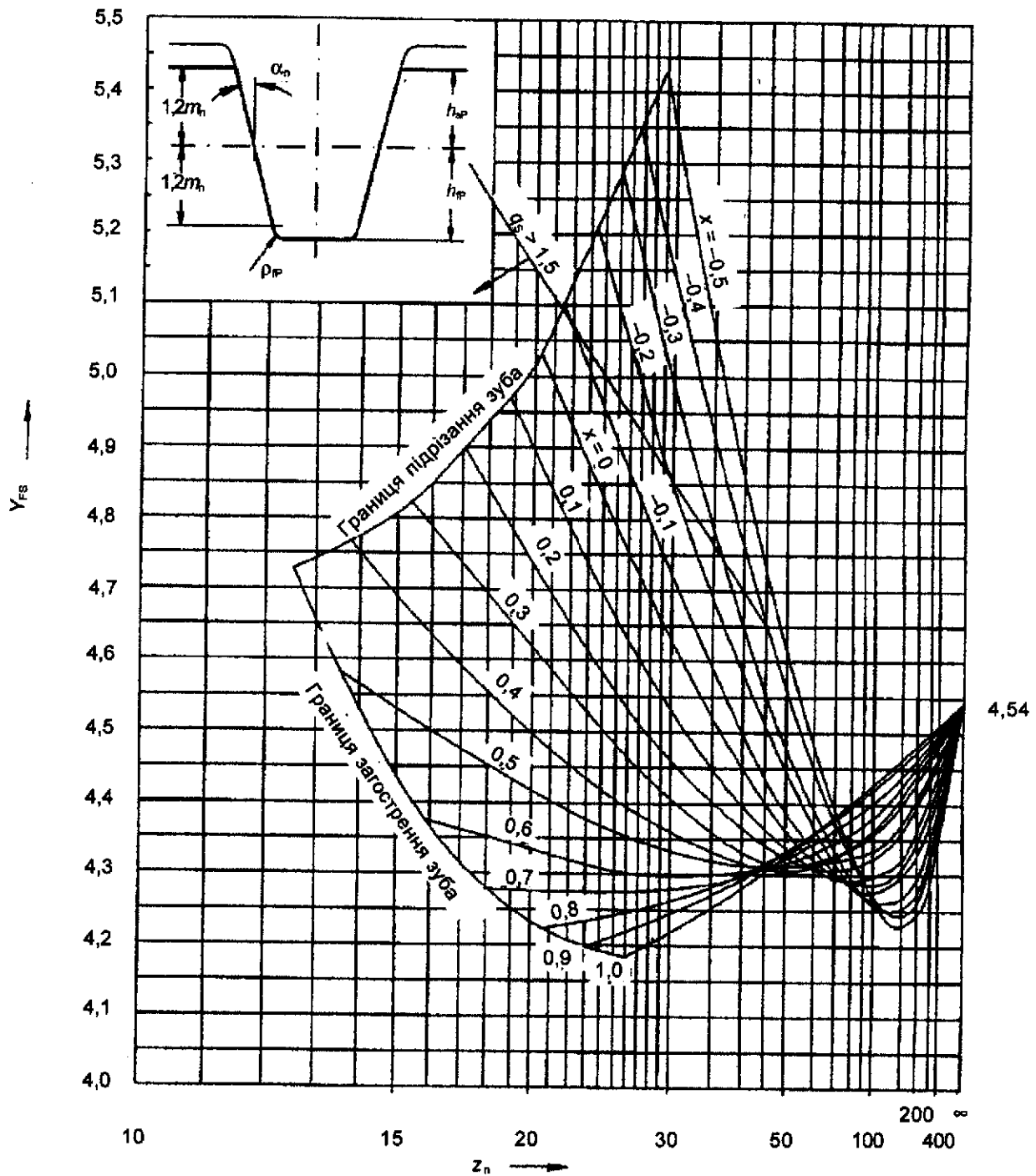
Рисунок 19 — Коефіцієнт вершини зуба Y_{F_s} ($= Y_{F_a} Y_{S_a}$) для зовнішнього зачеплення з основним профілем вихідного контуру: $\alpha_n = 20^\circ$; $h_{ap}/m_n = 1,0$; $h_{ip}/m_n = 1,25$; $p_{ip}/m_n = 0,375$



Примітка 1. Для внутрішнього зачеплення з $p_F = 0,15m_n$ (формула 34) і висотою зуба $h_{ap} = 1,35m_n$; $h_{sp} = 1,0m_n$; $Y_{FS} = 5,35$.

Примітка 2. Для граничних значень q_s див. розділ 11.

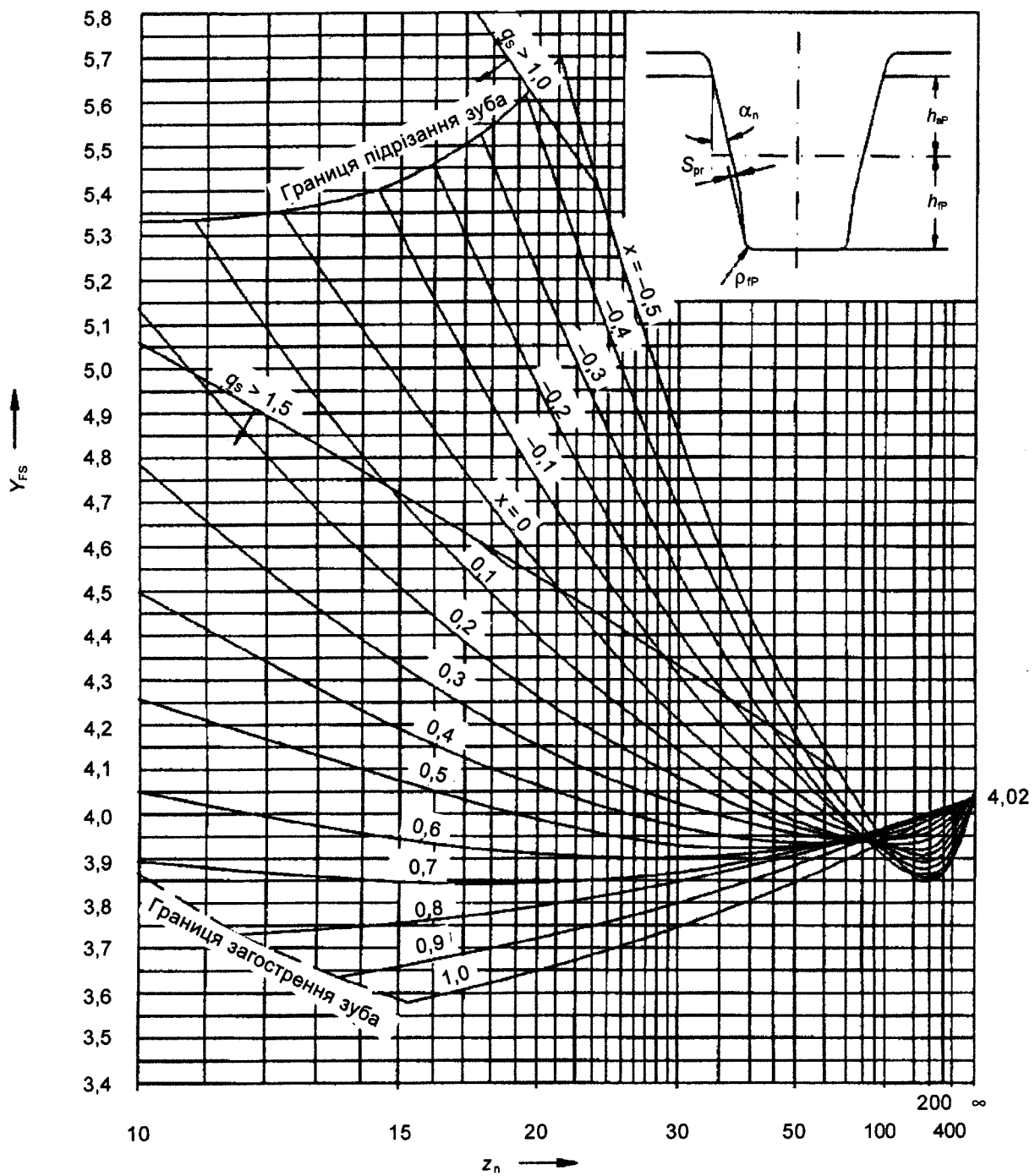
Рисунок 20 — Коефіцієнт вершини зуба Y_{FS} ($= Y_{Fe} Y_{Sa}$) для зовнішнього зачеплення з основним профілем вихідного контуру: $\alpha_n = 20^\circ$; $h_{ap}/m_n = 1,0$; $h_{sp}/m_n = 1,35$; $p_{ip}/m_n = 0,3$



Примітка 1. Для внутрішнього зачеплення з $\rho_F = 0,15m_n$ (формула 34) і висотою зуба $h_{IP} = 1,5m_n$; $h_{SP} = 1,2m_n$; $Y_{F_s} = 5,54$.

Примітка 2. Для граничних значень q_0 див. розділ 11.

Рисунок 21 — Коефіцієнт вершини зуба Y_{F_s} ($= Y_{F_s} Y_{S_d}$) для зовнішнього зачеплення з основним профілем вихідного контуру: $\alpha_n = 20^\circ$; $h_{SP}/m_n = 1,2$; $h_{IP}/m_n = 1,5$; $\rho_{IP}/m_n = 0,35$

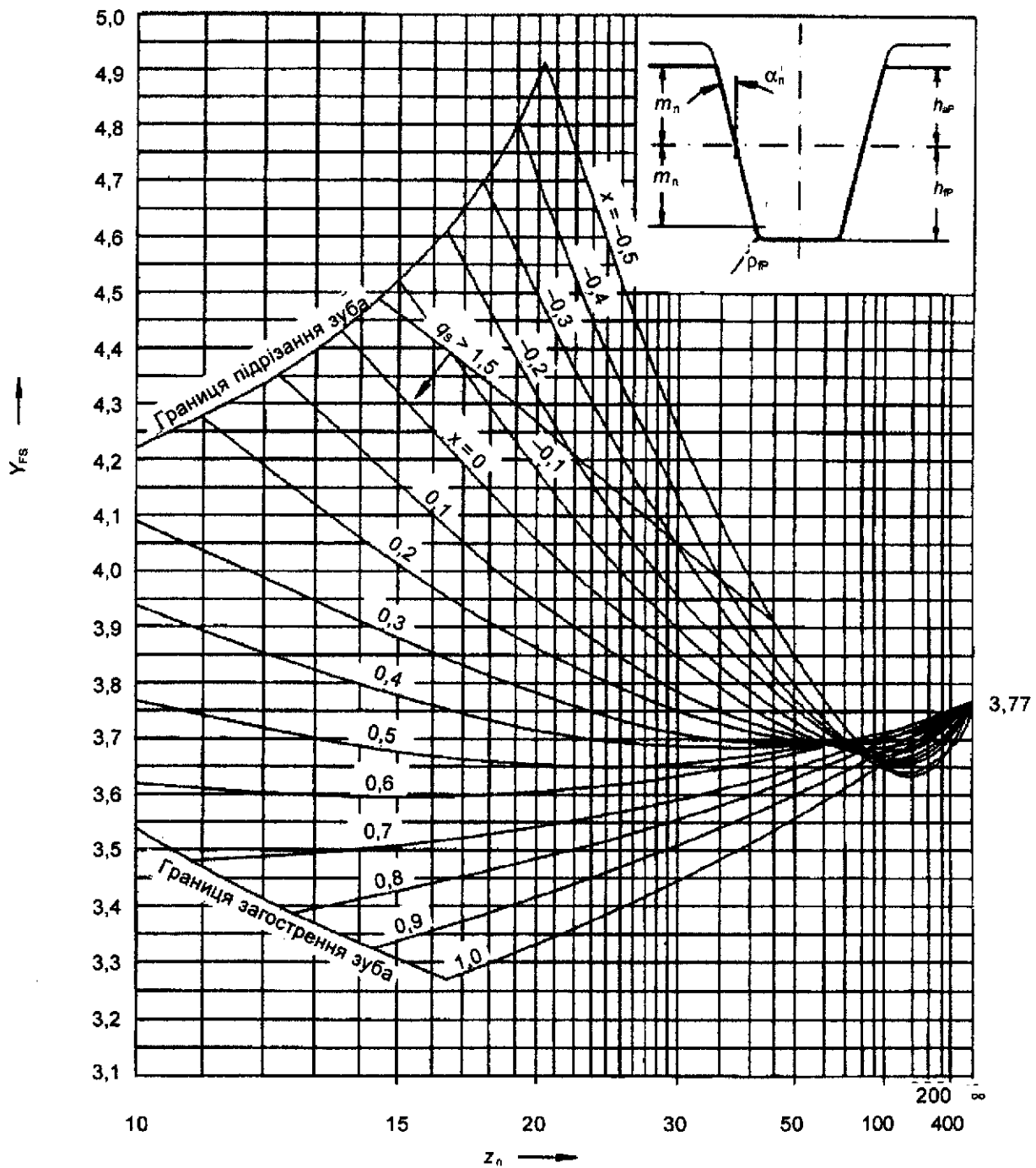


Примітка 1. Немає даних для внутрішнього зачеплення (підрізання ніжки зuba).

Примітка 2. Менші значення s_{pr} спільні з більшими модулями. Див. також рисунок 2.

Примітка 3. Для граничних значень q_s див. розділ 11.

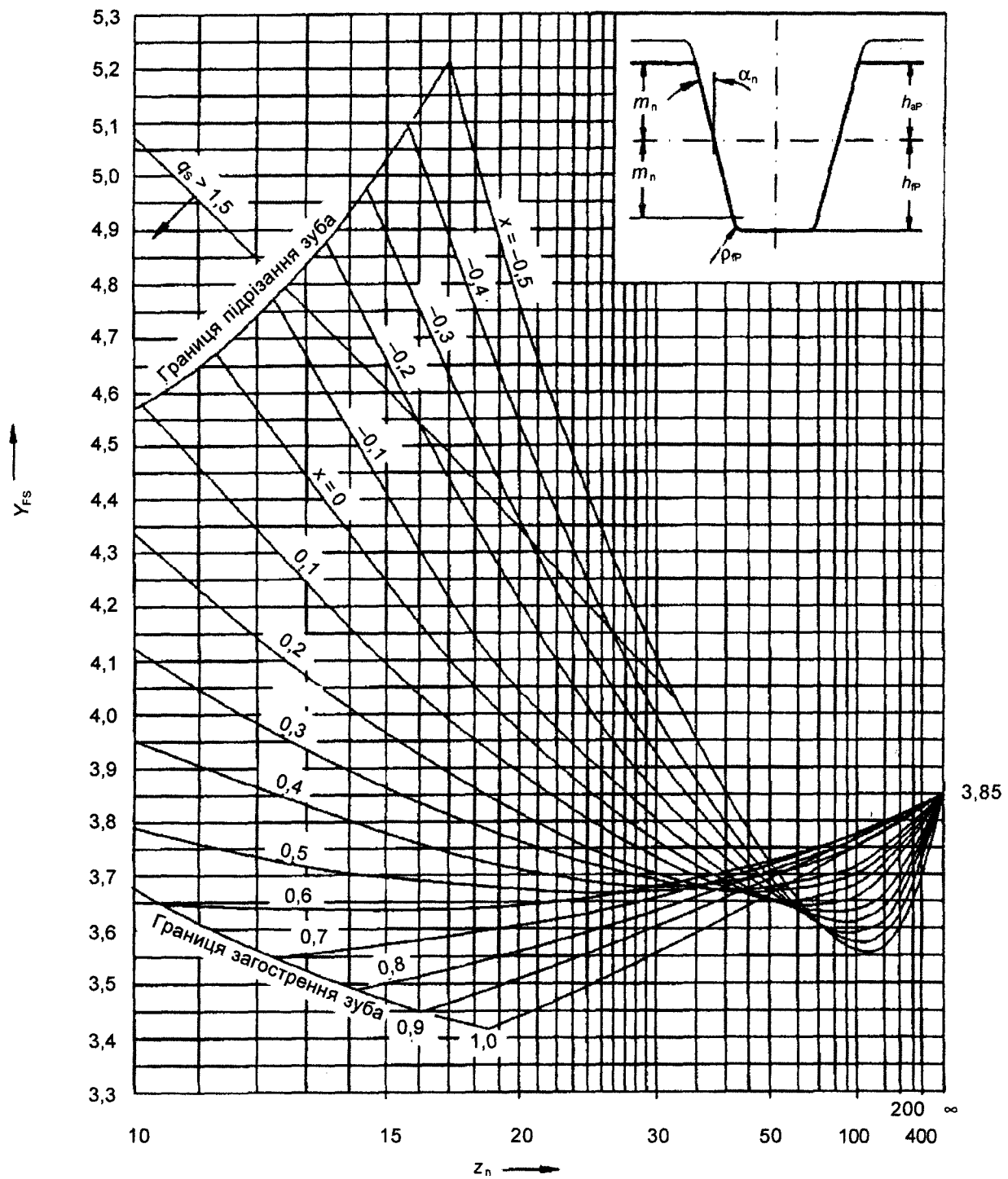
Рисунок 22 — Коефіцієнт вершини зуба Y_{FS} ($= Y_{Fa} Y_{Sa}$) для зовнішнього зачеплення з основним профілем вихідного контуру: $\alpha_n = 20^\circ$; $h_{ap}/m_n = 1,0$; $h_{ip}/m_n = 1,4$; $p_{ip}/m_n = 0,4$; $s_{pr} = 0,02 m_n$



Примітка 1. Для внутрішнього зачеплення з $r_F = 0,15m_n$ (формула 34) і висотою зуба $h_{ip} = 1,25m_n$; $h_{ap} = 1,0m_n$; $Y_{F_S} = 5,16$.

Примітка 2. Для граничних значень q_s див. розділ 11.

Рисунок 23 — Коефіцієнт вершини зуба Y_{F_S} ($= Y_{F_S} Y_{S_A}$) для зовнішнього зачеплення з основним профілем вихідного контуру: $\alpha_n = 22,5^\circ$; $h_{ap}/m_n = 1,0$; $h_{ip}/m_n = 1,25$; $r_{ip}/m_n = 0,4$



Примітка 1. Для внутрішнього зачеплення з $\rho_F = 0,15m_n$ (формула 34) і висотою зуба $h_{ip} = 1,25m_n$; $h_{ap} = 1,0m_n$; $Y_{FS} = 4,9$.
 Примітка 2. Для граничних значень q_s див. розділ 11.

Рисунок 24 — Коефіцієнт вершини зуба Y_{FS} ($= Y_{Fa} Y_{Sa}$) для зовнішнього зачеплення з основним профілем вихідного контуру: $\alpha_n = 25^\circ$; $h_{ap}/m_n = 1,0$; $h_{ip}/m_n = 1,25$; $\rho_{ip}/m_n = 0,318$

6 ПОПРАВКОВІ КОЕФІЦІЕНТИ НАПРУЖЕНЬ Y_s І Y_{sa}

6.1 Основні використання

Поправкові коефіцієнти напруження Y_s і Y_{sa} використовуються, щоб перетворити номінальне напруження згинання в місцеве напруження згинання і цими коефіцієнтами враховується наступне:

а) ефект підсилення напруження зміни перерізу біля радіуса перехідної кривої при ніжці зуба⁴⁾;

б) те оцінення правильної системи напружень у критичному перерізі ніжки зуба складніше, ніж представлене просте системне оцінення. Оцінка вказує, що інтенсивність місцевого напруження в ніжці зуба складається із двох компонентів: на один з них безпосередньо впливає значення моменту згинання, другий, що збільшується з близькістю до критичного перерізу визначального положення прикладення навантаження.

Y_s — це коефіцієнт для прикладання навантаження в зовнішній точці однопарного зачеплення (метод В), Y_{sa} — це коефіцієнт для прикладання навантаження на вершині зуба (метод С). Див. 4.1 щодо принципів, припущень і застосувань методів В і С.

Нижче наведені формулі базуються на даних, виведених із геометрії зовнішніх прямозубих передач з кутом зачеплення 20° вимірюванням і розрахунками, використовуючи методи кінцевих елементів і інтергальних рівнянь. Формулі можна також використовувати, щоб отримати приблизні значення величин, що стосуються внутрішніх зубчастих коліс і коліс, що мають інші кути зачеплення.

Вищевказані настанови стосуються прямозубих і косозубих коліс. Див. розділ 5 щодо пояснювальних приміток та інформації про розрахунок еквівалентної кількості зубців, доречних до косозубих коліс.

6.2 Поправковий коефіцієнт напруження Y_s : метод В

Розрахунок поправкового коефіцієнта напруження Y_s виконаний згідно з наступною формулою, яка чинна в діапазоні: $1 \leq q_s < 8$; позначення проілюстровані на рисунку 3.

$$Y_s = (1,2 + 0,13L) q_s^{\left[\frac{1}{1,21 + \frac{2,3}{L}} \right]}, \quad (48)$$

$$\text{де } L = \frac{s_{Fn}}{h_{Fe}}, \quad (49)$$

з s_{Fn} — із формулі (16) для зовнішніх зубчастих коліс, формулі (31) для внутрішніх зубчастих коліс;

h_{Fe} — визначене за формулою (30) для зовнішніх зубчастих коліс і формулою (32) для внутрішнього зачеплення.

$$q_s = \frac{s_{Fn}}{2p_F} \quad (50)$$

з p_F — із формулі (17) для зовнішнього зачеплення і формулі (34) для внутрішнього зачеплення.

Визначення Y_s графічними методами не властиве.

6.3 Поправковий коефіцієнт напруження Y_{sa} : метод С

Подібно до Y_{Fa} (див. 5.3) застосовують тільки для зачеплення з коефіцієнтом торцевого перекриття $\epsilon_{ap} < 2$.

6.3.1 Графічні значення величин

Коефіцієнт Y_{sa} для ряду поширеніших основних профілів вихідного контуру можна взяти з рисунків 25—32 як функцію еквівалентної кількості зубців z_n і коефіцієнта зміщення вихідного контуру x . Звертайтесь до 5.3.2.1 щодо заміток, що стосуються внутрішніх зубчастих коліс. Графічні криві були розраховані для повновисотних зубців без зрізання країв вершини зуба, що мають висоту основ-

⁴⁾ Див. 6.4 щодо методики, якої треба дотримуватися, коли є піднутрення для шліфування в перехідних кривих зуба.

ного вихідного контуру, використовуючи формулі (51) і (52). Плече моменту згинання трохи менше для зубчастих передач зі зрізаними вершинами або краями вершин зубців, отже для таких передач схемні значення Y_{Sa} трохи завищенні і характеристики навантажувальної здатності мають тенденцію відхилятися в бік безпечності.

Див. рисунок 8 щодо графічних величин z_n .

6.3.2 Визначення розраховуванням

Діапазон застосування формулі (51): $1 \leq q_s < 8$. Y_{Sa} розраховують, використовуючи наступну формулу, яка виведена із формулі (48) підстановкою h_{Fa} замість h_{Fe} :

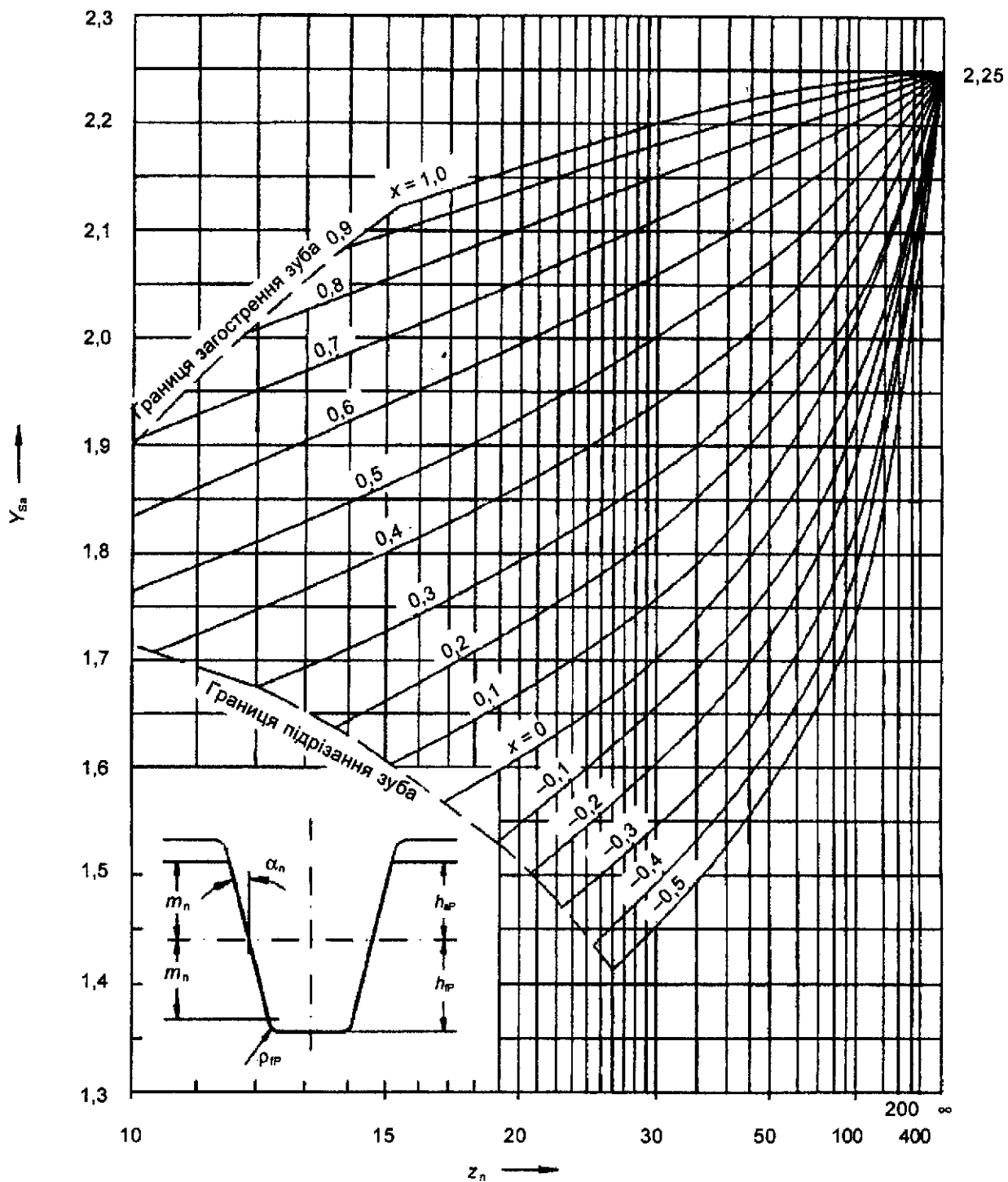
$$Y_{Sa} = (1,2 + 0,13L_a) q_s^{\left[\frac{1}{1,21 + \frac{2,3}{L_a}} \right]}, \quad (51)$$

де $L_a = \frac{s_{Fn}}{h_{Fa}}$ (52)

s_{Fn} — із формулі (16) для зовнішнього зачеплення і формулі (31) для внутрішнього зачеплення;

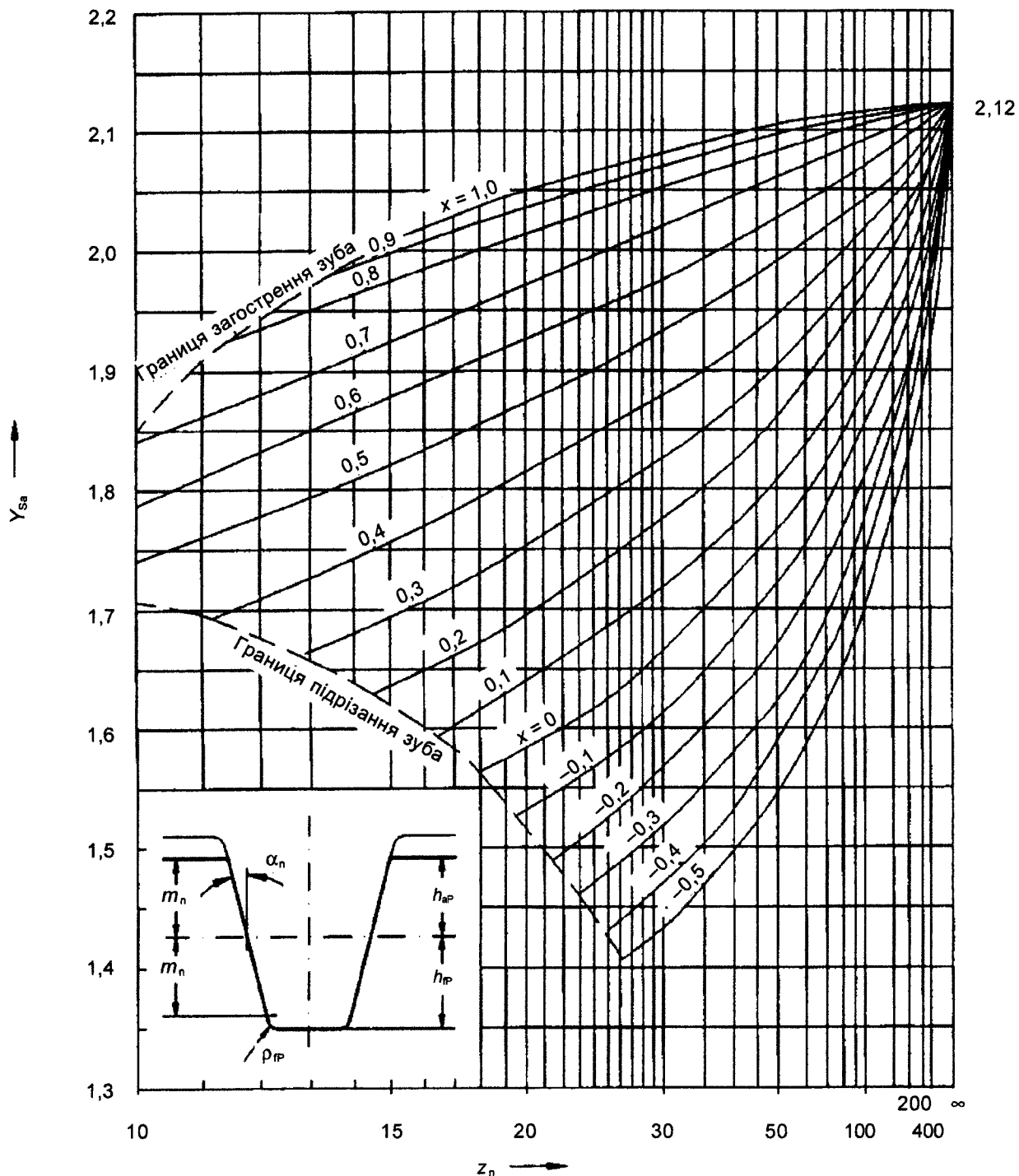
h_{Fa} — із формулі (41) для зовнішнього зачеплення і формулі (42) для внутрішнього зачеплення;

q_s — із формулі (50).



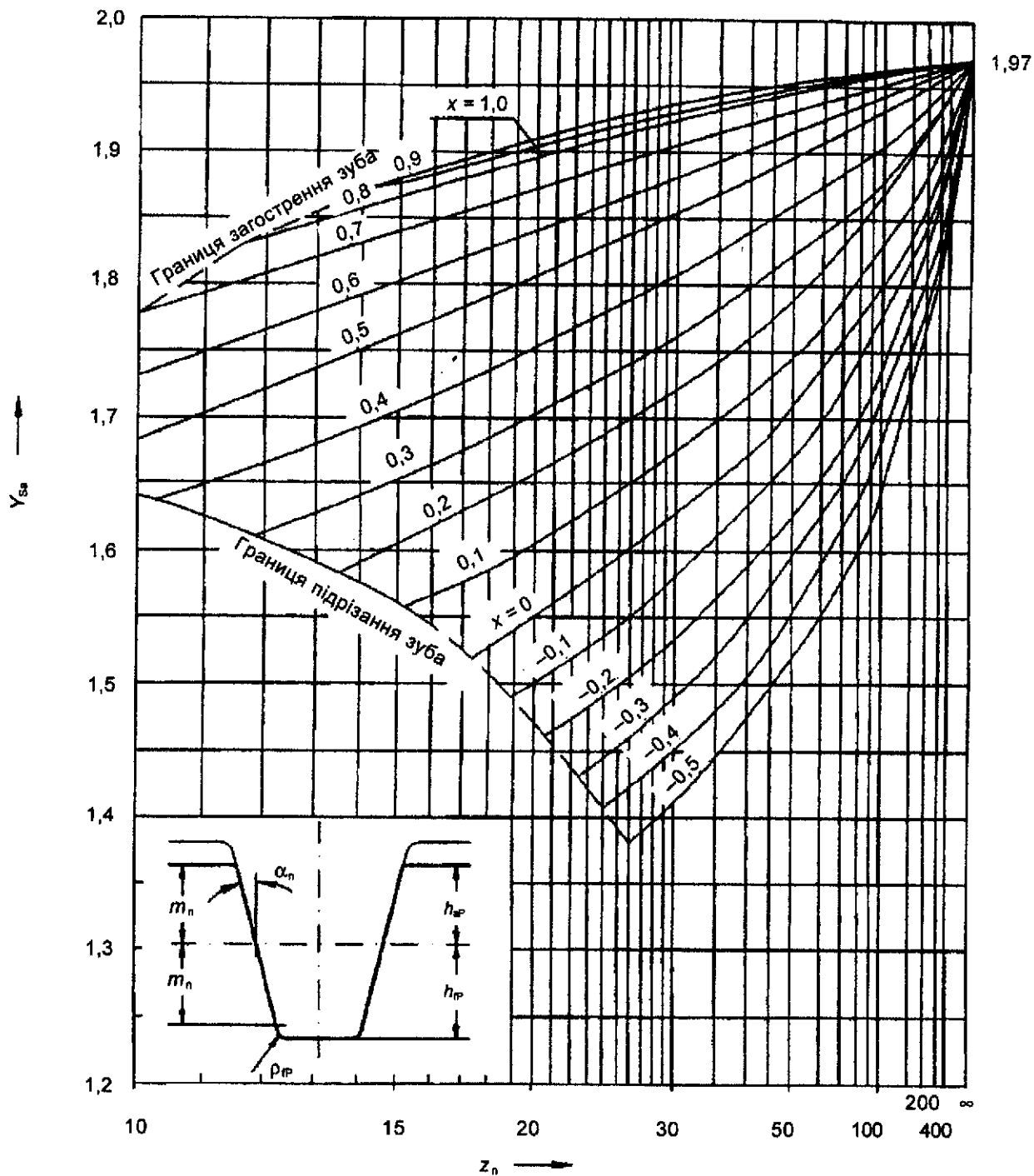
Примітка. Для внутрішнього зачеплення з $\rho_p = 0,15m_n$ (формула 34) і висотою зуба $h_{ip} = 1,25m_n$; $h_{ep} = 1,0m_n$; $Y_{sa} = 2,65$.

Рисунок 25 — Поправковий коефіцієнт напруження Y_{sa} для зовнішнього зачеплення з основним профілем вихідного контуру: $\alpha_n = 20^\circ$; $h_{ep}/m_n = 1,0$; $h_{ip}/m_n = 1,25$; $\rho_{ip}/m_n = 0,25$



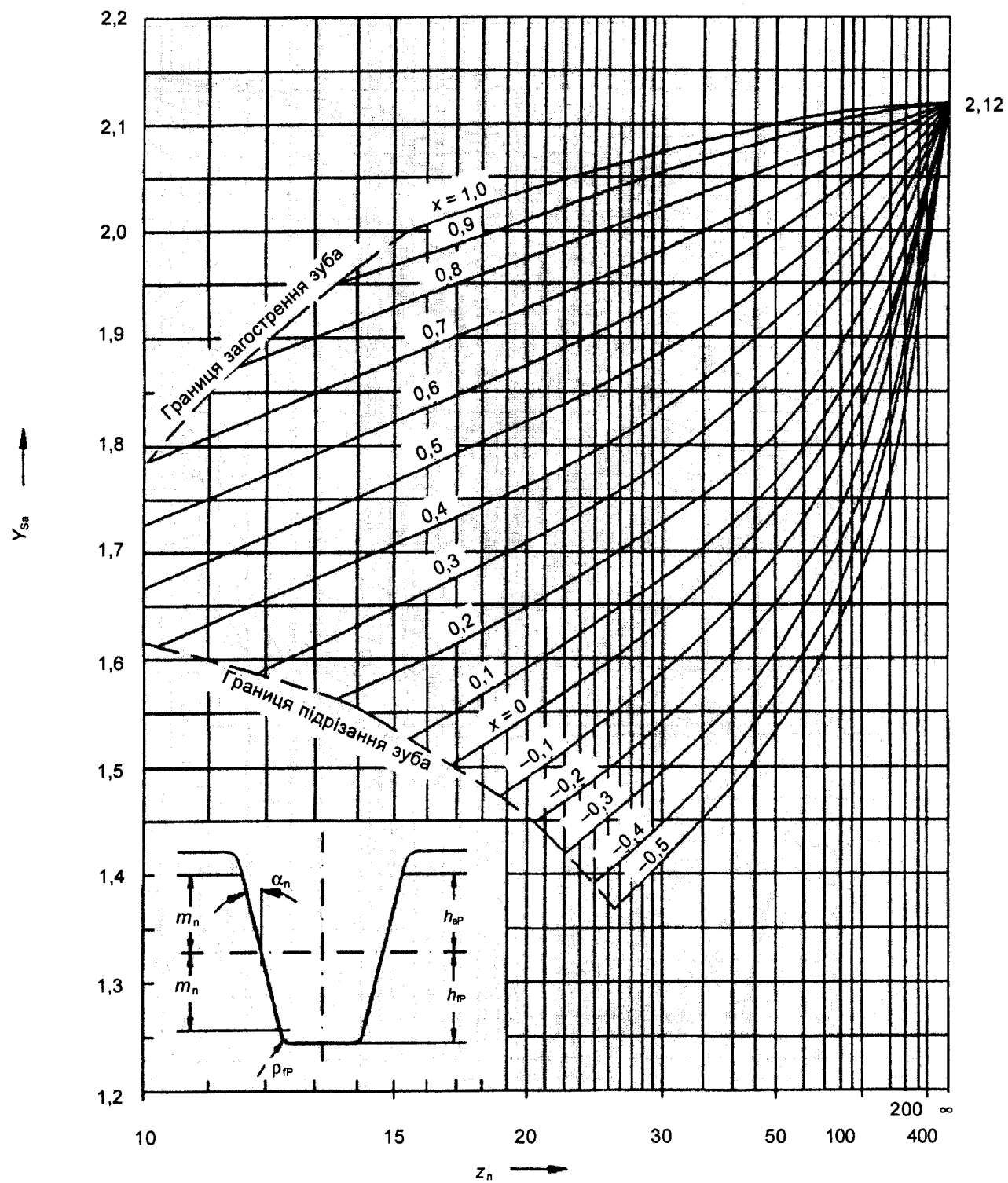
Примітка. Для внутрішнього зачеплення з $\rho_{ip} = 0,15m_n$ (формула 34) і висотою зуба $h_{ip} = 1,25m_n$; $h_{ap} = 1,0m_n$; $Y_{sa} = 2,65$.

Рисунок 26 — Поправковий коефіцієнт напруження Y_{sa} для зовнішнього зачеплення з основним профілем вихідного контуру: $\alpha_n = 20^\circ$; $h_{ap}/m_n = 1,0$; $h_{ip}/m_n = 1,25$; $\rho_{ip}/m_n = 0,3$



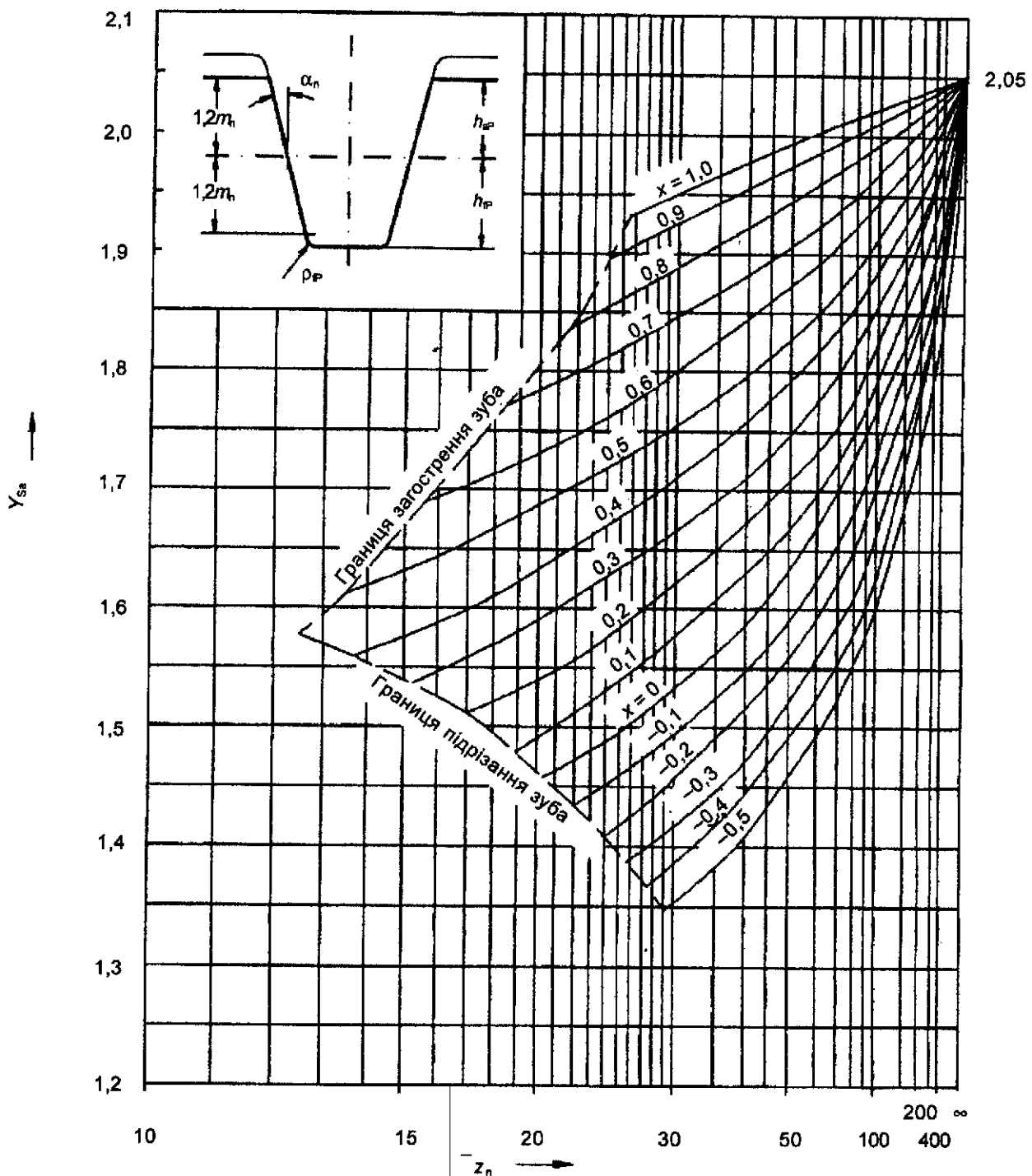
Примітка. Для внутрішнього зачеплення з $\rho_F = 0,15m_n$ (формула 34) і висотою зуба $h_{rp} = 1,25m_n$; $h_{ap} = 1,0m_n$; $Y_{sa} = 2,65$.

Рисунок 27 — Поправковий коефіцієнт напруження Y_{sa} для зовнішнього зачеплення з основним профілем вихідного контуру: $\alpha_n = 20^\circ$; $h_{ap}/m_n = 1,0$; $h_{rp}/m_n = 1,25$; $\rho_{rp}/m_n = 0,375$



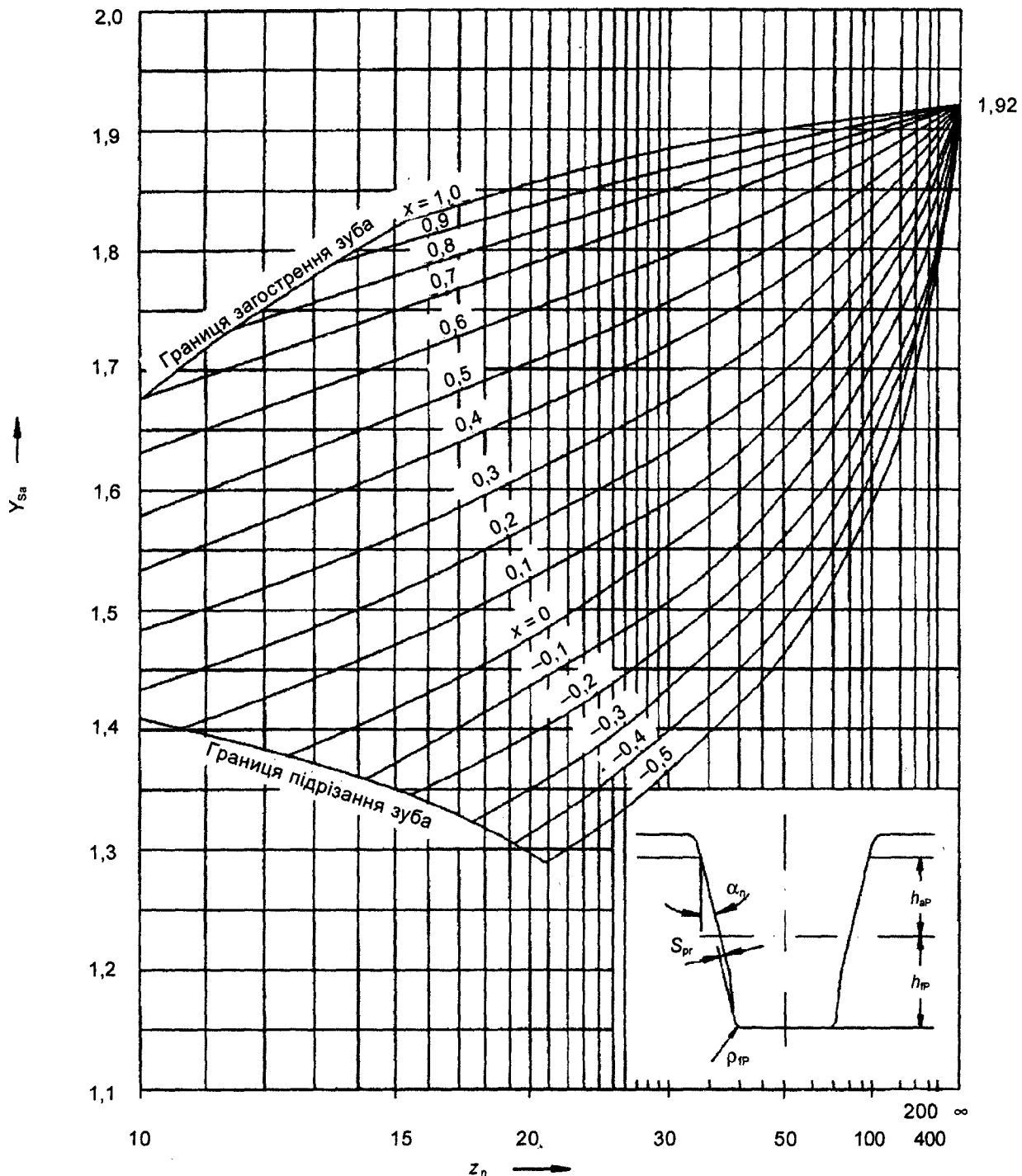
Примітка. Для внутрішнього зачеплення з $\rho_f = 0,15m_n$ (формула 34) і висотою зуба $h_{fp} = 1,35m_n$; $h_{ap} = 1,0m_n$; $Y_{sa} = 2,65$.

Рисунок 28 — Поправковий коефіцієнт напруження Y_{sa} для зовнішнього зачеплення з основним профілем вихідного контуру: $\alpha_n = 20^\circ$; $h_{ap}/m_n = 1,0$; $h_{fp}/m_n = 1,35$; $\rho_{fp}/m_n = 0,3$



Примітка. Для внутрішнього зачеплення з $\rho_F = 0,15m_n$ (формула 34) і висотою зуба $h_{ip} = 1,5m_n$; $h_{sp} = 1,2m_n$; $Y_{sa} = 2,52$.

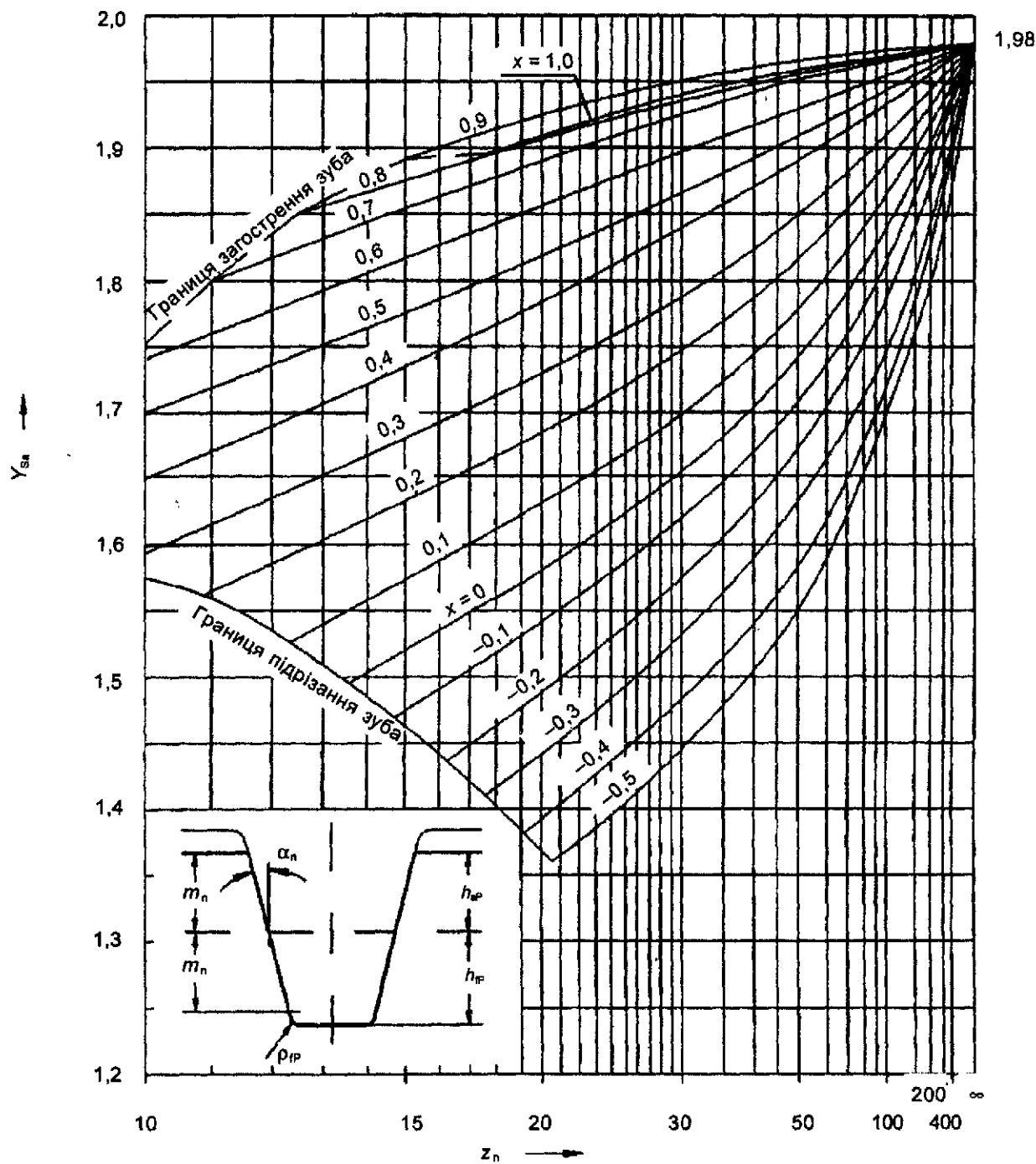
Рисунок 29 — Поправковий коефіцієнт напруження Y_{sa} для зовнішнього зачеплення з основним профілем вихідного контуру: $\alpha_n = 20^\circ$; $h_{sp}/m_n = 1,2$; $h_{ip}/m_n = 1,5$; $\rho_F/m_n = 0,3$



Примітка 1. Немає даних для внутрішнього зачеплення (підрізання ніжки).

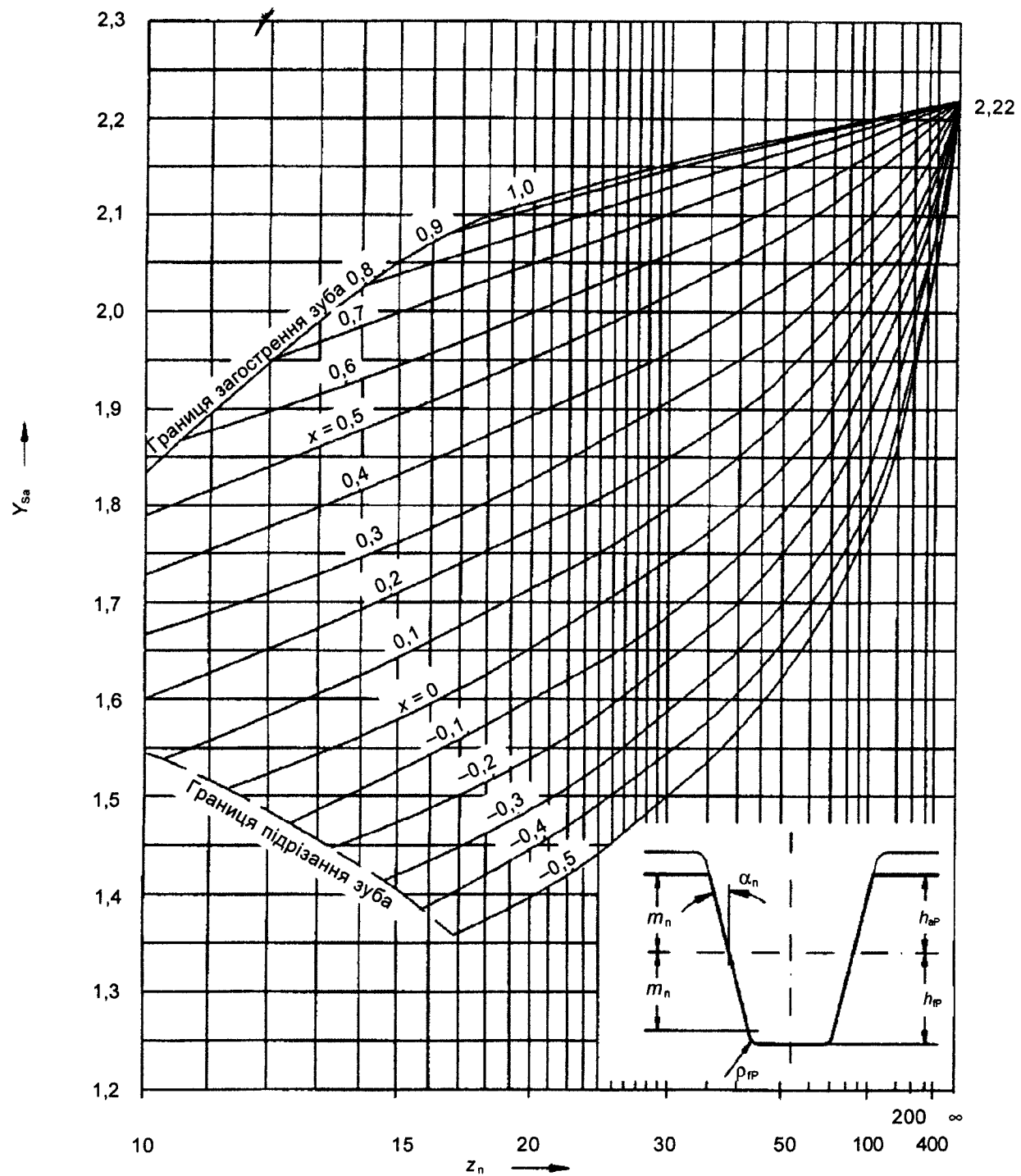
Примітка 2. Менші значення s_{pr} спільні з більшими модулями. Див. також рисунок 2.

Рисунок 30 — Поправковий коефіцієнт напруження Y_{sa} для зовнішнього зачеплення з основним профілем вихідного контуру: $\alpha_n = 20^\circ$; $h_{ap}/m_n = 1,0$; $h_{ip}/m_n = 1,4$; $\rho_{ip}/m_n = 0,4$; $s_{pr} = 0,02 m_n$



Примітка. Для внутрішнього зачеплення з $\rho_F = 0,15m_n$ (формула 34) і висотою зуба $h_{ap} = 1,25m_n$; $h_{ap} = 1,0m_n$; $Y_{sa} = 2,76$.

Рисунок 31 — Поправковий коефіцієнт напружень Y_{sa} для зовнішнього зачеплення з основним профілем вихідного контуру: $\alpha_n = 22,5^\circ$; $h_{ap}/m_n = 1,0$; $h_{ap}/m_n = 1,25$; $\rho_{ap}/m_n = 0,4$



Примітка. Для внутрішнього зачеплення з $\rho_F = 0,15m_n$ (формула 34) і висотою зуба $h_{ip} = 1,25m_n$; $h_{ap} = 1,0m_n$; $Y_{sa} = 2,87$.

Рисунок 32 — Поправковий коефіцієнт напружень Y_{sa} для зовнішнього зачеплення з основним профілем вихідного контуру: $\alpha_n = 25^\circ$; $h_{ap}/m_n = 1,0$; $h_{ip}/m_n = 1,25$; $\rho_{ip}/m_n = 0,318$

6.4 Поправкові коефіцієнти напруження для зубчастих передач з піднутреннями в переходних кривих⁵⁾

Піднутрення, таке як піднутрення для шліфування в переходній кривій зубчастого колеса близько критичного перерізу, звичайно породжує рівень концентрації напруження, що перевищує напруження в переходній кривій і таким чином поправковий коефіцієнт напруження відповідно більший. Непогана оцінка Y_{Sg} , отримана із формулі (53), може бути представлена для Y_s , подібно Y_{Sag} із формулі (54) може бути представлено для Y_{Sa} , див. рисунок 33.

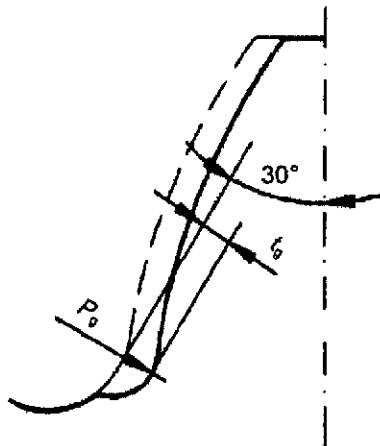


Рисунок 33 — Розміри піднутрення

$$Y_{Sg} = \frac{1,3 Y_s}{1,3 - 0,6 \sqrt{\frac{t_g}{P_g}}}; \quad (53)$$

$$Y_{Sag} = \frac{1,3 Y_{Sa}}{1,3 - 0,6 \sqrt{\frac{t_g}{P_g}}}, \quad (54)$$

чинно для $0 < \sqrt{\frac{t_g}{P_g}}$.

Вплив піднутрення для шліфування менший від того, що зазначений у формулі (53) або (54), коли піднутрення знаходиться понад контактною точкою 30-градусної дотичної.

Y_{Sg} і Y_{Sag} також враховують зменшення товщини ніжки зуба.

Глибокі піднутрення в переходних кривих поверхнево-прогартованих стальних зубчастих колесах серйозно зменшують міцність на згинання їх зубців.

6.5 Поправковий коефіцієнт напруження Y_{St} стандартних базових випробуваніх зубчастих коліс⁶⁾

Границні значення напруження згинання для матеріалів, які наведені в ISO 6336-5, були виведені з результатів випробувань стандартних базових випробуваніх зубчастих коліс, для яких $Y_{St} = 2,0$, або результати випробувань були перераховані до цієї величини.

7 КОЕФІЦІЕНТ, ЩО ВРАХОВУЄ ВПЛИВ ПЕРЕКРИТТЯ ЗУБЦІВ Y_e

Y_e треба визначати тільки для номінального напруження згинання σ_{F0-C} , використовуючи метод С.

Напруження розраховують, використовуючи коефіцієнт форми зуба Y_{Fa} і поправковий коефіцієнт напруження Y_{Sa} за прикладення навантаження на вершині зуба, перетворюють за допомогою Y_e приблизно до того значення, що властиве визначальному положенню прикладення навантаження, тобто зовнішній точці однопарного зачеплення⁸⁾.

7.1 Графічні значення величини

Y_e можна взяти з рисунка 34 як функцію коефіцієнта торцевого перекриття ε_a і кута нахилу лінії зуба β .

⁵⁾ Püchner, O; Kamenski, A. Spannungskonzentration von Kerben im Kerbrand, Konstruktion 24 (1972), pp. 127—134.

⁶⁾ Будь-яке зменшення коефіцієнта перекриття внаслідок зрізання вершин або зняття фасок захтуване. Див. 5.3.1.1 щодо подальшої інформації.

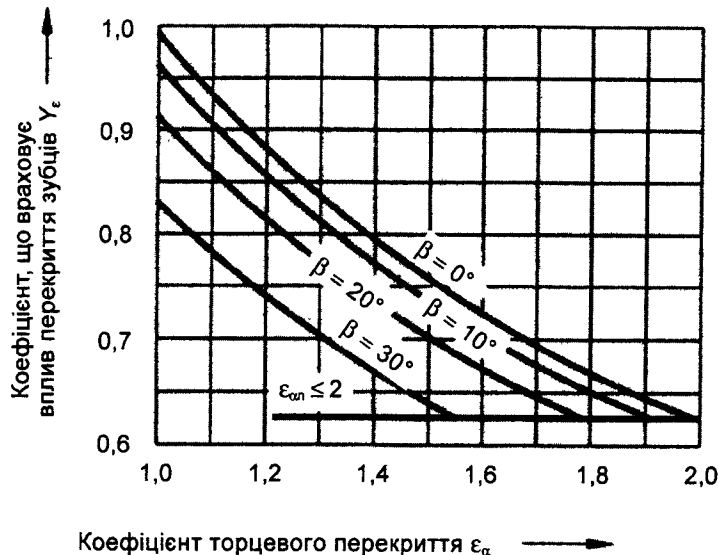


Рисунок 34 — Коефіцієнт, що враховує вплив перекриття зубців (згинання) Y_e для $\alpha_n = 20^\circ$

7.2 Визначення розрахуванням

$$Y_e = 0,25 + \frac{0,75}{\epsilon_{\alpha n}}, \quad (55)$$

де $\epsilon_{\alpha n}$ виведено з формули (21).

8 КОЕФІЦІЕНТ, ЩО ВРАХОВУЄ ВПЛИВ НАХИЛУ ЛІНІЇ ЗУБА Y_β

Напруження згинання еквівалентної прямозубої передачі, розраховане як попереднє значення, перетворюється за допомогою коефіцієнта нахилу Y_β в напруження, що відповідає косозубій передачі. За цим способом враховується похила орієнтація лінії контакту зачеплення (менше напруження згинання).

8.1 Графічні значення величин

Y_β можна взяти з рисунка 35 як функцію кута нахилу лінії зуба β і коефіцієнта осьового перекриття ϵ_β .

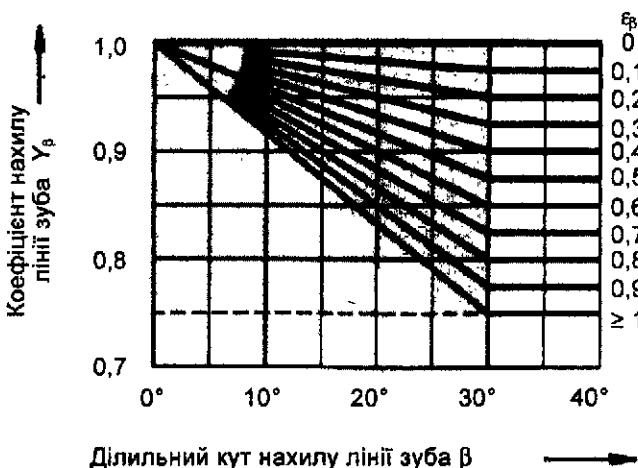
8.2 Визначення розрахуванням

Коефіцієнт Y_β можна розрахувати, використовуючи формулу (56), яка узгоджується з кривими, проілюстрованими на рисунку 35.

$$Y_\beta = 1 - \epsilon_\beta \frac{\beta}{120^\circ}, \quad (56)$$

де β — дільниий кут нахилу лінії зуба, в градусах.

Значення 1,0 підставляється для ϵ_β , коли $\epsilon_\beta > 1,0$, і 30° підставляється для β , коли $\beta > 30^\circ$.

Рисунок 35 — Коефіцієнт нахилу лінії зуба Y_β

9 БАЗОВЕ НАПРУЖЕННЯ ЗГИНАННЯ

Див. 4.2 щодо загальних приміток з визначення граничних значень напружень згинання. Метод А узгоджується з визначенням базового напруження згинання, як описано в 4.2.1 а).

9.1 Базове напруження зі значеннями $\sigma_{F\lim}$ і σ_{FE} для методів В, С і (D)

Див. 4.2.1 б) і 4.2.2 щодо інформації. Див. формулу (4) для визначення $\sigma_{F\lim}$ і σ_{FE} . ISO 6336-5 подає інформацію, виведену з результатів випробовування стандартних базових зубчастих коліс, про значення $\sigma_{F\lim}$ і σ_{FE} для найбільш застосовних матеріалів зубчастих коліс, процесів термооброблення і впливу якості матеріалу на значення цих величин. ISO 6336-5 охоплює також вимоги до ступенів якості ML, MQ, ME і MX, що стосуються матеріалу і термооброблення. Звичайно для зубчастих передач вибирають ступінь якості матеріалу MQ, якщо інакше не обумовлено.

9.2 Базове напруження зі значеннями $\sigma_{k\lim}$ і $\sigma_{p\lim}$ для методів B_k , C_k , (D_k) і B_p , C_p і (D_p)

Звертайтеся до 4.2.1 д) і е) щодо інформації про значення цих величин. Значення напруження згинання $\sigma_{k\lim}$ і $\sigma_{p\lim}$ виводяться із результатів випробувань на пульсаторі згинання зразків з піднутренням або гладеньких, або можуть бути знайдені в літературі.

10 КОЕФІЦІЄНТ ДОВГОВІЧНОСТІ Y_{NT}

Коефіцієнт довговічності Y_{NT} враховує найвище напруження згинання, яке може бути допустиме для обмеженої довговічності (кількості циклів навантаження) в порівнянні з допустимим напруженням при $3 \cdot 10^6$ циклах.

Головні чинники впливу:

- матеріал і термооброблення (див. ISO 6336-5);
- кількість циклів навантаження (строк служби) N_L ;
- критерій відмови;
- необхідна плавність роботи;
- чистота матеріалу зубчатого колеса;
- пружність матеріалу й ударна в'язкість;
- залишкове напруження.

Для цілей цієї частини стандарту кількість циклів навантаження N_L визначено як кількість контактів зачеплення під навантаженням зуба аналізованого зубчастого колеса. Допустимі значення напруження встановлюються для $3 \cdot 10^6$ циклів навантаження зуба за 99-відсоткової надійності.

Значення Y_{NT} , що дорівнює одиниці, можна використовувати, якщо це віправдано досвідом, понад $3 \cdot 10^6$ циклів. Проте повинно бути обмірковане використання оптимальної якості матеріалу і виготовлення з вибором придатного коефіцієнта безпеки.

10.1 Коефіцієнт довговічності Y_{NT} : метод А

Крива S—N або крива пошкоджень, виведена з точних копій фактичного зубчастого колеса, визначальна для встановлення обмеженої довговічності. Через те, що за таких обставин коефіцієнти $Y_{\delta rel T}$, $Y_{R rel T}$ і Y_X в дійсності вже включені в криві S—N або пошкоджень, то значення 1,0 підставляється для цих коефіцієнтів під час розрахування допустимого напруження.

10.2 Коефіцієнт довговічності Y_{NT} : метод В

Для цього методу коефіцієнт довговічності Y_{NT} стандартного базового випробуваного зубчастого колеса використовується як допомога в оціненні допустимого напруження для обмеженої довговічності або ймовірності відмови (див. 4.2).

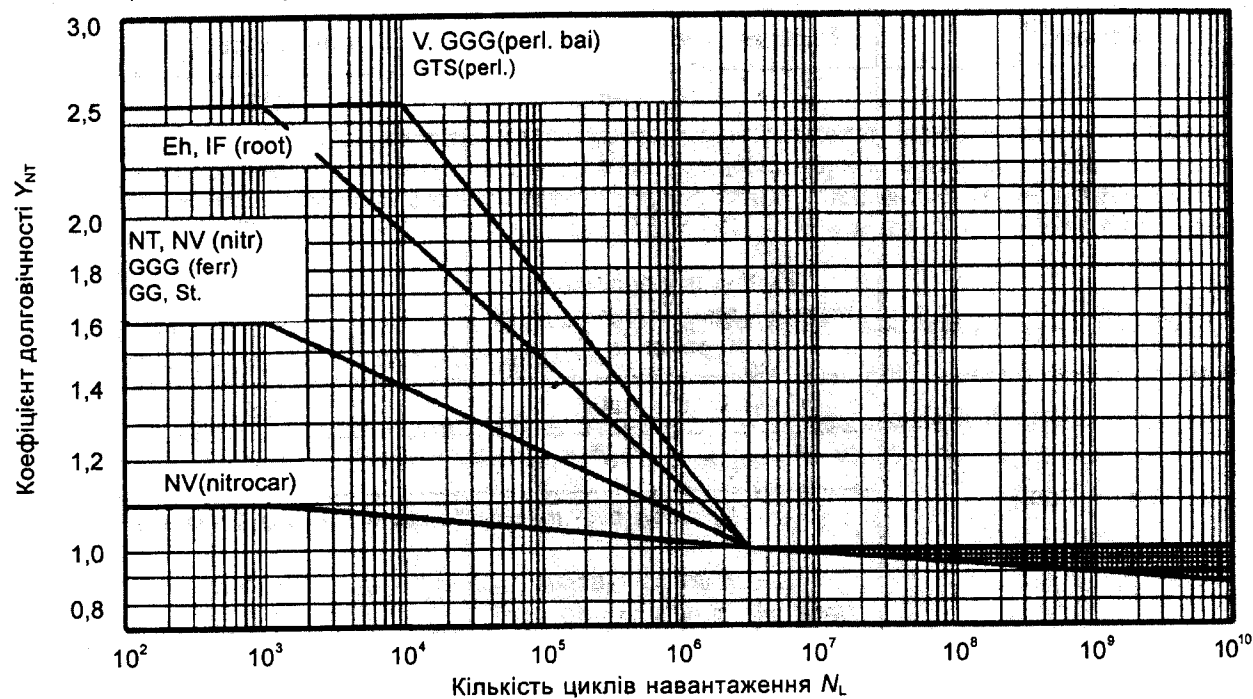
10.2.1 Графічні значення величин

Y_{NT} можна взяти з рисунка 36 для статичного напруження і базового напруження як функцію матеріала й термооброблення. Значення з великої кількості випробувань представлені як типові криві пошкоджень, або криві початкової тріщини для поверхневопрогартованих і азотованих сталей, або криві напружень, що обумовлюють текучість для конструкційних і наскрізнопрогартованих сталей.

10.2.2 Визначення розрахуванням

Дані Y_{NT} для статичного й базового напруження можна взяти з таблиці 1. Познаки, що представляють матеріали, наведені на рисунку 36.

Коефіцієнт довговічності Y_{NT} для напруження обмеженої довговічності визначають за допомогою інтерполяції між значеннями для базового і статичного граничних напружень, як визначено в 4.2.2. Оцінення коефіцієнта довговічності Y_{NT} описане в 4.2.3.



Примітка. Рівні напружень понад допустимі для 10^3 циклів потрібно уникати через те, що напруження в цьому діапазоні можуть перевищити межу пружності зуба передачі.

St:	Сталь ($\sigma_b < 800 \text{ Н}/\text{мм}^2$)
V:	Наскрізнопрогартована сталь ($\sigma_b \geq 800 \text{ Н}/\text{мм}^2$)
GG:	Сірий чавун
GGG (perl., bai., ferr.):	Чавун з кулястим графітом (перлітна, бейнітна, ферітна структура)
GTS (perl.):	Чорний чавун з лускоподібним графітом (перлітна структура)
Eh:	Поверхневопрогартована сталь
IF:	Сталь і чавун GGG, загартування полум'ям або індукційне
NT (nitr.):	Азотована сталь
NV (nitr.):	Наскрізнопрогартована і поверхневопрогартована сталь, азотована сталь
NV (nitrocar.):	Наскрізнопрогартована і поверхневопрогартована сталь, нітроцементована сталь

Рисунок 36 — Коефіцієнт довговічності Y_{NT} (для стандартних базових випробуваних зубчастих коліс)

Таблиця 1 — Коефіцієнт довговічності Y_{NT}

Матеріал ¹⁾	Кількість циклів навантаження N_L	Коефіцієнт довговічності Y_{NT}
V, GGG (perl. bai.), GTS (perl.)	$N_L \leq 10^4$, статичне	2,5
	$N_L = 3 \cdot 10^6$	1,0
	$N_L = 10^{10}$ Оптимальні умови; матеріал, виготовлення і досвід	0,85 1,0
Eh, IF (ніжка)	$N_L \leq 10^3$, статичне	2,5
	$N_L = 3 \cdot 10^6$	1,0
	$N_L = 10^{10}$ Оптимальні умови; матеріал, виготовлення і досвід	0,85 1,0
St, NT, NV (nitr.), GG, GGG (ferr.)	$N_L \leq 10^3$, статичне	1,6
	$N_L = 3 \cdot 10^6$	1,0
	$N_L = 10^{10}$ Оптимальні умови; матеріал, виготовлення і досвід	0,85 1,0
NV (nitrocar.)	$N_L \leq 10^3$, статичне	1,1
	$N_L = 3 \cdot 10^6$	1,0
	$N_L = 10^{10}$ Оптимальні умови; матеріал, виготовлення і досвід	0,85 1,0

¹⁾ Див. рисунок 36 для пояснення вживаних скорочень.

11 КОЕФІЦІЕНТИ ЧУТЛИВОСТІ Y_δ , $Y_{\delta T}$, $Y_{\delta k}$ І ВІДНОСНІ КОЕФІЦІЕНТИ ЧУТЛИВОСТІ ДО НАДРІЗУ $Y_{\delta rel T}$, $Y_{\delta rel k}$

11.1 Основні використання

Ступінь, до якого, як вважають, розраховане напруження згинання спричинить втому або злом зуба від перенавантаження, перевищить відповідну межу напруження матеріалу, позначають коефіцієнтом динамічної або статичної чутливості Y_δ . Він характеризує чутливість до надрізу матеріалу, і його значення залежать від матеріалу і градієнту напруження. Його значення для динамічних напружень відрізняються від його значень для статичного напруження.

Вищезазначене застосовується в $Y_{\delta k}$ відносно злому випробуваного зразка з надрізом і в $Y_{\delta T}$ відносно злому зуба стандартного базового випробуваного зубчастого колеса.

Вищезазначене застосовується також до відносних коефіцієнтів чутливості, які пов'язують чутливість розглядуваного зубчастого колеса зі стандартним базовим випробуванням зубчастим колесом ($Y_{\delta rel T}$) або випробуваним зразком з надрізом ($Y_{\delta rel k}$).

11.2 Визначення коефіцієнтів чутливості

У правилах застосовуються коментарі до цих коефіцієнтів, що наведені в 4.2.

a) Метод А

Границі напруження згинання визначаються випробовуванням точних колій розглядуваного зубчастого колеса (або найближче подібних випробуваних зубчастих коліс), у цьому випадку відносний коефіцієнт чутливості дорівнює 1,0. Методика, за допомогою якої встановлюють відносний коефіцієнт чутливості для відповідного матеріалу і відповідної форми зуба, має бути узгоджена.

b) Метод В

Коли граничні значення базових і граничних напружень отримують за методом В, використовуючи випробувані зубчасті передачі з параметрами піднутрення $q_{st} = 2,5$, коефіцієнт $Y_{\delta rel T}$, відповідний до границь базових і статичних напружень будь-якого зубчастого колеса, рідко значно відхиляється від 1,0. Це тому, що значення $q_{st} = 2,5$ знаходиться в середньому діапазоні загальних конструкцій зубчастих коліс. Базове значення величини $Y_{\delta rel T} = 1,0$ для стандартного базового випробуваного зубчастого колеса збігається з поправковим коефіцієнтом напружень $Y_s = 2,0$ (див. рисунки 38 і 40).

c) Методи С і D

Метод С виведений із методу В. Як показано на рисунку 38, значення 1,0 можна підставити замість $Y_{\delta rel T}$ для загальнозважених сталей і процесів термооброблення в широкому діапазоні параметра надрізу. Значення величин, розраховані з цією підстановкою, порівняно безпечні для малих переходних кривих, коли $q_s \geq 2,5$, але надмірні для великих переходних кривих. Наприклад, коли q_s менше від 2,5, то значення $Y_{\delta rel T}$ для сталі буде надто високе, вище на 5 %.

Вищезазначене застосовується тільки до розрахунків статичного напруження для вузького діапазону поправкових коефіцієнтів напружень Y_s близько значення 2,0. Значення $Y_{\delta rel T}$, отримане за методом С, загалом використовується, коли пов'язаний поправковий коефіцієнт напружень також отриманий за методом С, тобто коефіцієнт Y_{sa} . Значення добутку $Y_{sa} \cdot 1,3$ можна використовувати як середнє значення Y_s , яке може тоді бути використане, щоб отримати з рисунка 38 значення $Y_{\delta rel T}$, пропорційне Y_{sa} .

В методі D постійне значення 1,0 підставляється в $Y_{\delta rel T}$, за таких обставин розраховані значення порівняно безпечні.

d) Методи B_k і C_k

Через те, що за методами B_k і C_k значення міцності матеріалу виведені із випробувань зразків з надрізом, чим більше значення q_{sk} зразка з надрізом наближається до такого значення розглядуваного зубчастого колеса, тим більше значення $Y_{\delta rel k}$ наближається до 1,0. Отже в методі С можливо за даних обставин підставити постійну в $Y_{\delta rel k}$. Це особливо правильно у випадку розрахунків базового напруження.

e) Методи B_p і C_p

Через те, що за методами B_p і C_p значення міцності матеріалу виведені з випробувань гладеньких, полірованих зразків, треба, щоб у цих методах використовувався абсолютний коефіцієнт чутливості Y_δ . Як можна побачити на рисунку 37, коли значення 1,0 підставлене в Y_δ , базові значення величин, розраховані за методом С, мають тенденцію бути порівняно безпечними і, як також можна бачити на рисунку 39, це також застосовується для значень статичного напруження, але для звичайних значень параметра надрізу ($Y_s = 2,0$) і малої переходної кривої ($Y_s > 2,0$) здатність до перенавантаження матеріалів, чутливих до надрізу, не буде повністю реалізована через цю підстановку.

11.3 Відносний коефіцієнт чутливості до надрізу $Y_{\delta rel T}$: метод В**11.3.1 Графічні значення величин****11.3.1.1 $Y_{\delta rel T}$ для базового напруження**

$Y_{\delta rel T}$ можна взяти з рисунка 37 як функцію q_s або Y_{sa} і матеріалу. Криві на цьому графіку для кожного з матеріалів виведені з рисунка 39 відніманням із абсолютноного значення величини Y_δ , властивого для кожного значення q_s , значення $Y_{\delta T}$ для того матеріалу, що відповідає параметру піднутрення $q_s = 2,5$ (параметр піднутрення стандартного базового випробуваного зубчастого колеса). Для будь-якого розглядуваного зубчастого колеса q_s можна розрахувати, використовуючи формулу (50), і Y_{sa} можна отримати з рисунків 25—32.

11.3.1.2 $Y_{\delta rel T}$ для статичного напруження

$Y_{\delta rel T}$ можна взяти з рисунка 38 як функцію поправкового коефіцієнта напружень Y_s і матеріалу. Криві на цьому графіку для кожного з матеріалів виведені з рисунка 40 відніманням із абсолютноного значення величини Y_δ , властивого для кожного значення Y_s , значення $Y_{\delta T}$ для того матеріалу, що відповідає $Y_{st} = 2,0$ (поправковий коефіцієнт напружень стандартного базового випробуваного зубчастого колеса). Для будь-якого розглядуваного зубчастого колеса Y_s можна розрахувати, використовуючи формулу (48). Наближені величини Y_s можна також отримати з нижчого

графіка на рисунку 38 як функцію $Y_{\delta a}$ і ε_{ap} ; вони також можуть бути розраховані, використовуючи вираз внизу під графіками.

11.3.1.3 $Y_{\delta rel T}$ для обмеженої довговічності

$Y_{\delta rel T}$ визначається лінійною інтерполяцією у подвійній логарифмічній шкалі між значеннями базового напруження і статичного напруження, визначених згідно з а) і б). Ці формулювання включені у визначення допустимого напруження для обмеженої довговічності, що вказано в 4.2.3 а).

11.3.2 Визначення розрахуванням

11.3.2.1 $Y_{\delta rel T}$ для базового напруження

$Y_{\delta rel T}$ можна обчислити, використовуючи формулу (57). Це узгоджується з кривими на рисунку 37

$$Y_{\delta rel T} = \frac{Y_\delta}{Y_{\delta T}} = \frac{1 + \sqrt{\rho' \chi'}}{1 + \sqrt{\rho' \chi_T'}} \quad (57)$$

Товщину шару ковзання ρ' можна взяти з таблиці 2 як функцію матеріалу.

Відносний градієнт напружень можна розрахувати, використовуючи формулу (58)⁷⁾:

$$\chi' = \chi_P' (1 + 2q_s) \quad (58)$$

$$3 \chi_P' = \frac{1}{5}$$

Значення χ_T' для стандартного базового випробуваного зубчастого колеса отримане аналогічно підстановкою $q_{sT} = 2,5$ для q_s у формулі (50).

Таблиця 2 — Значення товщини шару ковзання ρ'

№ п/п	Матеріал ¹⁾	ρ' мм
1	GG $s_B = 150 \text{ Н/мм}^2$	0,3124
2	GG, GGG (ferr), $\sigma_B = 300 \text{ Н/мм}^2$	0,3095
3	NT, NV, для будь-якої твердості	0,1005
4	St, $\sigma_s = 300 \text{ Н/мм}^2$	0,0833
5	St; $\sigma_s = 400 \text{ Н/мм}^2$	0,0445
6	V, GTS, GGG (perl. bai); $\sigma_s = 500 \text{ Н/мм}^2$	0,0281
7	V, GTS, GGG (perl. bai.); $\sigma_s = 600 \text{ Н/мм}^2$	0,0194
8	V, GTS, GGG (perl. bai.); $\sigma_{0,2} = 800 \text{ Н/мм}^2$	0,0064
9	V, GTS, GGG (perl. bai.); $\sigma_{0,2} = 1000 \text{ Н/мм}^2$	0,0014
10	Eh, IF(ніжка); для будь-якої твердості	0,0030

¹⁾ Див рисунок 37 для пояснення вживаних скорочень

11.3.2.2 $Y_{\delta rel T}$ для статичного напруження

$Y_{\delta rel T}$ можна обчислити, використовуючи формули (59)–(63). Вони узгоджуються з кривими на рисунку 38 (див. рисунок 37 щодо використовуваних познак)⁸⁾.

⁷⁾ Застосовується для модуля $m = 5 \text{ мм}$. Вплив розміру охоплюється коефіцієнтом Y_X (див. розділ 13).

⁸⁾ Наблизені значення Y_s можна отримати із Y_{sa} використовуючи нижній графік на рисунку 38.

а) Для сталі з добре визначеною точкою границі текучості, St:

$$Y_{\delta \text{relT}} = \frac{1 + 0,93(Y_s - 1) \sqrt{\frac{200}{\sigma_s}}}{1 + 0,93 \sqrt{\frac{200}{\sigma_s}}}; \quad (59)$$

б) Для сталі з постійно зростаючою кривою розтягнення і 0,2 % межею текучості, сталь V і чавун GGG (perl., bai.):

$$Y_{\delta \text{relT}} = \frac{1 + 0,82(Y_s - 1) \sqrt{\frac{300}{\sigma_{0,2}}}}{1 + 0,82 \sqrt{\frac{300}{\sigma_{0,2}}}}; \quad (60)$$

с) Для сталі Eh і IF (ніжка) з напруженням до ініціювання тріщини:

$$Y_{\delta \text{relT}} = 0,44Y_s + 0,12; \quad (61)$$

д) Для сталі NT і NV з напруженням до ініціювання тріщини:

$$Y_{\delta \text{relT}} = 0,20Y_s + 0,60; \quad (62)$$

е) Для чавуну GG і GGG (ferr.) з напруженням до границі злому:

$$Y_{\delta \text{relT}} = 1,0. \quad (63)$$

11.3.2.3 $Y_{\delta \text{relT}}$ для обмеженої довговічності

$Y_{\delta \text{relT}}$ для цих умов визначається як описано в 11.3.1.3.

11.4 Відносний коефіцієнт чутливості до надрізу $Y_{\delta \text{relT}}$: методи С і D

11.4.1 Метод С

11.4.1.1 $Y_{\delta \text{relT}}$ для базового напруження

Згідно з рисунком 37 значення 1,0 можна підставити в $Y_{\delta \text{relT}}$ для зубчастих коліс з q_s не менше від 1,5. З цією підстановкою, коли q_s перевищує 2,5, розраховані значення порівняно безпечні. Зменшення коефіцієнта динамічної чутливості як результат нерівномірностей в матеріалі, термообробки і обробки, компенсує загалом ефекти цього спрощення.

Для сталевих зубчастих коліс, у яких $q_s < 1,5$, згідно з рисунком 37, значення 0,95 може бути підставлене в $Y_{\delta \text{relT}}$.

Межі для q_s нанесені на рисунках 17—24.

11.4.1.2 $Y_{\delta \text{relT}}$ для статичного напруження

На основі припущення, встановлених в 11.2 с), $Y_{\delta \text{relT}}$ можна обчислити так (див. рисунок 37 щодо визначення скорочень):

а) Для St, GGG (perl., bai), V, Eh і IF (ніжка):

$$Y_{\delta \text{relT}} = 0,52Y_{Sa} + 0,20; \quad (64)$$

б) Для NT і NV:

$$Y_{\delta \text{relT}} = 0,26Y_{Sa} + 0,60; \quad (65)$$

с) GG і GGG (ferr.):

$$Y_{\delta \text{relT}} = 1,0. \quad (66)$$

11.4.1.3 $Y_{\delta \text{relT}}$ для обмеженої довговічності

$Y_{\delta \text{relT}}$ для цих умов визначається як описано в 11.3.1.3.

11.4.2 Метод D

У цьому методі значення величини $Y_{\delta \text{relT}} = 1,0$ прийняте для базового напруження, статичного напруження і обмеженої довговічності для всіх матеріалів зубчастих коліс. З $q_s \geq 1,5$ і $Y_{Sa} > 1,8$ обчислені значення порівняно безпечні. Коли $Y_{Sa} < 1,8$, то значення 0,8 підставляється в $Y_{\delta \text{relT}}$.

11.5 Відносний коефіцієнт чутливості до надрізу $Y_{\delta \text{rel} k}$: метод B_k

11.5.1 Графічні значення величин

11.5.1.1 $Y_{\delta \text{rel} k}$ для базового напруження

Y_δ для розглядуваного зубчастого колеса і Y_{sk} для зразка з надрізом беруться з рисунка 39 як функція q_s (для зубчастого колеса), q_{sk} (для зразка) і відповідного матеріалу. Ці значення підставляються в формулу (67), щоб отримати $Y_{\delta \text{rel} k}$.

$$Y_{\delta \text{rel} k} = \frac{Y_\delta}{Y_{sk}}. \quad (67)$$

11.5.1.2 $Y_{\delta \text{rel} k}$ для статичного напруження

Y_δ для розглядуваного зубчастого колеса і Y_{sk} для зразка з надрізом беруться з рисунка 40 як функція Y_s (для зубчастого колеса), Y_{sk} (для зразка) і відповідного матеріалу. Значення повинні бути підставлені в формулу (67), щоб визначити $Y_{\delta \text{rel} k}$ для статичного напруження. Наближені значення Y_s можна визначити, використовуючи Y_{sa} і ε_{ap} із нижнього графіка на рисунку 40. Значення Y_{sk} поправкового коефіцієнта напружень для зразка з надрізом (відповідного до коефіцієнта форми піднутрення) можна отримати з літератури.

11.5.1.3 $Y_{\delta \text{rel} k}$ для обмеженої довговічності

$Y_{\delta \text{rel} k}$ для цих умов визначають за правилами, які описано в 11.3.1.3.

11.5.2 Визначення розрахуванням

11.5.2.1 $Y_{\delta \text{rel} k}$ для базового напруження

$Y_{\delta \text{rel} k}$ можна обчислити, використовуючи формулу (68) і числові значення величин із таблиці 2:

$$Y_{\delta \text{rel} k} = \frac{Y_\delta}{Y_{sk}} = \frac{1 + \sqrt{\rho' \chi^*}}{1 + \sqrt{\rho' \chi_k^*}}, \quad (68)$$

де χ_k^* , відносний градієнт напружень у ніжці зразка з піднутренням, що випробовується, визначається підстановкою значення q_{sk} зразка в формулу (58) замість q_s .

11.5.2.2 $Y_{\delta \text{rel} k}$ для статичного напруження

Y_δ можна обчислити згідно з 11.7.2.2, Y_{sk} можна обчислити, використовуючи формули (69)–(73), які узгоджуються з кривими на рисунку 40. Підстановка значень двох величин в формулу (67) дасть $Y_{\delta \text{rel} k}$.

а) для сталі з добре визначенютою точкою границі текучості, St:

$$Y_{sk} = 1 + 0,93(Y_{sk} - 1)\sqrt{\frac{200}{\sigma_s}}; \quad (69)$$

б) для сталі з постійно зростаючою кривою розтягнення і 0,2 % границею текучості, сталь V і чавун GGG (perl. bai.):

$$Y_{sk} = 1 + 0,82(Y_{sk} - 1)\sqrt{\frac{300}{\sigma_{0,2}}}; \quad (70)$$

с) для сталі Eh і IF (ніжка) з напруженням до ініціювання тріщини:

$$Y_{sk} = 0,77Y_{sk} + 0,22; \quad (71)$$

д) для сталі NT і NV з напруженням до ініціювання тріщини:

$$Y_{sk} = 0,27Y_{sk} + 0,72; \quad (72)$$

е) для чавуну GG і GGG (ferr.) з напруженням до границі злому:

$$Y_{sk} = 1,0. \quad (73)$$

11.5.2.3 $Y_{\delta \text{rel} k}$ для обмеженої довговічності

$Y_{\delta \text{rel} k}$ для цих умов визначають як описано в 11.3.1.3

11.6 Відносний коефіцієнт чутливості до надрізу $Y_{\delta \text{ rel } k}$: метод С_k

11.6.1 $Y_{\delta \text{ rel } k}$ для базового напруження

$Y_{\delta \text{ rel } k}$ можна встановити рівним 1,0, коли $q_s > q_{sk} - 1$. З цією підстановкою, коли q_s більше від q_{sk} , розраховані величини порівняно безпечні.

11.6.2 $Y_{\delta \text{ rel } k}$ для статичного напруження і обмеженої довговічності

$Y_{\delta \text{ rel } k}$ можна встановити рівним 1,0, коли $Y_s > Y_{sk} - 0,5$, а 0,8 підставляють в $Y_{\delta \text{ rel } k}$, коли $Y_s < Y_{sk} - 0,5$. З цими підстановками розраховані величини звичайно досить безпечні.

11.7 Визначення коефіцієнта чутливості Y_δ : метод В_p

11.7.1 Графічні значення величин

11.7.1.1 Y_δ для базового напруження

Y_δ можна взяти з рисунка 39 як функцію Y_{sa} або q_s і матеріалу, і все відносять до розглядуваного зубчастого колеса.

11.7.1.2 Y_δ для статичного напруження

Y_δ можна взяти з рисунка 40 як функцію Y_s поправкового коефіцієнта напружень і матеріалу розглядуваного зубчастого колеса. Наближені значення Y_s можна отримати з нижнього графіка на рисунку 40 або обчислити.

11.7.1.3 Y_δ для обмеженої довговічності

Y_δ для цих умов визначають за правилами, які описано в 11.3.1.3.

11.7.2 Визначення розрахуванням

11.7.2.1 Y_δ для базового напруження

Y_δ можна обчислити, використовуючи формулу (74) і числові значення величин в таблиці 2:

$$Y_\delta = \frac{1 + \sqrt{\rho' \chi}}{1 + \sqrt{\rho' \chi_p}}. \quad (74)$$

11.7.2.2 Y_δ для статичного напруження

Максимально можливе значення статичного коефіцієнта чутливості дорівнює такому самому значенню поправкового коефіцієнта напруження Y_s . Таке значення буде означати, що матеріал знаходиться в стані повної пластичності. Скорочення визначено на рисунку 37.⁸⁾

а) для сталі з добре визначенюю точкою границі текучості, St:

$$Y_\delta = 1 + 0,93(Y_s - 1)\sqrt{\frac{200}{\sigma_s}}; \quad (75)$$

б) для сталі з постійною зростаючою кривою розтягнення і 0,2 % межею текучості, сталь V і чавун GGG (perl., bai.):

$$Y_\delta = 1 + 0,82(Y_s - 1)\sqrt{\frac{300}{\sigma_{0,2}}}; \quad (76)$$

с) для сталі Eh і IF (ніжка) з напруженням до ініціювання тріщини:

$$Y_\delta = 0,77Y_s + 0,22; \quad (77)$$

д) для сталі NT і NV з напруженням до ініціювання тріщини:

$$Y_\delta = 0,27Y_s + 0,72; \quad (78)$$

е) для чавуну GG і GGG (ferr.) з напруженням до границі злому:

$$Y_\delta = 1,0. \quad (79)$$

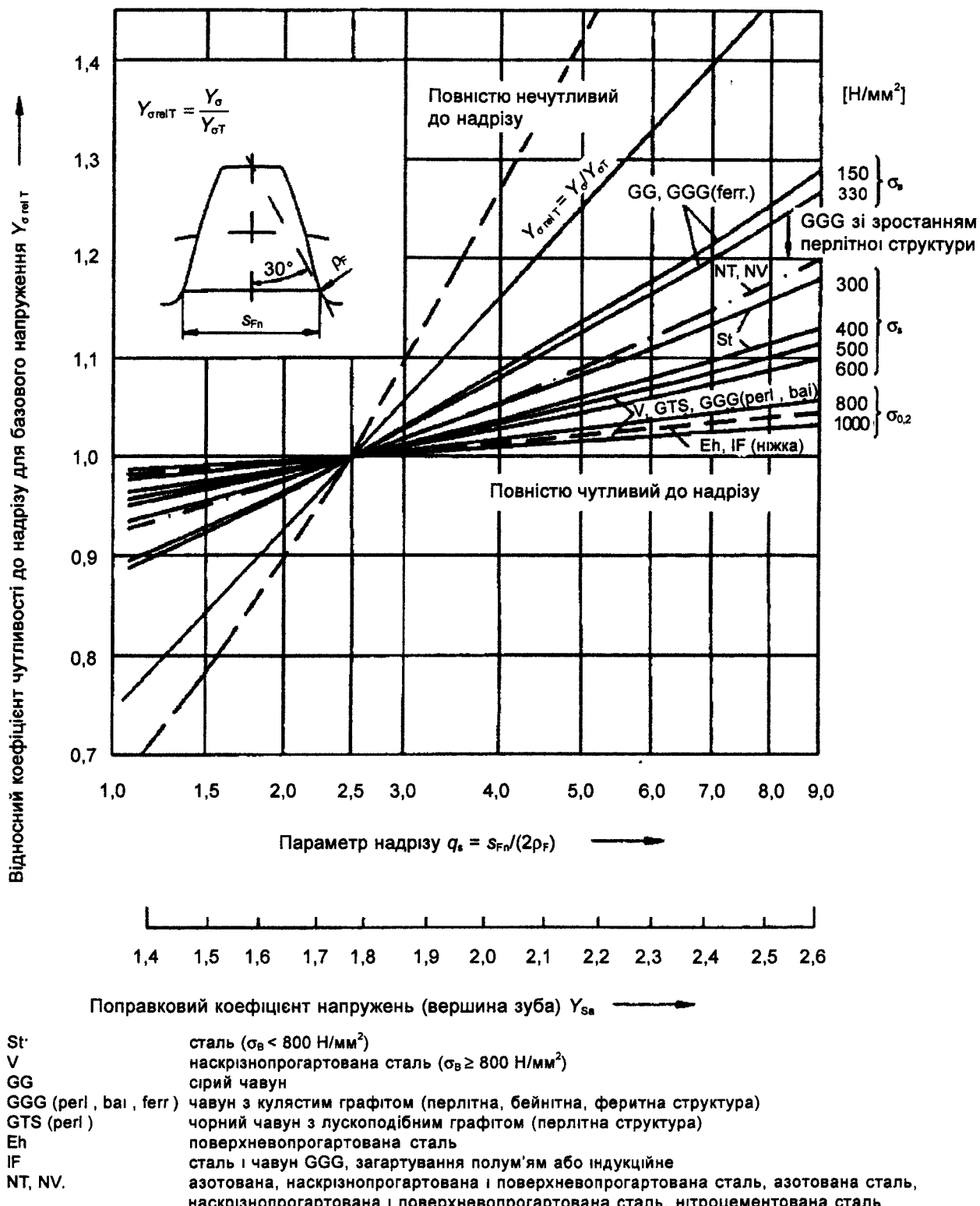
11.7.2.3 Y_δ для обмеженої довговічності

Y_δ для цих умов визначають за правилами, які описано в 11.3.1.3.

⁸⁾ Див. виноски до 11.3.2.2

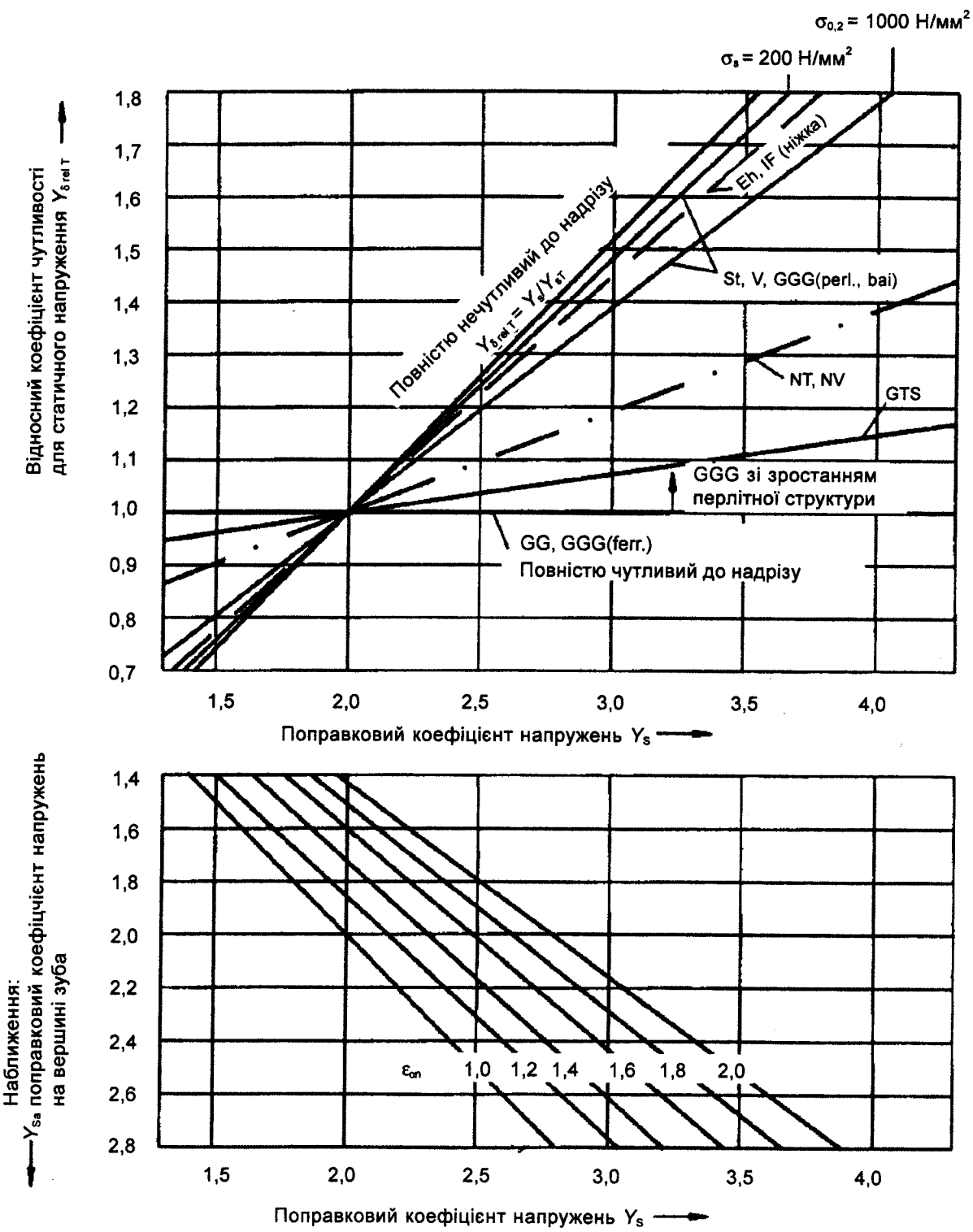
11.8 Коефіцієнт чутливості Y_δ : метод C_p

У цьому методі значення $Y_\delta = 1,0$ прийняте для базового напруження, статичного напруження і обмеженої довговічності. Ця стала гарантує, що базові значення величин порівняно безпечні (див. рисунок 39) і статичне напруження навіть більш безпечне (див. рисунок 40).



Примітка. Базується на вигині плоскої смуги згідно з VDI 2226 *Empfehlung für die Festigkeitsberechnung metallischer Bauteile* VDI-Verlag GmbH, Düsseldorf, 1965

Рисунок 37 — Відносний коефіцієнт чутливості до надрізу $Y_{\delta \text{rel} T}$, для базового напруження (Y_{sa} чинний для $s_{Fn}/h_{Fa} \approx 1,1$)

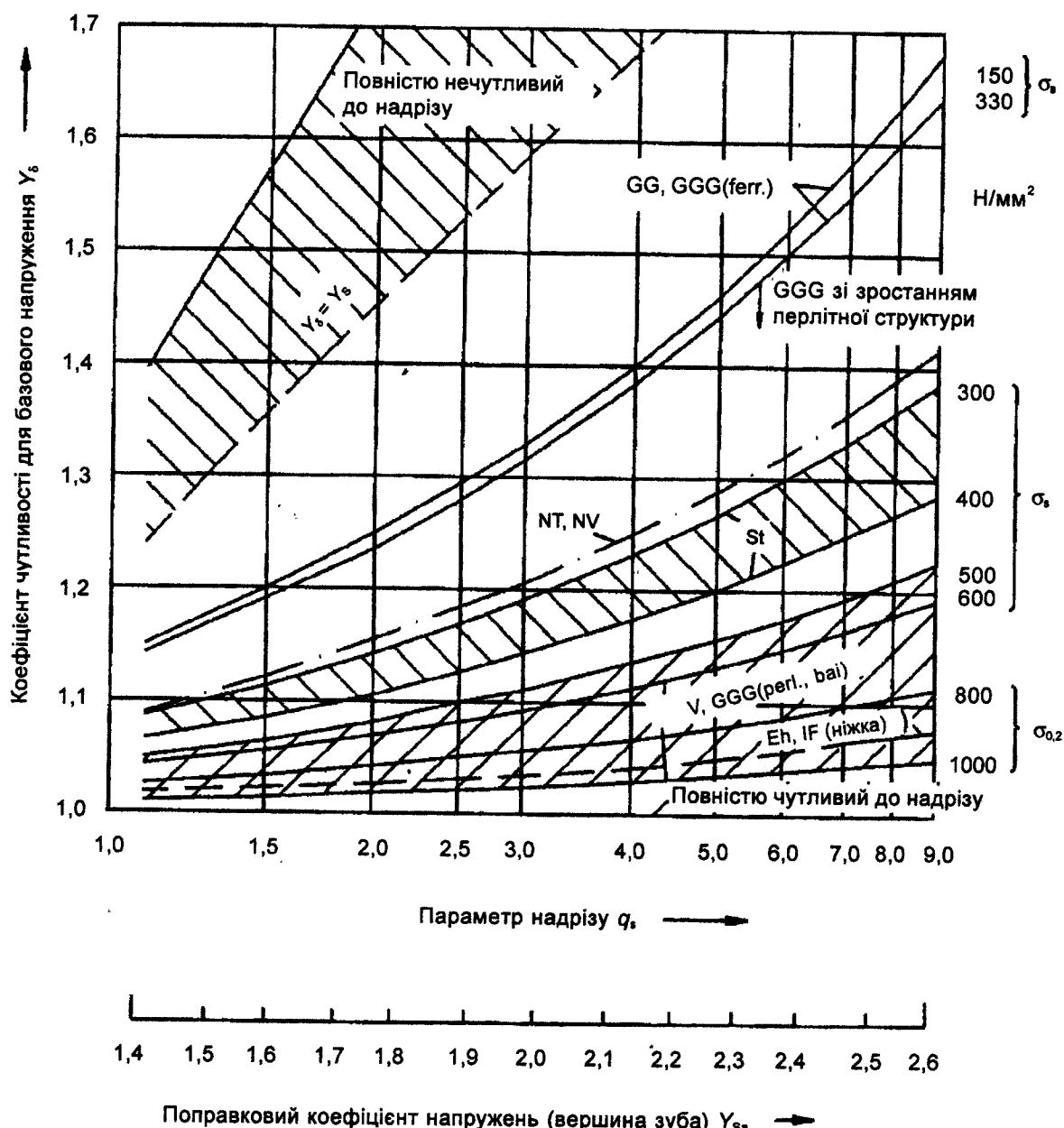


Примітка 1. Нижчий графік базується на $Y_s \approx Y_{sa}(0,6 + 0,4\epsilon_{an})$; дійсний для $s_{Fn}/h_{Fa} = 1,1$.

Примітка 2. Щодо пояснення скорочень для матеріалів див. рисунок 37.

Примітка 3. Базується на вигині плоскої смуги згідно з VDI 2226: *Empfehlung für die Festigkeitsberechnung metallischer Bauteile*. VDI-Verlag GmbH, Düsseldorf, 1965.

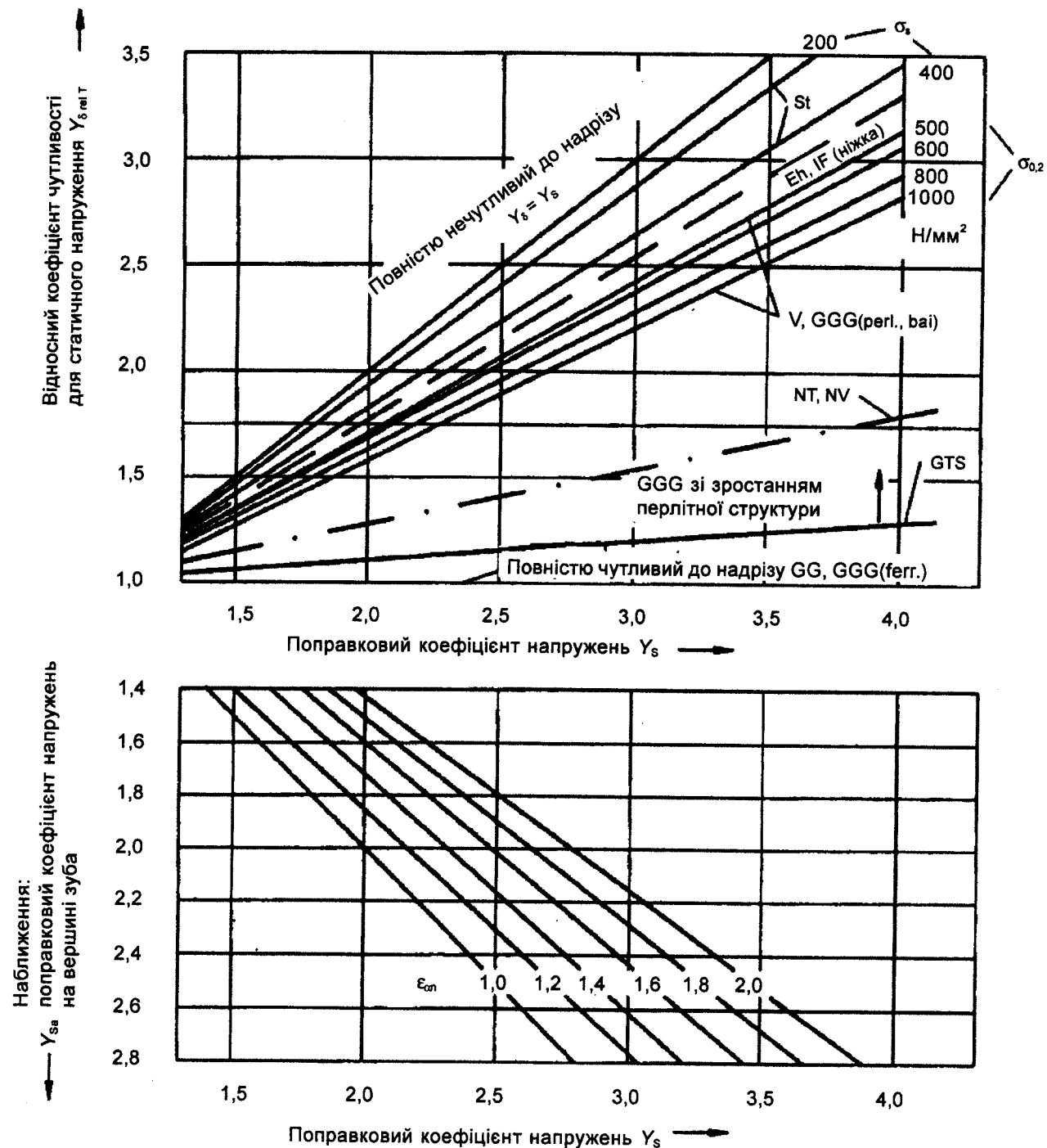
Рисунок 38 — Відносний коефіцієнт чутливості до надрізу $Y_{\delta_{rel T}}$ для статичного напруження



Примітка 1. Щодо пояснення скорочень для матеріалів див. рисунок 37.

Примітка 2. Базується на вигині плоскої смуги згідно з VDI 2226: *Empfehlung für die Festigkeitsberechnung metallischer Bauteile*. VDI-Verlag GmbH, Düsseldorf, 1965.

Рисунок 39 — Коефіцієнт чутливості Y_s для базового напруження (Y_{sa} чинний для $s_{F0}/h_{F0} \approx 1,1$)



Примітка 1. Нижчий графік базується на $Y_s \approx Y_{sa}(0,6 + 0,4\epsilon_{an})$; дійсний для $s_{Fn}/h_{Fa} \approx 1,1$.

Примітка 2. Шодо пояснення скорочень для матеріалів див. рисунок 37.

Примітка 3. Базується на вигині плоскої смуги згідно з VDI 2226: *Empfehlung für die Festigkeitsberechnung metallischer Bauteile*. VDI-Verlag GmbH, Düsseldorf, 1965.

Рисунок 40 — Коефіцієнт чутливості Y_b для статичного напруження

12 КОЕФІЦІЕНТИ ПОВЕРХНІ Y_R , Y_{RT} , Y_{RK} І ВІДНОСНІ КОЕФІЦІЕНТИ ПОВЕРХНІ $Y_{R\text{ rel }T}$ ТА $Y_{R\text{ rel }k}$

12.1 Вплив стану поверхні

Коефіцієнт поверхні Y_R враховує вплив на напруження згинання стану поверхні в ніжках зуба. Це залежить від матеріалу і шорсткості поверхні в перехідних кривих ніжки зуба (див. примітку 5). Y_R для статичного напруження відрізняється від Y_R для динамічних напружень. Це також правильно для Y_{RK} — коефіцієнта поверхні, що відноситься до начорно обробленого зразка для випробування з надрізом, і Y_{RT} — коефіцієнта поверхні стандартного базового випробуваного зубчастого колеса. Ці коефіцієнти порівнюють з коефіцієнтом простого полірованого випробувального зразка. Відносні коефіцієнти поверхні представляють взаємозв'язок коефіцієнта поверхні, що розглядається, з таким самим коефіцієнтом стандартного базового випробуваного зубчастого колеса ($Y_{R\text{ rel }T}$), або начорно обробленого зразка для випробування з надрізом ($Y_{R\text{ rel }k}$).

Примітка 5. Вплив стану поверхні на міцність згинання ніжки зуба залежить не тільки від шорсткості поверхні в перехідних кривих ніжки зуба, але також від розміру і форми (проблема «підрізань в межах піднутрення»). Ця тема на даний період вивчена недостатньо, щоб бути врахованою в цій частині стандарту Метод, що тут застосований, дійсний тільки тоді, коли немає подряпин або подібних дефектів, глибших від $2R_z$ ($2R_z$ — попередньо оцінене значення величин)

Крім структури поверхні відомі інші впливи на міцність згинання зуба, до яких належать залишкове напруження стиснення (дробоструминне нагартування), міжзеренне окислення, хімічні впливи тощо. Коли перехідні криві нагартовані дробоструменем і (або) цілком профільовані, значення величин трохи більше від отриманого з графіка треба підставити для $Y_{R\text{ rel }T}$. Коли є міжзеренне окислення або хімічні впливи, менше значення від указаного на графіку треба підставити для $Y_{R\text{ rel }k}$.

12.2 Визначення коефіцієнтів поверхні й відносних коефіцієнтів поверхні

Коментарі в 4.2 застосовують і для визначення цих коефіцієнтів.

a) Метод А

В методі А границя напруження згинання визначена випробуванням розглядуваного зубчастого колеса або випробуванням найподібніших зубчастих коліс. За цим наближенням відносний коефіцієнт поверхні дорівнює, або приблизно дорівнює 1,0. Для того, щоб визначити коефіцієнт поверхні матеріалу щодо коефіцієнта випробуваного зубчастого колеса, потрібно здійснити точний аналіз.

b) Метод В

Подані значення міцності матеріалу встановлюють згідно з методом В із результатів випробувань стандартних базових зубчастих коліс, у яких $R_{zT} = 10$ мкм. Загалом значення $Y_{R\text{ rel }T}$, відповідне базовому напруження будь-якого розглядуваного зубчастого колеса, мало відрізняється від 1,0 через те, що $R_{zT} = 10$ мкм є загальним середнім значенням. $Y_{R\text{ rel }T}$ для статичного напруження можна також зробити рівним 1,0.

Методу В віддається перевага за потреби точніших розрахунків.

c) Методи С і D

Коли важко встановити шорсткість поверхні і стан матеріалу в ніжці зуба, то $Y_{R\text{ rel }T}$ може дорівнює сталій, якщо порівняльні дослідження показали, що відповідні значення величин для відповідних розмірів (модуль), методу виготовлення і термообробки підтримуються з прийнятною послідовністю.

d) Методи B_k , C_k і D_k

Через те, що за методом B_k значення міцності матеріалу встановлені з випробувань начорно оброблених зразків з надрізом, чим більше значення величин R_{zk} і q_{sk} зразків з піднутренням наближаються до значень величин для розглядуваного зубчастого колеса, тим більше значення $Y_{R\text{ rel }k}$ наближається до 1,0. Отже, у методі С, коли підходить, стало можна підставити для $Y_{R\text{ rel }k}$.

e) Методи B_p , C_p і D_p

У методі B_p значення міцності матеріалу визначені випробуванням простих полірованих зразків. У такому випадку необхідно, щоб був використаний у розрахунках абсолютний коефіцієнт поверхні Y_R . Так як шорсткість у перехідній кривій ніжки утворює «підрізання в межах піднутрення», то вплив Y_R дещо зменшений (див. примітку 5):

$$Y_R = Y_{R0} + (1 - Y_{R0}) \left(\frac{Y_s - 1}{Y_s} \right)^2, \quad (80)$$

де Y_{R0} — коефіцієнт поверхні простого, полірованого випробуваного зразка

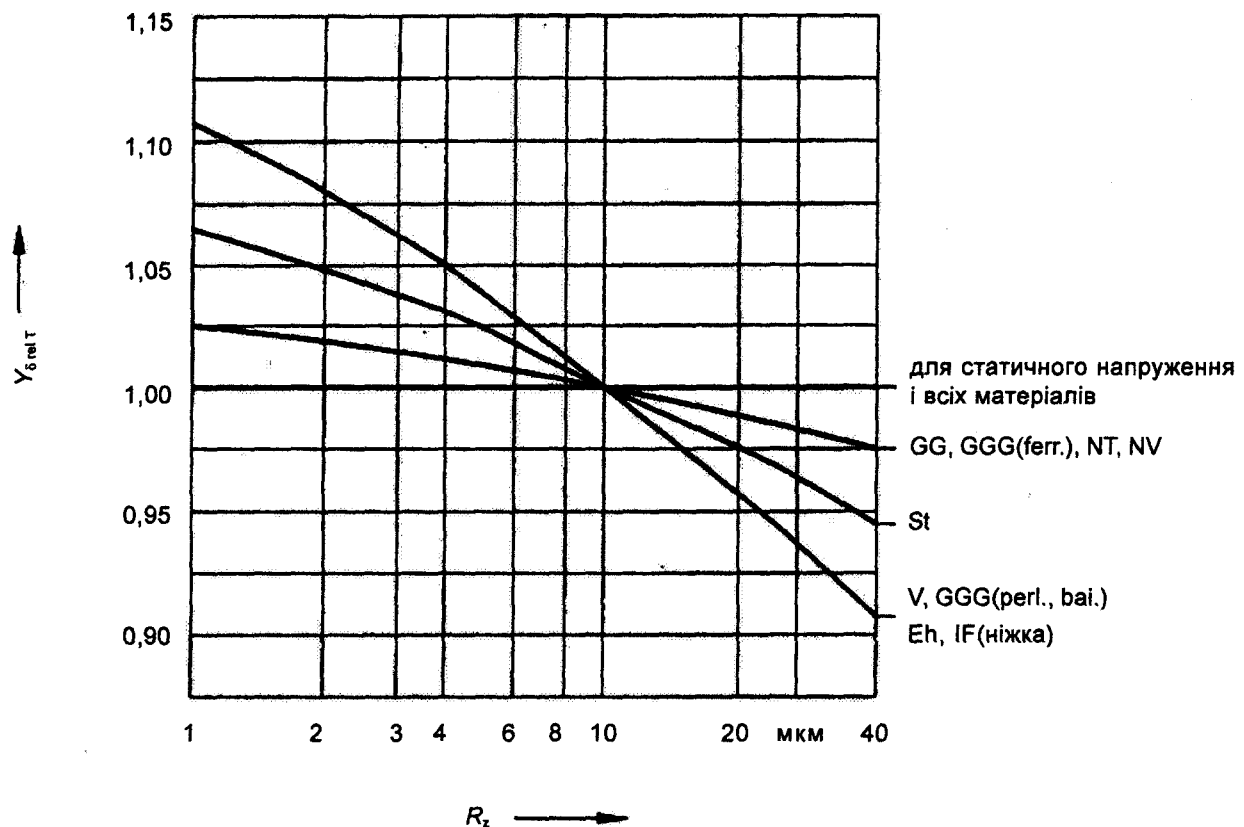
Наближене середнє значення можна отримати, коли Y_S прийнято рівним 2,0. Рисунок 42 утворений, використовуючи це значення. Як видно з рисунка 42, для діапазону середньої шорсткості від вершини до западини, що розглядається, Y_R можна зробити рівним сталій, меншій від одиниці (метод C_p).

12.3 Відносний коефіцієнт поверхні $Y_{R \text{ rel } T}$: метод В

12.3.1 Графічні значення величин

12.3.1.1 $Y_{R \text{ rel } T}$ для базового і статичного напруження

$Y_{R \text{ rel } T}$ можна взяти з рисунка 41 як функцію матеріалу і R_z , шорсткості від вершини до западини в переходних кривих ніжки зуба розглядуваного зубчастого колеса. Цей графік отримано з рисунка 42.



Примітка. Щодо пояснень познак для матеріалів див. рисунок 37.

Рисунок 41 — Відносний коефіцієнт поверхні $Y_{R \text{ rel } T}$ (встановлений із рисунка 42)

12.3.1.2 $Y_{R \text{ rel } T}$ для обмеженої довговічності

$Y_{R \text{ rel } T}$ визначають лінійною інтерполяцією у подвійній логарифмічній шкалі між значеннями для базового напруження і статичного напруження, які оцінені згідно з 12.3.1.1. Ця формула включена у визначення допустимого напруження для обмеженої довговічності 4.2.3 а).

12.3.2 Визначення розрахуванням

12.3.2.1 $Y_{R \text{ rel } T}$ для базового і статичного напруження

$Y_{R \text{ rel } T}$ можна обчислити, використовуючи формулі (81)–(87). Вони узгоджуються з кривими на рисунку 41. Див. рисунок 37 щодо визначень скорочень для матеріалів.

а) Базове напруження в діапазоні $R_z < 1$ мкм:

Для V, GGG (perl., bai.), Eh і IF (ніжка):

$$Y_{R \text{ rel } T} = 1,12. \quad (81)$$

Для St:

$$Y_{R \text{ rel } T} = 1,07. \quad (82)$$

Для GG, GGG (ferr.) і NT, VV:

$$Y_{R \text{ rel } T} = 1,025. \quad (83)$$

b) Базове напруження в діапазоні $1 \text{ мкм} \leq R_z \leq 40 \text{ мкм}$:

Для V, GGG (perl., bai.), Eh і IF (ніжка):

$$Y_{R \text{ rel } T} = 1,674 - 0,529(R_z + 1)^{0,1}. \quad (84)$$

Для St:

$$Y_{R \text{ rel } T} = 5,306 - 4,203(R_z + 1)^{0,01}. \quad (85)$$

Для GG, GGG (ferr.) і NT, NV:

$$Y_{R \text{ rel } T} = 4,299 - 3,529(R_z + 1)^{0,005}. \quad (86)$$

c) Статичне напруження взагалі.

$$Y_{R \text{ rel } T} = 1,0. \quad (87)$$

12.3.2.2 $Y_{R \text{ rel } T}$ для обмеженої довговічності

$Y_{R \text{ rel } T}$ для цього використання визначають за правилами, які описано в 12.3.1.2.

12.4 Відносний коефіцієнт поверхні $Y_{R \text{ rel } T}$: метод С

12.4.1 $Y_{R \text{ rel } T}$ для базового напруження і обмеженої довговічності для усіх матеріалів

a) Діапазон $R_z \leq 16 \text{ мкм}$:

Отримайте $Y_{R \text{ rel } T}$, використовуючи формулу (87).

b) Діапазон $R_z > 16 \text{ мкм}$:

$$Y_{R \text{ rel } T} = 0,9. \quad (88)$$

12.4.2 $Y_{R \text{ rel } T}$ для статичного напруження для усіх матеріалів

Використовуйте формулу (87).

12.5 Відносний коефіцієнт поверхні $Y_{R \text{ rel } T}$: метод D

Для базового напруження, обмеженої довговічності і статичного напруження, для усіх матеріалів: отримайте $Y_{R \text{ rel } T}$, використовуючи формулу (88).

12.6 Відносний коефіцієнт поверхні $Y_{R \text{ rel } k}$: метод B_k

12.6.1 Графічні значення величин

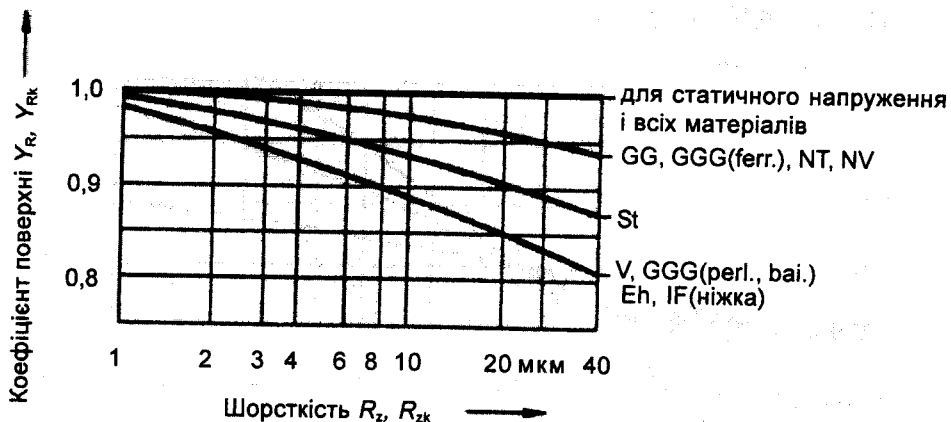
Отримайте Y_R із рисунка 42 для розглядуваного зубчастого колеса і Y_{Rk} для випробуваного зразка з надрізом, як функцію:

a) шорсткості від вершини до западини R_z ніжки зуба зубчастого колеса, або R_{zk} випробуваного зразка ніжки з піднутренням;

b) розглядуваного матеріалу.

Ці значення повинні бути підставлені в формулу (89).

$$Y_{R \text{ rel } k} = \frac{Y_R}{Y_{Rk}}. \quad (89)$$



Примітка. Щодо пояснень скорочень для матеріалів див. рисунок 37.

Рисунок 42 — Коефіцієнти поверхні Y_R і Y_{Rk} (що відносяться до гладенького полірованого випробуваного зразка)

12.6.2 Визначення розрахуванням

Отримайте Y_R , дотримуючись вказівок у 12.8.2, і отримайте Y_{Rk} , використовуючи формулі (90)–(93). Формули узгоджуються з кривими на рисунку 42. Підставте ці величини в формулу (89).

12.6.2.1 $Y_{R \text{ rel } k}$ для статичного напруження (взагалі) і базового напруження в діапазоні $R_{zk} < 1 \text{ мкм}$

$$Y_{Rk} = 1,0. \quad (90)$$

12.6.2.2 $Y_{R \text{ rel } k}$ для базового напруження в діапазоні $1 \text{ мкм} < R_{zk} < 40 \text{ мкм}$

а) Для V, GGG (perl., bai.), Eh і IF (ніжка):

$$Y_{Rk} = 4,924 - 3,90(R_{zk} + 1)^{0,01}. \quad (91)$$

Для St:

$$Y_{Rk} = 4,924 - 3,90(R_{zk} + 1)^{0,01}. \quad (92)$$

Для GG, GGG (ferr.) і NT, NV:

$$Y_{Rk} = 4,161 - 3,155(R_{zk} + 1)^{0,005}. \quad (93)$$

12.6.2.3 $Y_{R \text{ rel } k}$ для обмеженої довговічності

Методику, якої треба дотримуватися, описано в 12.3.1.2.

12.7 Відносний коефіцієнт поверхні $Y_{R \text{ rel } k}$: метод C_k

12.7.1 $Y_{R \text{ rel } k}$ для базового напруження і обмеженої довговічності

а) Діапазон $R_z \leq R_{zk} + 6 \text{ мкм}$:

$$Y_{Rk} = 1,0. \quad (94)$$

б) Діапазон $R_z > R_{zk} + 6 \text{ мкм}$:

$$Y_{Rk} = 0,9. \quad (95)$$

12.7.2 $Y_{R \text{ rel } k}$ для статичного напруження (взагалі)

$$Y_{Rk} = 1,0. \quad (96)$$

12.8 Коефіцієнт поверхні Y_R : метод B_p

12.8.1 Графічні значення величин

Y_R для базового і статичного напруження можна взяти з рисунка 42 як функцію R_z шорсткості від вершини до западини в переходних кривих ніжки зуба розглядуваного зубчастого колеса і матеріалу. Виведення Y_R для обмеженої довговічності проходить за методикою, описаною в 12.3.1.2.

12.8.2 Визначення розраховуванням

Y_R можна обчислити, використовуючи формули (97)–(100). Вони узгоджуються з кривими на рисунку 42.

12.8.2.1 Y_R для статичного напруження (взагалі) і для базового напруження в діапазоні $R_z < 1 \text{ мкм}$

$$Y_R = 1,0. \quad (97)$$

12.8.2.2 Y_R для базового напруження в діапазоні $1 \text{ мкм} \leq R_z \leq 40 \text{ мкм}$

Для V, GGG (perl, bal.), Eh i IF (ніжка):

$$Y_R = 1,490 - 0,471(R_z + 1)^{0,1}. \quad (98)$$

Для St:

$$Y_R = 4,924 - 3,90(R_z + 1)^{0,01}. \quad (99)$$

Для GG, GGG (ferr.) i NT, NV.

$$Y_R = 4,161 - 3,155(R_z + 1)^{0,005}. \quad (100)$$

12.8.2.3 Y_R для обмеженої довговічності

Методику, якої треба дотримуватися, описано в 12.3.1.2.

12.9 Коефіцієнт поверхні Y_R : метод C_p **12.9.1 Y_R для базового напруження і обмеженої довговічності**

$$Y_R = 0,8. \quad (101)$$

Як наслідок використання цієї сталої розраховуються значення величин досить безпечної (див. рисунок 42).

b) Y_R для статичного напруження

$$Y_R = 1,0. \quad (102)$$

13 РОЗМІРНИЙ КОЕФІЦІЄНТ Y_X

Розмірний коефіцієнт Y_X використовується для врахування впливу розміру на можливий розподіл слабких точок у структурі матеріалу; градієнтів напруження, які згідно з теорією міцності матеріалів зменшуються при збільшенні розмірів; якості матеріалу, яка визначається протяжністю й ефективністю кування, наявністю дефектів тощо.

Наступне має значний вплив:

- a) Матеріал, його чистота, хімічний склад, процес кування;
- b) Термообробка, глибина і однородність загартування;
- c) Модуль, у випадку поверхневого прогартування: глибина шару у відношенні до розміру зуба (підтримувальний ефект серцевини).

Розмірний коефіцієнт Y_X повинен визначатися окремо для шестерні й колеса.

13.1 Розмірний коефіцієнт Y_X : метод А

Значення розмірного коефіцієнта Y_X повинне базуватися на надійному досвіді або випробуванні за відповідних умов експлуатації, діапазоні різних розмірів зубчастих коліс для кожного розглядуваного матеріалу, відповідно термообробленого. Положення, наведені в 4.1.8 ISO 6336-1, є доречні.

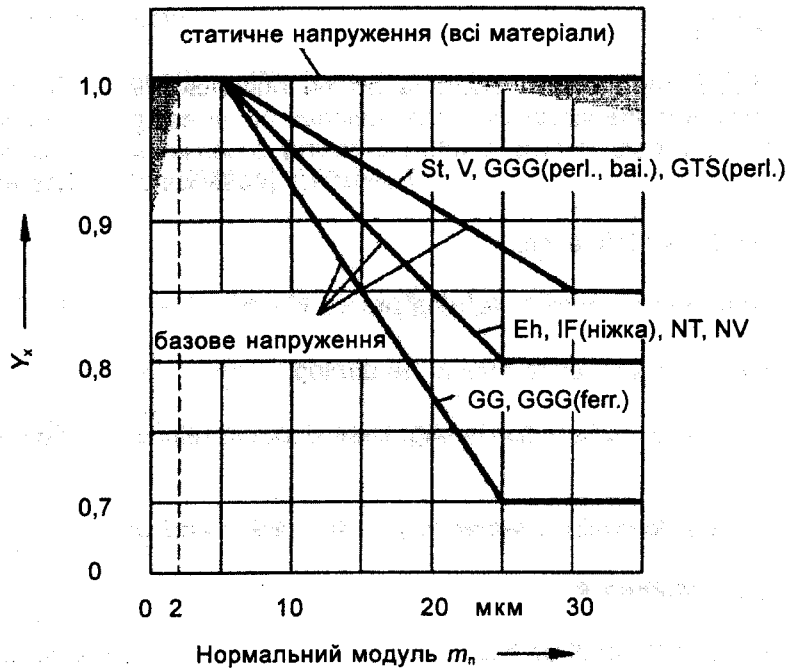
13.2 Розмірний коефіцієнт Y_X : метод В

Наведені значення величин базуються на результатах випробовувань зубчастих коліс і зразків різних розмірів на міцність при згинанні, внаслідок огляду чинних стандартів і практики авторитетних фахівців термообробки

13.2.1 Розмірний коефіцієнт Y_x для базового і статичного напружень

13.2.1.1 Графічні значення величин

Значення Y_x можна взяти з рисунка 43 як функцію модуля, матеріалу і термообробки.



Примітка 1. Щодо пояснень скорочень для матеріалів див. рисунок 37.

Примітка 2. Затінена ділянка є діапазоном розсіяння для статичного напруження.

Рисунок 43 — Розмірний коефіцієнт Y_x для міцності зуба при згинанні

13.2.1.2 Визначення розрахуванням

Y_x можна обчислити, використовуючи формулі в таблиці 3. Формули узгоджуються з кривими, що наведені на рисунку 43.

Таблиця 3 — Розмірний коефіцієнт (згинання)

Матеріал ¹	Нормальний модуль m_n	Розмірний коефіцієнт Y_x
St, V, GGG (perl., bai.), GTS (perl.),	для 3×10^6 циклів	$m_n \leq 5$ $5 < m_n < 30$ $30 \leq m_n$ $Y_x = 1,0$ $Y_x = 1,03 - 0,006 m_n$ $Y_x = 0,85$
Eh, IF (ніжка), NT, NV		$m_n \leq 5$ $5 < m_n < 25$ $25 \leq m_n$ $Y_x = 1,0$ $Y_x = 1,05 - 0,01 m_n$ $Y_x = 0,8$
GG, GGG (ferr.)		$m_n \leq 5$ $5 < m_n < 25$ $25 \leq m_n$ $Y_x = 1,0$ $Y_x = 1,075 - 0,015 m_n$ $Y_x = 0,7$
Всі матеріали для статичного напруження	—	$Y_x = 1,0$

¹ Щодо пояснень скорочень для матеріалів див. рисунок 37

13.2.2 Розмірний коефіцієнт Y_x для обмеженої довговічності

Y_x отримують лінійною інтерполяцією між значеннями для базового напруження і статичного напруження, як визначено згідно з 13.2.1. Ця формула включена у визначення допустимого напруження для обмеженої довговічності, встановленого в 4.2.3 а).

13.3 Розмірний коефіцієнт (згинання) Y_X : метод С

Цей метод виведений із методу В. Значення Y_X для базового напруження, для статичного напруження і для напруження обмеженої довговічності є таке саме, як те, що визначене для базового напруження згідно з 13.2.1. Як наслідок цього наближення, розраховані значення величин, відповідні обмеженій довговічності і статичному напруженю, є порівняно безпечно.

ДОДАТОК А (довідковий)

БІБЛІОГРАФІЯ

1 ISO 54:1977 Cylindrical gears for general engineering and for heavy engineering — Modules and diametral pitches

2 ISO 1122-1:1983 Glossary of gear terms — Part 1: Geometrical definitions

3 ISO 6336-2:1996 Calculation of load capacity of cylindrical gears — Part 2: Calculation of surface durability (pitting)

4 DIN 3990: Tragfähigkeitsberechnung von Stirnrädern. Beuth Verlag GmbH, Berlin, Dezember 1987

5 ANSI/AGMA 2001-B88: Fundamental rating factors and calculation methods for involute spur and helical gears. May 1988

6 TGL 10545: Tragfähigkeitsberechnung von außenverzahnten Stirnrädern. November 1988

7 Niemann, G.; Winter, H.: Maschinenelemente, Band 2, Getriebe. Springer, Berlin 1983

8 Hirt M.: Einfluß der Zahnußausrundung auf Spannung und Festigkeit von Geradstirnräden. Doctorate dissertation, Technische Universität München, 1974

9 Broßmann U.: Über den Einfluß der Zahnußausrundung und des Schrägungswinkels auf Beanspruchung und Festigkeit schrägverzahnter Stirnräder. Doctorate dissertation, Technische Universität München, 1979

10 Straßer, M.: Einflüsse von Verzahnungsgeometrie, Werkstoff und Wärmebehandlung auf die Zahnußtragfähigkeit. Doctorate dissertation, Technische Universität München, 1984.

УКНД 21.200

Ключові слова: зубчасті передачі, циліндричні передачі, прямозубі передачі, косозубі передачі, навантажувальна здатність, зубці (механіка), міцність на згинання, правила розрахунку.

Редактор Е. Козир

Технічний редактор О. Марченко

Коректор Т. Макарчук

Верстальник В. Перекрест

Підписано до друку 12.03.2007. Формат 60×84 1/8.

Ум. друк. арк. 7,90. Зам. 799

Ціна договірна.

Відділ редактування нормативних документів ДП «УкрНДНЦ»
03115, Київ, вул. Святошинська, 2